

TUGAS AKHIR - TM 184835

RANCANG BANGUN DIES SET PEMBENTUKAN NECKING SELONGSONG PELURU KALLIBER 20MM

Hanggara Nandiwardhana NRP: 02111340000180

Dosen Pembimbing Prof. Dr. Ing. I Made Londen Batan, M. Eng

Departemen Teknik Mesin Fakultas Teknologi Industri Institutu Teknologi Sepuluh Nopember Surabaya



TUGAS AKHIR - TM 184835

RANCANG BANGUN DIES SET PEMBENTUKAN NECKING SELONGSONG PELURU KALLIBER 20MM

Hanggara Nandiwardhana NRP: 02111340000180

Dosen Pembimbing Prof. Dr. Ing. I Made Londen Batan, M. Eng

Departemen Teknik Mesin Fakultas Teknologi Industri Institutu Teknologi Sepuluh Nopember Surabaya



FINAL PROJECT - TM184835 DESIGNING AND MANUFACTURING OF NECKING DIES SET FOR BULLET CASE CALIBER 20MM

Hanggara Nandiwardhana NRP. 02111340000180

Supervisor Prof. Dr. Ing. I Made Londen Batan, M.Eng.

PRODUCT DESIGN AND DEVELOPMENT LABORATORY Department of Mechanical Engineering Faculty Of Industrial Tecknology Institut Teknologi Sepuluh Nopember Surabaya 2020

HALAMAN PENGESAHAN

RANCANG BANGUN DIES SET PEMBENTUKAN NECKING SELONGSONG PELURU KALIBER 20MM

TUGAS AKHIR

Diajukan Untuk Memenuhi Salah Satu Syarat Memperoleh Gelar Sarjana Teknik Program Studi S-1 Departemen Teknik Mesin Fakultas Teknologi Industri Institut Teknologi Sepuluh Nopember

Oleh:

Hanggara Nandiwardhana

NRP. 02111340000180

AGUSTUS, 2020

ABSTRAK RANCANG BANGUN DIES SET PEMBENTUKAN NECKING SELONGSONG PELURU KALIBER 20MM

Nama Mahasiswa : Hanggara Nandiwardhana

NRP : 02111340000180

Departemen : Teknik Mesin FTI – ITS

Pembimbing : Prof. Dr. Ing. I Made Londen Batan, M.Eng.

ABSTRAK

Senjata api menembakan atau meluncurkan sebuah proyektil padat berupa peluru. Peluru memiliki beberapa bagian antara lain selongsong (case) yang berfungsi sebagai tempat menyatukan proyektil padat (bullet), alat pemacar percikan api (primer), dan mesiu (powder). Proses pembuatan selongsong peluru diawali dengan pemotongan pelat melalui proses blanking atau piercing. Kemudian dilanjutkan dengan proses deep drawing yaitu proses membentuk lembaran pelat yang telah dipotong dan menjadi cup. Setelah terbentuk cup dilakukan proses ironing untuk membentuk cup menjadi selongsong dengan ketebalan serta ketinggian yang diinginkan. Selanjutnya dilakukan pembentukan necking pada selongsong peluru.

Untuk membuat *necking* terdapat dua tahapan yang bisa dilakukan yaitu menggunakan *metal spinning* ataupun dengan mesin *press tool*. Dalam penelitian kali ini metode yang digunakan adalah menggunakan mesin *press tool*. Adapun proses pembuatan *dies set necking* selongsong peluru kaliber 20mm dengan beberapa tahapan. Hasil pengukuran didapatkan selongsong dari proses *ironing* tahap 4 oleh Bhaskara 2018 dengan diameter luar sebesar 33,88 mm, diameter dalam 31,24 mm, dan tinggi selongsong sebesar 115,61 mm. Tahapan selanjutnya adalah perancangan *dies* dimana rancangan ini di disain untuk mesin Press tool yang ada di jurusan Teknik Mesin ITS, dari hasil perhitungan dimensi *dies*

necking yang telah dilakukan dari ukuran dan dimensi mulai dalam merancang bentuk yang sesuai.

Merancang komponen *dies set* untuk pembentukan *necking* selongsong peluru kaliber 20mm dimana penentuan dimensi *dies necking* dalam perhitungan manual didapatkan nilai ketinggian bukaan *dies* H = 17,17 mm, tebal *dies* e = 14,236 mm, dan diameter bukaan *dies* Ø = 22,73 mm. Dilakukan pengujian *dies set* dalam pembentukan *necking* dengan menggunakan mesin *press tool* dilakukan 10X, dimana menggunakan selongsong berbahan *stainless steel* didapatkan hasil sebagai berikut diameter luar selongsong pada *necking mean* μ = 24,9416mm, dan diameter dalam selongsong pada *necking mean* μ = 22,2816mm. Dapat disimpulkan *dies necking* berhasil melakukan pembentukan *necking* menggunakan mesin *press tool*.

Kata Kunci: Necking, Ironing, Press Tool, Dies Set, Bullet.

ABSTRACT

DESIGNING AND MANUFACTURING OF NECKING DIES SET FOR BULLET CASE CALIBER 20MM

Name : Hanggara Nandiwardhana

NRP : 02111340000180

Department : Mechanical Engineering FTI – ITS

Supervisor : Prof. Dr. Ing. I Made Londen Batan, M.Eng.

ABSTRACT

The firearm fires or launches a solid projectile bullet. Bullets have several parts, including a case that serves as a place to unite a solid projectile (bullet), a spark (primary), and gunpowder (powder). The manufacturing process begins with cutting the plate through a blanking or piercing process. Then with the deep drawing process, namely the process of forming plate sheets that have been cut and become cups. After the cup is formed, the ironing process is carried out to form the cup into a sleeve with the desired thickness and height. Furthermore, the necking order was made on the cartridge casings.

To make necking, two steps can be done using metal spinning or using a press tool. In this research, the method used is to use a press tool machine. The process of making 20mm caliber cartridge necking dies set with several stages. The measurement results obtained from the ironing process stage 4 by Bhaskara 2018 with an outer diameter of 33.88 mm, an inner diameter of 31.24 mm, and a sleeve height of 115.61 mm. The next stage is the design of dies where this design is designed for the Press tool machine in the Department of Mechanical Engineering ITS, from the calculation of the dimensions of the dies necking that has been carried out from the size and dimensions starting in the appropriate forum.

Designing dies components for making necking of 20mm caliber bullet cartridges where the dimensions of dies necking in

manual calculations get the value of the die opening height H=17.17 mm, dies thickness e=14,236 mm, and dies opening diameter $\emptyset=22.73$ mm. Dies set testers were carried out to order necking using a press tool machine carried out 10X, where using a stainless steel sleeve the following results were obtained, the outer diameter of the sleeve at the necking mean $\mu=24.9416$ mm, and the inner diameter of the sleeve on the necking mean $\mu=22.2816$ mm. It can be abbreviated as dies necking, successfully placing an order using the press tool machine.

Key Word: Necking, Ironing, Press Tool, Dies Set, Bullet.

KATA PENGANTAR

Assalamualaikum,

Segala Puji dan Syukur kehadirat Allah SWT atas segala rahmat serta hidayah-Nya sehingga penulis dapat menyelesaikan Tugas Akhir yang berjudul "Rancang Bangun *Dies Set* Pembentukan *Necking* Selongsong Peluru Kaliber 20MM".

Tugas Akhir ini dapat terselesaikan dengan baik dan tepat waktu tidak terlepas dari dukungan, doa serta semangat yang selalu diberikan oleh berbagai pihak kepada penulis. Oleh karena itu penulis mengucapkan terima kasih yang tak terhingga kepada:

- Prof. Dr. Ing. Ir. I Made Londen Batan, M.Eng. sebagai dosen mata kuliah saya yang telah memberikan ilmunya dengan sabar untuk membimbing dan memberi motivasi, kritik, dan saran kepada penulis demi kesempurnaan dalam menyelesaikan Tugas Mata Kuliah ini.
- 2. Doa Kedua Orangtua, serta *support* yang diberikan kepada saya untuk tetap tabah menjalanin proses perkulihan ini hingga sampai titik pada saat ini.
- 3. Sahabat dan keluarga Laboratorium Perancangan dan Pengembangan Produk yang selalu berinovasi dan membantu saya ketika ada masalah dalam mata kuliah ini.

Penulis menyadari bahwa masih terdapat banyak kekurangan dalam penyusunan Tugas Akhir ini, Oleh karena itu penulis mengharapkan saran dan kritik yang membangun. Semoga Proposal Tugas Akhir ini dapat bermanfaat untuk semua pihak yang membacanya.

Wassalamu'alaikum Wr. Wb.

Surabaya, Agustus 2020.

Penulis

DAFTAR ISI

HALAN	MAN PENGESAHAN	iii
ABSTR	AK	I
ABSTRACTII		
KATA I	PENGANTAR	V
DAFTA	R ISI	VI
DAFTA	R GAMBAR	XI
DAFTA	R TABEL	.XVI
BAB 1.		1
PE	NDAHULUAN	1
1.1	Latar Belakang	1
1.2	Persamaanan Masalah	3
1.3	Tujuan	3
1.4	Batasan Masalah	3
1.5	Manfaat Penelitian	4
BAB 2.		5
	ASAR TEORI	
2.1	Necking	5
2.1	.1 Pembentukan Necking Secara Umum	6
2.2	Metal Spinning Dan Dies Pada Mesin Press Tool	6
2.3	Cold Dan Hot Working	8

2	.4	Pene	elitian Terdahulu	9
2	.5	Gay	a Pembentukan Necking	.10
	2.5	.1	Ironing	.11
	2.5	.2	Gaya Pembentukan Necking	.11
2	.6	Dies	5	.14
	2.6	.1	Diameter Lubang Dies	.16
	2.6	.2	Ketebalan Dies	.16
2	.7	Spes	sifikasi Bahan <i>CuZn30</i>	.17
2	.8	Pros	ses Pemesinan	.18
	2.8	.1	Proses Bubut	.19
	2.8	.2	Proses Gurdi	.20
	2.8	.3	Proses Threading	.21
	2.8	.4	Proses Milling	.22
2	.9	Safe	ty Factor / Faktor Keamanan	.27
BA	В 3			.29
	ME	TOD	OLOGI PENELITIAN	.29
3	.1	Diag	gram Flow Chart	.29
3	.2	Lang	gkah – Langkah Penelitian	.30
	3.2	.1	Studi Literatur dan Studi Lapangan	.30

3	3.2.2	Pengukuran Selongsong Hasil Ironing d	an Press
-	Tool.	30	
3	3.2.3	Perancangan Dies Necking	32
BAB -	4		33
]	PERAN	CANGAN DIES SET NECKING	33
4.1	Pera	ncangan Dies Set Necking	33
4.2	Dia	meter Dies Necking	34
4.3	Ting	ggi Dies Necking	34
4.4	Teb	al Dies Necking	35
4.5	Dim	nensi Dan Material Komponen Utama	Maupun
Ko	mponen	Penunjang	36
2	4.5.1	Dimensi dan Material Punch	36
4	4.5.2	Dimensi dan Material Dies Necking	36
4	4.5.3	Dimensi dan Material Dies Holder	37
2	4.5.4	Dimensi dan Material Dies Stop	38
2	4.5.5	Dimensi dan Material Dies Pilot	39
4.6	Ana	lisa Kekuatan Material	39
4	4.6.1	Perhitungan Manual	39
BAB	5		55
1	PEMBU	ATAN DIES NECKING	55

5.1 T	ahapan Pembuatan Komponen Utama <i>Dies Necking</i>
Selongso	ong Peluru Kaliber 20mm55
5.1.1	Dies Necking56
5.1.2	Dies Pilot75
5.1.3	Dies Stop87
5.2 T	ahapan Pembuatan Komponen Penunjang Dies
Necking	Selongsong Peluru Kaliber 20mm103
5.2.1	Punch104
5.2.2	Dies Holder110
5.3 U	iji Coba Fungsi <i>Dies Set Necking</i> Untuk Pembentukan
Necking.	119
5.3.1	Persiapan Alat Dan Bahan120
5.3.2	Langkah – Langkah Uji Coba Dies set necking.120
5.3.3	Hasil Uji Coba Pembentukan Necking121
BAB 6	125
KESI	MPULAN DAN SARAN125
6.1 K	ESIMPULAN125
6.2 S	ARAN126
DAFTAR I	PUSTAKA127
LAM	PIRAN A129
7.1 M	Mesin Press Tool Teknik Mesin129

7.2	Parameter Pemesina	n133
BIOGRA	AFI PENULIS	137

DAFTAR GAMBAR

Gambar 1.1 Proses pembuatan selongsong peluru [1] 3
Gambar 2.1 Bagian – Bagian dari selongsong peluru [2] 5
Gambar 2.2 Bagian dari Peluru Laras Panjang [2] 5
Gambar 2.3 Pembentukan Necking dengan Hot Working Proses . 6
Gambar 2.4 Proses Metal Spinning [3]
Gambar 2.5 (a) die set lengkap dan (b) die set atas dan bawah
progressive die [4]8
Gambar 2.6 Proses Ironing[5]11
Gambar 2.7 Kondisi Tegangan Dan Gaya Pada Tube Forward
Extrusion[6]12
Gambar 2.8 Derivation Of Shearing Work Wsh In Tube Forward
Extrusion[6]12
Gambar 2.9 Gaya yang Bekerja Pada Selongsong [6]13
Gambar 2.10 Dimensi dies
Gambar 2.11 Diagram Flow Stress Material CuZn30 [7]18
Gambar 2.12 Ilustrasi Proses Bubut [9]19
Gambar 2.13 Berbagai Macam Proses Gurdi [9]21
Gambar 2.14 Persamaan ulir luar dan ulir dalam22
Gambar 2.15 Hasil dari proses milling (Singh, 2006)22
Gambar 2.16 Proses <i>up-milling</i> (Singh, 2006)23
Gambar 2.17 Proses down-milling (Singh, 2006)23

Gambar 2.18 Dua jenis utama pada proses milling: (a) Pe	riferal
milling, (b) Face milling (Groover, 2010)	24
Gambar 2.19 Periferal milling: (a) Slab milling, (b) Slot milli	ng, (c)
Side milling, (d) Straddle milling, (e) Form milling (Groover,	2010)
	25
Gambar 2.20 Face milling: (a) Face milling konvensional, (b) Face
milling parsial, (c) End milling, (d) Profil milling, (e)	Pocket
milling, (f) Surface contouring (Groover, 2010)	26
Gambar 3.1 Diagram Alir Tugas Akhir Dies set necking	29
Gambar 3.2 (a) Cup bahan proses <i>ironing</i> (b) Ilustrasi hasil i.	roning
tahap I (c) Ilustrasi hasil <i>ironing</i> Tahap 2 (d) Ilustrasi hasil <i>I</i>	roning
tahap 3 (e) Ilustrasi hasil <i>Ironing</i> tahap 4	31
Gambar 3.3 Dimensi Hasil Pengukuran Proses Ironing Ta	ahap 4
menjadi <i>necking</i> dengan L = 110 mm	31
Gambar 3.4 Rancangan dienecking untuk mesin press tool	32
Gambar 4.1 Rancangan Dies Necking	33
Gambar 4.2 Diameter Dies Necking 22,73 ≈ 23 mm	34
Gambar 4.3 Tinggi Dies Necking	35
Gambar 4.4 Tebal Dies Necking 14,236mm	35
Gambar 4.5 Dimensi Punch	36
Gambar 4.6 Dimensi Dies Necking	37
Gambar 4.7 Dimensi Dies Holder	38
Gambar 4.8 Dimensi Dies Stop	38
Gambar 4.9 Dimensi Dies Pilot	39

Gambar 4.10 Free Body Diagram Proses Necking40
Gambar 4.11 Free Body Diagram Fid41
Gambar 4.12 Dimensi Cup Hasil Proses Ironing Tahap 441
Gambar 4.13 Dimensi Hasil Proses Necking41
Gambar 4.14 Free Body Diagram F _{Fr,S}
Gambar 4.16 ukuran Mesh 0,03mm45
Gambar 4.15 Ukuran Mesh 0,02mm45
Gambar 4.18 Ukuran Mesh 0,07mm46
Gambar 4.17 Ukuran Mesh 0,06mm46
Gambar 4.19 Ukuran Mesh 0,13mm46
Gambar 4.20 Free Body Diagram F _{FR,M}
Gambar 4.21 Analisa Tegangan Pada Dies Pilot Menggunakan
Metode Von Mises49
Gambar 4.22 Analisa Tegangan Pada Dies Stop Menggunakan
Metode Von Mises50
Gambar 4.23 Free Body Diagram Buckling Antara Selongsong
Dengan Punch51
Gambar 4.24 Analisa Tegangan pada punch plate menggunakan
metode Von Mises52
Gambar 4.25 Hasil Simulasi Analisa Kekuatan Material Dies
Holder53
Gambar 5.1 Komponen Utama Pembentukan Necking Selongsong
Peluru Kaliber 20mm55

Gambar 5.2 Skematik Proses Milling vertikal dan	milling
horizontal	67
Gambar 5.3 skematik pemakanan pahat	68
Gambar 5.4 Penggunaan Perbandingan Phytagoras	Untuk
Mengukur Sudut Dies Necking	71
Gambar 5.5 Dimensi Yang Diukur	73
Gambar 5.6 Pengukuran Dies necking dengan menggi	unakan
jangka sorong dengan kecermatan 0,02mm	75
Gambar 5.7 Skematik Proses Milling vertikal dan	milling
horizontal	82
Gambar 5.8 Dimensi Dies Pilot Yang Diukur	85
Gambar 5.9 Pengukuran <i>Dies Pilot</i> Dengan Menggunakan	Jangka
Sorong Dengan Kecermatan 0,02mm	86
Gambar 5.10 Skematik Proses Milling vertikal dan	milling
horizontal	97
Gambar 5.11 Dimensi Dies Stop Yang Diukur	101
Gambar 5.12 Pengukuran <i>Dies Stop</i> Dengan Menggunakan	Jangka
Sorong Dengan Kecermatan 0,02mm	103
Gambar 5.13 Komponen Penunjang Pembentukan A	lecking
Selongsong Peluru Kaliber 20mm	103
Gambar 5.14 Skematik Proses Milling vertikal dan	milling
horizontal	105
Gambar 5.15 Dimensi Punch Plate Yang Di Ukur	108

Gambar 5.16 Pengukuran Punch Plate Dengan Menggunakan
Jangka Sorong Dengan Kecermatan 0,02mm110
Gambar 5.17 Skematik Proses Milling vertikal dan milling
horizontal112
Gambar 5.18 Dimensi Dies Holder Yang Di Ukur118
Gambar 5.19 Pengukuran Dies Holder Dengan Menggunakan
Jangka Sorong Dengan Kecermatan 0,02mm119
Gambar 5.20 Mesin Press Pengujian Necking dengan Tonase
Maksimum 50 Ton
Gambar 5.21 Pengujian ke 6 proses Necking121
Gambar 5.22 Pengujian proses necking dengan menggunakan dies
set necking dan mesin press tool124
Gambar 7.1 Press Tool Teknik Mesin ITS129
Gambar 7.2 Dimensi Ukuran Bed pada mesin press tool yang ada
di teknik mesin ITS130

DAFTAR TABEL

Tabel 2.1 Parameter temperatur Rekristalisasi8
Tabel 2.2 Temperatur Pembentukan CuZn309
Tabel 2.3 Konstanta c Untuk UTS Material17
Tabel 2.4 Kekuatan Materian CuZn3017
Tabel 2.5 Tabel Rekomendasi Parameter Potong Turning[10]20
Tabel 2.6 Tabel Rekomendasi Parameter Potong Gurdi [10]21
Tabel 2.7 Safety Factor / Faktor Keamanan (Deutschman, 1975)
28
Tabel 4.1 Validasi nilai Tegangan dari CuZn3044
Tabel 4.2 AISI 304 Stainless Steel
Tabel 4.3 Konvergensi Meshing Ukuran(mm) dan Tegangan(MPa)
46
Tabel 5.1 Rancangan Proses Pemesinan Dies Necking56
Tabel 5.2 Parameter Pemotongan yang Digunakan Pada Proses
Pemesinan Dies Necking69
Tabel 5.3 Parameter Pemotongan yang Digunakan Pada Proses
Pemesinan Dies Necking Proses Threading Luar70
Tabel 5.4 Parameter Pemotongan yang Digunakan Pada Proses
Pemesinan Dies Necking Proses Threading Dalam71
Tabel 5.5 Pengukuran sudut <i>Dies Necking</i> 72
Tabel 5.6 Hasil Pengukuran Dimensi <i>Dies Necking</i> 73
Tabel 5.7 Rancangan Proses Pemesinan Dies Pilot75

Tabel 5.8 Parameterpemotongan Yang Digunakan Pada Proses
Pemesinan Dies Pilot84
Tabel 5.9 Parameter Pemotongan Proses Threading yang
Digunakan Pada Proses Pemesinan Dies Pilot84
Tabel 5.10 Hasil Pengukuran Dimensi <i>Dies Pilot</i> 85
Tabel 5.11 Rancangan Proses Pemesinan Dies Stop87
Tabel 5.12 Parameter Pemotongan yang Digunakan Pada Proses
Pemesinan Dies Stop
Tabel 5.13 Parameter Pemotongan Proses Threading yang
Digunakan Pada Proses Pemesinan Dies Stop threading luar100
Tabel 5.14 Parameter Pemotongan Proses Threading yang
Digunakan Pada Proses Pemesinan Dies Stop threading dalam100
Tabel 5.15 Hasil Pengukuran Dimensi <i>Dies Stop</i> 102
Tabel 5.16 Rancangan Proses Pemesinan Punch
Tabel 5.17 Parameter Pemotongan yang Digunakan Pada Proses
Pemesinan Punch Plate
Tabel 5.18 Hasil Pengukuran Dimensi <i>Punch Plate</i> 109
Tabel 5.19 Rancangan Proses Pemesinan Dies Holder110
Tabel 5.20 Parameter Pemotongan yang Digunakan Pada Proses
Pemesinan Dies Holder
Tabel 5.21 Parameter Pemotongan yang Digunakan Pada Proses
Threading pada Pemesinan <i>Dies Holder</i> 117
Tabel 5.22 Hasil Pengukuran Dimensi <i>Dies Holder</i> 118
Tabel 5.23 Percobaan necking diameter luar

XVIII

Tabel 5.24 Percobaan Necking Diameter Dalam123
Tabel 7.1 Spesifikasi Dimensi Mesin Press Tool Teknik Mesin
ITS130
Tabel 7.2 Appendix Static dan Kinetic Friction Coefficient131
Tabel 7.3 Mechanical Properties Alumunium 6061 and Stainless
Steel 304132
Tabel 7.4 Menunjukkan rekomendasi parameter pemotongan yang
digunakan
Tabel 7.5 Menunjukkan rekomendasi parameter pemotongan yang
digunakan134
Tabel 7.6 Cutting Speed untuk Proses Frais
Tabel 7.7 Feed Untuk Proses Frais
Tabel 7.8 Parameter proses milling dengan diameter tool 20mm
Tabel 7.9 Parameter Proses threading dengan pitch 2mm136

BAB 1 PENDAHULUAN

1.1 Latar Belakang

Dengan menjadinya salah satu negara yang berkembang tentu Indonesia harus mempertahankan wilayah kedaulatannya terhadap negara lain. Sektor industri indonesia tentu membawa peran aktif dalam mewujudkannya, antara lain dengan memperkuat sektor persenjataan. Salah satu perusahan senjata milik negara yang tergabung pada Badan Usaha Milik Negara (BUMN) adalah PT Pindad (Persero). Senjata api merupakan hal penting untuk mempertahankan kedaulatan Indonesia dimana penggunaan terbesar adalah Polisi Republik Indonesia (POLRI) dan Tentara Republik Indonesia (TNI). Senjata api ini menembakan atau meluncurkan sebuah proyektil padat berupa peluru. Peluru sendiri memiliki beberapa bagian antara lain selongsong (case) yang berfungsi sebagai tempat menyatukan proyektil padat (bullet), alat pemacar percikan api (primer), dan mesiu (powder).

Tentu peran terbesar dalam terbentuknya peluru adalah selongsong peluru itu sendiri, dimana pembuatan selonsong peluru menggunakan material kuningan (CuZn). Proses pembuatan selongsong peluru diawali dengan pemotongan pelat melalui proses *blanking* atau *piercing*. Kemudian dilanjutkan dengan proses *deep drawing* yaitu proses membentuk lembaran pelat yang telah dipotong dan menjadi *cup*. Setelah terbentuk *cup* dilakukan proses *ironing* untuk membentuk *cup* menjadi selongsong dengan ketebalan serta ketinggian yang diinginkan.

Selanjutnya dilakukan pembentukan *necking* pada selongsong peluru yang merupakan penelitian lanjutan dari penelitian — penelitian terdahulu yang dimana merupakan serangkaian pembuataan selongsong peluru. Laboratorium Perancangan dan Pengembangan Produk (P3) Jurusan Teknik Mesin ITS menjadikan peran aktif dalam mengembangkan proses lanjutan dalam pembentukan selongsong peluru. Pada tahun 2015 Gandhi Widi Artha telah berhasil membuat *dies* atau cetakan dalam

4 tahapan untuk proses ironing dari 1 buah tandem dies-set untuk proses reduksi cup bertahap dimana proses ini merupakan tahap ketiga dalam urutan pembutan selongsong peluru. Tahapan awal dalam pembuatan selongsong peluru diawali pada tahun 2016 Fahmi membuat *blank feeder* atau pengumpan *blank* merupakan tahapan pemotongan material menjadi lempengan nantinya akan dilanjutkan dengan proses deep drawing dan menjadi cup. Pada tahun yang sama 2016 Idiar telah membuat membuat die atau cetakan deep drawingsilindris untuk selongsong peluru dan telah diaplikasikan menggunakan plat kuningan CuZn30 sisi lain Afrizal membuat pelontar *cup* pasca proses *deep drawing*. Pada tahun 2017 Dian Aprilia Dwiyanti merancang mekanisme cup holder pada proses deep drawing. Pada tahun 2018 I Gusti Agung Ngurah Wiana Baskara merancang diesironing yang sesuai dengan alat press tool di teknik mesin ITS dengan 4 tahapan ironing. Selanjutnya akan dirancang sebuah proses lanjutan dari tahap – tahap ironing yaitu proses necking. Dalam pembuatan necking dapat dibuat dalam dua jenis proses alternatif yaitu : Alternatif pertama proses Metal spinning adalah proses pembentukan logam, dimana piringan dari logam yang diputar dengan kecepatan tinggi dan dibentuk menjadi sebuah komponnen aksial. Spinning dapat dikerjakan dengan menggunakan tangan dan bisa juga menggunakan mesin CNC. Metal spinning memberikan alternatif yang murah dibandingkan dengan stamping, pengecoran dan proses pembentukan logam lainnya. Alternatif kedua adalah proses menggunakan mesin press tool yaitu dimana selongsong peluru yang akan di *necking* dimasukan kedalam *dies* atau cetakan dan kemudian di press hingga membentuk necking.

Pada tahapan ini proses pembuatan *necking* yang akan dibahas adalah menggunakan mesin *press tool*, dikarenakan alat yang tersedia di Teknik Mesin ITS adalah alat press tool yang sama digunakan dalam prsoses *ironing*. Untuk membuat *necking* dengan mesin *press tool* tentu memerlukan *dies* atau cetakan untuk membuat proses *necking*.



Gambar 1.1 Proses pembuatan selongsong peluru [1]

1.2 Persamaanan Masalah

Persamaanan masalah pada tugas akhir ini adalah :

- 1. Bagaimana merancang komponen *dies set* untuk pembentukan *nacking* selongsong peluru kaliber 20mm yang sesuai dengan alat *press tool* di Teknik Mesin ITS.
- 2. Bagaimana proses manufaktur untuk membuat *dies set necking* selongsong peluru kaliber 20mm

1.3 Tujuan

Tujuan dari tugas akhir ini adalah:

- 1. Merancang komponen *dies set* untuk pembentukan *necking* selongsong peluru kaliber 20mm yang sesuai dengan alat press tool di Teknik Mesin ITS
- 2. Membuat *dies set necking* untuk pembentukan selongsong peluru kaliber 20mm

1.4 Batasan Masalah

Batasan masalah dari Tugas akhir ini adalah :

- 1. Mesin *Press tool* yang di kaji adalah *press tool* yang terdapat di Teknik Mesin ITS
- 2. Perancangan yang dikaji adalah *dies set necking*, *dies holder* dan *punch*.
- 3. Material selongsong peluru yang akan digunakan *CuZn30*.
- 4. Pemberian sudut α pada rancangan *dies necking* sebesar 34,5⁰
- 5. Proses pemesinan menggunakan mesin konvensional.

1.5 Manfaat Penelitian

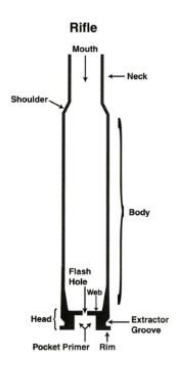
Manfaat tugas akhir ini adalah:

- 1. Melengkapi penelitian terdahulu mengenai proses pembuatan selongsong peluru dengan alat *press tool* yang ada di Teknik Mesin ITS
- 2. Menjadikan salah satu refrensi penelitian sejenis terutama dalam perancangan dan *manufacturing dies set necking*.

BAB 2 DASAR TEORI

2.1 Necking

Necking adalah metode embentukan metal forming dan, salah satu proses pembentukan pada selongsong peluru jenis senjata laras panjang. Dimana proses pembentukannya setelah melalui proses *ironning*. Pembentukan necking bertujuan untuk menahan selongsong peluru untuk tidak keluar dengan peluru pada selongsong senjata laras panjang.



Gambar 2.1 Bagian – Bagian dari selongsong peluru [2]

Senjata laras panjang membutuhkan daya ledak yang tinggi agar dapat memicu peluru melaju dengan jarak yang jauh, sehingga desain dari selongsong peluru jenis senjata laras panjang lebih besar ataupun panjang dari selongsong peluru senjata jenis pistol, dikarenakan propellan (*powder*) selongsong laras panjang lebih banyak.



Gambar 2.2 Bagian dari Peluru Laras Panjang [2]

2.1.1 Pembentukan Necking Secara Umum

Pembuatan *necking* pada umumnya dilakukan dengan menggunnakan proses *Hot Working* dimana ujung pada selongsong dipanaskan terlebih dahulu kemudian dilakukan proses *necking* dengan bantuan *dies* metode *Hot Dies Forging*. Berbeda dengan *dies forging* konvensional, dimana perbedaan temperatur antara benda kerja dan *dies* bisa mencapai 1000°C atau lebih, pada proses *hot dies* temperatur *dies* hanya sekitar 200°C lebih rendah dari pada benda kerja.



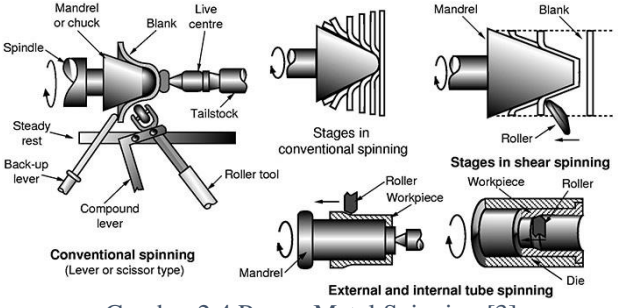


Gambar 2.3 Pembentukan Necking dengan Hot Working Proses

2.2 Metal Spinning Dan Dies Pada Mesin Press Tool

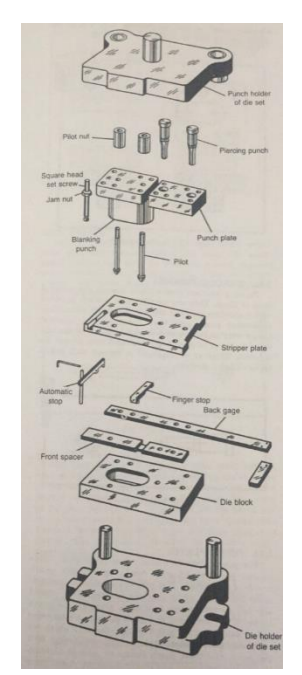
Adapun hal yang dapat dilakukan dalam pembuatan necking pada selongsong peluru. Sebelum melakukan prsoses necking tentu menyesuaiakan proses mana yang akan digunakan dalam necking selongsong peluru. Terdapat dua proses yang bisa dilakukan dalam pembentukan necking anatar lain dengan menggunakan mesin press tentu memerlukan dies atau cetakan yang bisa digunakan dalam pembentukan necking, yang kedua adalah dengan proses metal spinning. Metal spinning adalah proses pembentukan logam, dimana piringan dari logam yang diputar dengan kecepatan tinggi dan dibentuk menjadi sebuah komponnen aksial. Spinning dapat dikerjakan dengan menggunakan tangan dan bisa juga menggunakan mesin CNC.

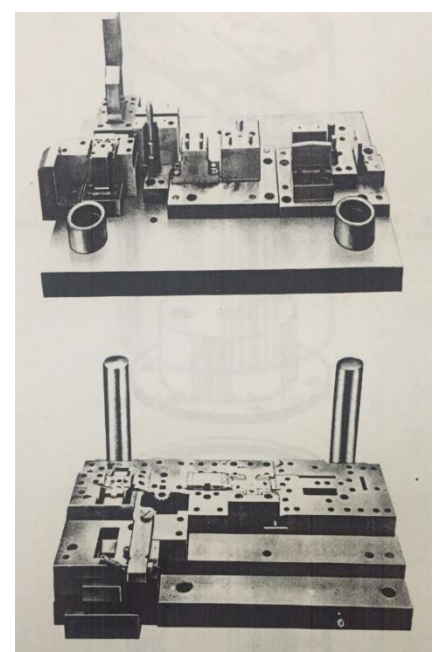
Proses pembentukannya cukup sederhana. Sebuah disc yang bagian sebelumnya sudah dibentuk dipasang di mesin. Kemudian dijepit dengan blok bertekanan yang melekat pada tailstock. Blok dan benda kerja kemudian diputar bersamasama pada kecepatan tinggi. Kemudian benda perlahan di dorong kearah blok dengan menggunakan Roller Tool. Sehingga benda kerja akan menyelubungi blok. Adapun beberapa hal yang dapat dilakukan oleh metal spinning yaitu pengerjaan benda berbentuk silinder dan hollow atau berlubang. Bila pengaplikasian necking untuk selongsong peluru, akan membutuhkan waktu yang cukup lama dalam produksi, pengerjaan necking dengan metal spinning membutuhkan ukuran diameter cukup besar seperti pengerjaan pembuatan botol minuman kaleng.



Gambar 2.4 Proses Metal Spinning [3]

Bagaimana langkah belajar dalam membuat *die* desain ? tentu kita harus memahami prinsip dasar dari kegunaan *die* itu sendiri. *Die* adalah kata yang sangat umum dan mungkin baik untuk didefinisikan maknanya karena akan digunakan dalam pekerjaan sehari – hari. *Die* digunakan dalam dua cara berbeda, ketika di artikan umum berarti seluruh alat *press tool* dengan semua komponen diambil secara bersama – sama. Ketika di artikan yang lebih terbatas, ini mengacu pada komponen yang dikerjakan untuk menerima bagian yang kosong. Berbeda dari komponen yang di sebut *punch* merupakan bagian yang berlawanan. Dimana dies sangat mudah dalam pengaplikasiannya khususnya dalam proses *metal forming*, dengan membuat cetakan (*dies*) yang memang di butuhkan dalam aspek pembentukan metal (*forming*)





Gambar 2.5 (a) *die* set lengkap dan (b) *die* set atas dan bawah *progressive die* [4]

2.3 Cold Dan Hot Working

Hot Working adalah proses pembentukan dengan cara memanaskan benda kerja sampai diatas suhu rekristalisasi, kemudian diberikan gaya luar sehingga terjadi perubahan bentuk yang diinginkan. Suhu benda untuk hot working pada Tabel 2.1 sekitar:

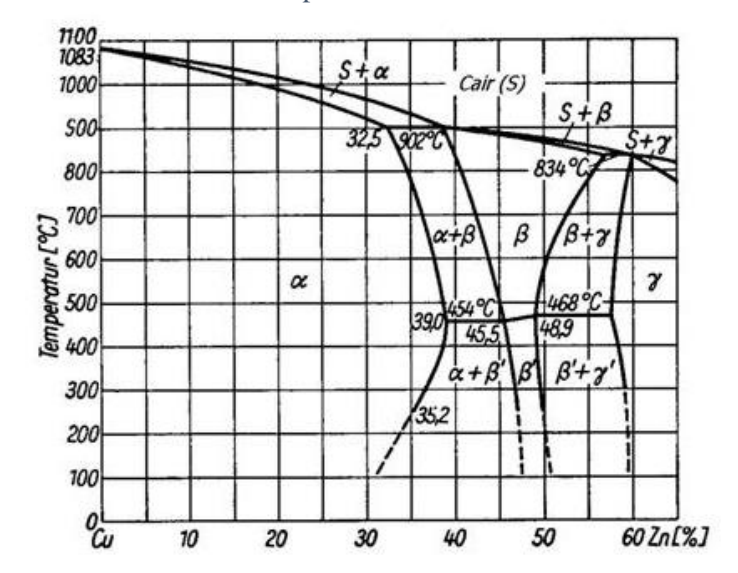
Tabel 2.1 Parameter temperatur Rekristalisasi

Material	Suhu
Steel	Diatas 1150 °C
Al-Alloy	$360 - 520$ 0 C
Cu-Alloy	$400 - 800$ $^{\circ}$ C

Rekristalisasi adalah suatu proses dimana butir logam yang terdeformasi digantikan oleh butiran baru yang tidak terdeformasi

yang intinya tumbuh sampai butiran asli termasuk didalamnya, atau perubahan struktur kristal akibat pemanasan pada suhu kritis sehingga terbentuk struktur butiran baru melalui tumbuhnya inti dengan pemanasan.

Cold Working adalah pembentukan logam secara plastis dibawah suhu rekristalisasi pada umumnya dilakukan disuhu kamar tanpa pemanasan benda kerja.



Tabel 2.2 Temperatur Pembentukan CuZn30

Pada Tabel 2.2 temperatur *hot working* untuk CuZn30 yaitu \leq 400°C sedangkan untuk *cold working* dibawah suhu rekristalisasi yaitu dibawah 400°C

2.4 Penelitian Terdahulu

Pada Tahun 2015, Gandhi Widi Artha telah berhasil merangcang *dies ironing* dengan proses pembentukan selongsong peluru kaliber 20 mm terdiri dari 4 tahapan proses *ironing*. Tool yang digunakan dalam proses pembentukan terdiri dari 1 buah tandem *dies-set* untuk proses reduksi *cup* bertahap dari Ø33,5

menjadi Ø31,7 kemudian menjadi Ø30,8; 1 buah *single dies-set* untuk proses reduksi *cup* bertahap dari Ø30,8 menjadi Ø30,05.

Idiar pada tahun 2016 telah berhasilmerancang *dies* untuk proses *deep drawing* membuat selongsong peluru. Rancangan *dies deep drawing* tersebut juga telah dimanufaktur dan *dies deep drawing* tersebut juga telah berhasilmembentuk cup dari lembaran material CuZn 30.

Pada tahun yang sama, M. Nusron Ali juga telah melakukan simulasi terhadap proses *Ironing* pada pembuatan selongsong peluru. Dari hasil simulasi tersebut didapatkan bahwa Thickness Reduction Ratio yang diijinkan pada proses *ironing* selongsong peluru tersebut adalah sebesar 26,7 %. Proses *Ironing* yang terjadi dapat berhasil dengan gaya sebesar 138 kN pada sudut pembentukan *dies* 5°dan 148 kN pada sudut pembentukan *dies* 10°.

Tahun 2017, Dicky Rachmat Riyanto telah melakukan penelitian mengenai penggunaan *software* TopSolid7 untuk proses CAD dan CAM dari beberapa komponen. Komponen yang dimanufaktur dengan bantuan TopSolid7 adalah *DiesIroning*, Head Cylinder dan Impeller.

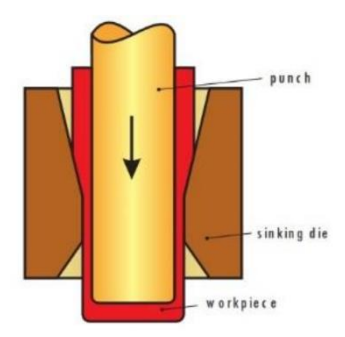
Pada tahun 2018, I Gusti Agung Ngurah Wiana Baskara mendesain *dies* ironning yang sesuai dengan *presstool* yang ada di jurusan Teknik Mesin ITS. *Diesironing* pembentukan selongsong peluru kaliber 20mm dirancang sebanyak 4 tahapan, dan mereduksi cup dari tahapan *ironing* pembentukan selongsong peluru terbagi juga dalam 4 tahapan. Dalam proses pembuatan *dies ironing* sampai permesinan CNC menggunakan pengaplikasian *software* TopSolid7.

2.5 Gaya Pembentukan Necking

Dalam proses pembentukan *necking* gaya yang bekerja menyesuaikan mesin *press tool* yang telah tersedia di jurusan teknik mesin ITS. Dalam proses pembuatan *necking* sama dengan proses *ironing*, perbedaannya adalah letak *punch* terhadap *workspace*.

2.5.1 Ironing

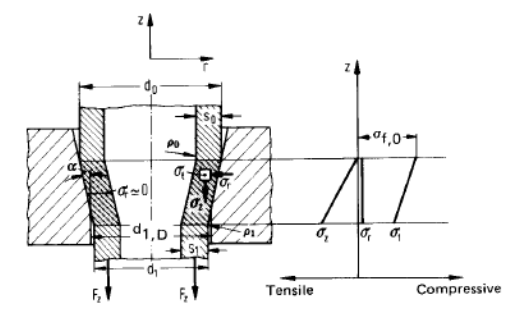
Ironing adalah salah satu proses deep drawing yaitu sheet metal forming yang dilakukan untuk menipiskan bagian dinding dari benda kerja yang dimana benda kerja secara langsung ditekan dengan punch dan kemudian melewati dies dengan ukuran yang lebih kecil sehingga benda kerja terdeformasi mengakibatkan penipisan.



Gambar 2.6 Proses *Ironing*[5]

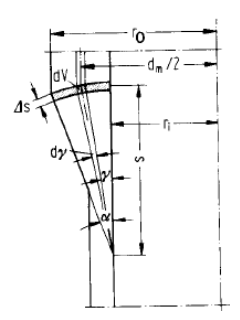
2.5.2 Gaya Pembentukan Necking

Necking dalam penelitian ini menggunakan metode yang sama dengan ironing dan menggunakan dies forming untuk pembentukan neck pada selongsong peluru. Perbedaan dalam proses ini adalah work piece bagian Head (bagian bawah) selongsong peluru akan berkontak langsung dengan punch, sedangkan mulut selongsong akan bersentuhan dengan Dies Necking.



Gambar 2.7 Kondisi Tegangan Dan Gaya Pada *Tube Forward Extrusion*[6]

Gaya pembentukan *necking* atau dapat digolongkan dalam deep drawing dengan katagori *metal forming* yang dikutip pada *Handbook Of Metal Forming* oleh *Kurt Lange* pada Gambar 2.7 "Kondisi Tegangan dan Gaya Pada *Tube Forward Extrusion*" dalam proses pembentukan *necking* mengutip dari *Prof. Dr.–Ing. Rolf Geiger*. Gaya dan kerja deformasi (*force and work deformation*). Gaya deformasi dengan peryataan untuk ideal, gesek, dan geser:



Gambar 2.8 Derivation Of Shearing Work W_{sh} In Tube Forward Extrusion[6]

Work shear yang berlebihan dibatasi pada dua strip material kecil pada saat material masuk dan keluar dari *dies*.

$$d\Delta W_{sh.0} = \tau_{max.0} \tan \gamma \ dV$$

Dengan $dV = \pi d_m \Delta_s s d\gamma$, dimana d_m adalah average diameter, dan integreting over the half die angel, menjadi

$$\Delta W_{sh,0} = \frac{1}{2} \tau_{max,0} \tan \alpha \ \Delta V$$

Dengan $\Delta V \approx d_m \Delta_s s \tan \alpha$

Shear work pada exit dari die similarly obtained sebagai

$$\Delta W_{sh,1} = \frac{1}{2} \tau_{max,1} \tan \alpha \ \Delta V$$

Total *shear work*, berdasarkan *entire volume passes* pada *shear zone*, sebagai berikut

$$W_{sh}=W_{sh,0}+W_{sh,1}=rac{1}{2}ig(au_{max,0}+ au_{max,1}ig)Vtanlpha$$
 Dimana $au_{max,m}=rac{1}{2}K_{str,M}$ $W_{sh}=rac{1}{2}K_{str,M} anlpha$ V

Gaya Shear dapat ditentukan

$$F_{sh} = \frac{1}{2} \tan \alpha \times K_{str,m} \times A_1$$

Gaya total Ftot dapat dihitung dari Wtot seperti dibawah ini:

$$F_{tot} = F_{Id} + F_{Fr} + F_{fr,M} + F_{Sh}$$
 ---- 2.2 Dimana:

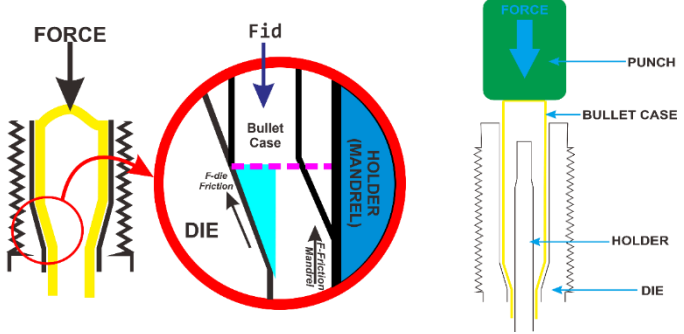
$$W_{tot} = kerja total$$
 $F_{tot} = gaya total$ (N)

$$W_{Id}$$
=kerja ideal F_{Id} = gaya ideal (N)

$$W_{Fr} = \text{kerja gesek}$$
 $F_{Fr} = \text{gaya gesek}$ (N)

$$W_{Sh} = \text{kerja geser}$$
 $F_{Sh} = \text{gaya geser}$ (N)

F_{Id},F_{Fr}, F_{Sh} di persamaan 2.2.



Gambar 2.9 Gaya yang Bekerja Pada Selongsong [6]

Uraian Persamaan Ftot:

$$F_{id} = A_1 \times K_{str,m} \times \varphi_n \qquad ---- 2.3$$

$$F_{Fr,S} = \frac{2 \times K_{str,m} \times \varphi_n \times \mu_s \times A_1}{\sin 2\alpha} \qquad ---- 2.4$$

$$F_{sh} = \frac{1}{2} \tan \alpha \times K_{str,m} \times A_1 \qquad ---- 2.5$$

$$F_{FR,M} = A_1 \times K_{str,m} \times \varphi_n \frac{\mu}{\tan \alpha} \qquad ---- 2.6$$

$$\varphi_n = \ln \frac{A_0}{A_1} \qquad ---- 2.7$$

Dimana:

F_{id} : Gaya ideal (N)

 $F_{Fr, S}$: Gaya gesek pada dinding dies necking (N) F_{sh} : Gaya Shear pada dinding dies pilot (N)

 K_{strm} : Average flow stress (N/mm2)

 φ_n : True Strain

 μ_s : Koefisien gesek pada dies Shoulder (0.02 – 0,07)

α : Sudut dies (°)

Ao : Luas penampang awal proses (mm2) A₁ : Luas penampang akhir proses (mm²)

2.6 Dies

Dies adalah alat yang digunakan untuk membentuk ataupun memotong material menggunakan bantuan mesin press tool. Dies sendiri merupakanalat pendukung proses stamping. Bagian – bagian dari dies antara lain:

- 1. *Upper Plate*: bagian teratas dari *dies* yang memegang dan menyangga beberapa komponen, seperti *punch*, *punch holder*, *backing plate*, *stripper* dan *guide bush.Upper plate* berguna sebagai tempat mengatur atau *setting* dengan *ram* sebuah mesin *press*.
- 2. *Punch*: pisau pemotong yang berada di bagian atas (pada jenis proses *cutting*) atau cetakan atas (pada jenis proses *forming*). *Punch* yang berukuran besar dibaut pada *punch holder*, sedangkan yang kecil cukup ditanam dengan suaian sesak pada *punch holder* supaya tidak goyang saat *dies* dijalankan.
- 3. *Punch Holder: Punch holder* berguna sebagai pemegang *punch*, baik pada proses *cutting* maupun *forming*. Pada proses *cutting*,

- *punch* yang berukuran kecil ditanam pada *punch holder* karena difungsikan sebagai pengikat atau penahan.
- 4. Stripper: berfungsi sebagai penjepit atau penahan material plat, agar tidak bergerak saat terjadinya proses punch dan dies dalam keadaan berjalan. Biasanya stripper dipakai pada proses cutting, tapi ada pula yang menggunakannya untuk beberapa proses forming. Konstruksi stripper sendiri adalah plat dengan ketebalan tertentu yang di bagian atasnya dipasangspring. Supaya pergerakan spring tersebut tidak melenceng, maka stripper harus diikat pada upper dies dengan stripper bolt.
- 5. Lower Plate: Lawan dari upper plate, lower plate adalah bagian terbawah dari sebuah dies, dimana semua komponen seperti guide pin, die, pad dan lainnya dipegang serta diikat. Lower plate berfungsi sebagai tempat seting dengan meja mesin press atau bolster.
- 6. Backing Plate: Backing plate berfungsi untuk menahan tekanan punch yang bekerja memotong material. Sebab, aksi tersebut menimbulkan reaksi pada ujung punch yang lain. Tempatkan backing plate di antara upper plate dan punch holder supaya tidak melubangi bagian teratas dies. Backing plate ini tidak selalu ada di konstruksi dies, tapi tergantung pada prosesnya.
- 7. *Die*: *Die* memiliki fungsi yang sama dengan *punch*, tapi letaknya di bawah. Karena fungsinya sebagai pemotong atau pembentuk, *die* harus dibuat dengan material yang kuat serta keras.
- 8. *Pad*: *Pad* (*lifter* atau *ejector*) bentuknya sama dengan *stripper*, tapi berfungsi sebagai pendorong atau pengangkat material. Jadi, *pad* berguna untuk memudahkan operator dalam mengambil material hasil proses. Mungkin bila tidak ada *pad*, material tersebut akan menempel pada *die*.
- 9. Guide Post: Guide post adalah bagian yang sangat penting pada dies, sebab fungsinya sebagai penepat antara upper dan lower dies. Dengan adanya guidepost, posisi antara die dan punch bisa terjamin saat dies dijalankan. Pada konstruksi dies, minimal harus ada dua set guide post.

10. Shank: Shank merupakan bagian dies yang terpasang pada upper plate. Fungsi shank adalah untuk menempatkan dies di posisi center dari ram mesin press. Pada beberapa jenis mesin press, khususnya yang memiliki kapasitas kecil, shank berfungsi sebagai pengikat dan pengencang upper dies. Sementara pada dies berukuran besar, shank jarang dipakai karena proses pengikatan menggunakan sistem clamping.

2.6.1 Diameter Lubang Dies

Untuk menentukan diameter yang sesuia pada *dies* dikutip dari refrensi "*Ivana Such, Handbook Of Dies Design*", perlu diketahui diameter benda kerja yang ingin dihasilkan terlebih dahulu. Pada proses *necking*, diameter *dies* (Dd) dapat dihitung menggunakan persamaan:

$$D_{dies} = D_{punch} + 2T + 0.05mm \qquad \qquad ---- \qquad 2.8$$

Dimana:

Ddies : Diameter dies yang direncanakan

Dpunch : Diameter punch (mm)

T : Tebal dinding benda kerja (mm)

2.6.2 Ketebalan Dies

Ketebalan dari *dies* tergantung pada ketebalan benda kerja yang akan diproses. Semakin tebal benda kerja yang akan diproses maka semakin tebal pula *dies* yang digunakan. Ketebalan *dies* dapat dihitung dengan menggunakan persamaan :

$$H = (10 + 5T + 0, 7\sqrt{a+b}) C$$
 ---- 2.9

Dimana:

H : Tebal *dies* (mm)
T : Tebal material

a,b : Dimensi bukaan *dies* (mm)

c : konstanta (tabel 2.1)

Lebar dinding e dapat dihitung menggunakan persamaan : $e = (10 \div 20) + 0.8 H$ ----- 2.10

Dimana:

H : Tebal dies (mm)

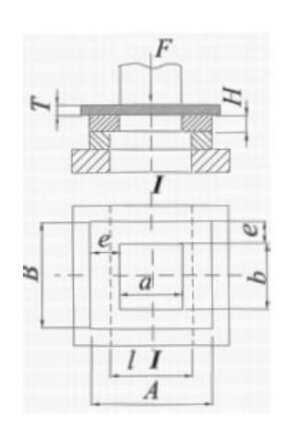
e : Lebar dinding dies (mm)

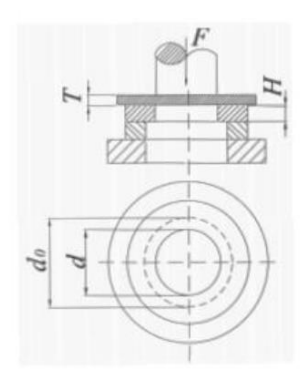
Tabel 2.3 Konstanta c Untuk UTS Material

UTS (Mpa)	117	245	392	784
C	0,6	0,8	1,0	1,3

Dimana:

UTS: Ultimate Tensile Strength





Gambar 2.10 Dimensi dies (Ivana Such, Handbook Of Dies Design)

2.7 Spesifikasi Bahan CuZn30

Bahan yag digunakan untuk pembuatan selongsong peluru adalah kuningan CuZn30. CuZn30 merupakan tembaga paduan dengan *zinc* sebanyak 30%. Penambahan unsur *zinc* pada paduan memberikan keuntungan pada peningkatan kekuatan material. Detail dari CuZn30 adalah sebagai berikut :

Tabel 2.4 Kekuatan Materian CuZn30

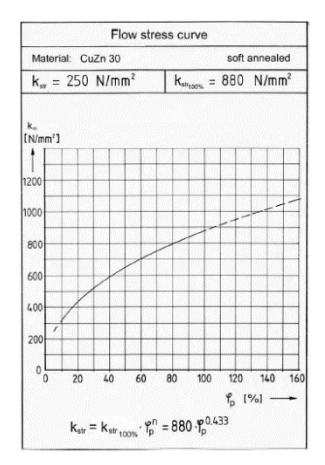
UTS (Mpa)	YS (Mpa)	A ₅ (%)	Modulus Young's	Poisson Ratio	Grain Size
			(Gpa)		(µm)
339	113	65	110	0,345	33

Dimana:

YS: Yield Strength

A5: Elongation to Rupture

Cara mengetahui tegangan yang diperlukan untuk menghasilkan deformasi plastis material, maka digunakan diagram flow stress material sebagai berikut :



Gambar 2.11 Diagram Flow Stress Material CuZn30 [7]

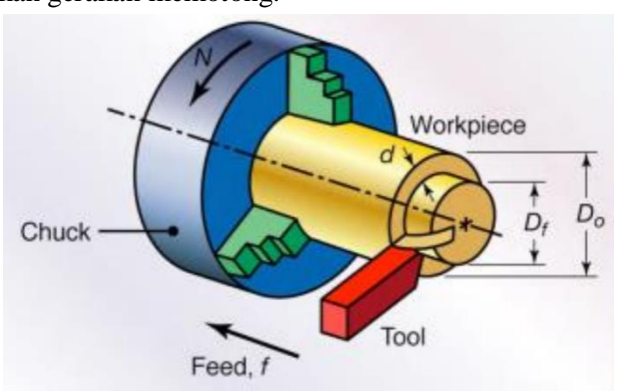
Flow stress juga dapat didefinisikan sebagai tegangan yang diperlukan untuk mempertahankan deformasi plastis pada regangan tertentu. Flow stress merupakan fungsi dari plastic strain.

2.8 Proses Pemesinan

Proses pemesinan merupakan proses yang digunakan untuk mengubah bentuk suatu produk berbahan logam, plastik dan kayu menggunakan mesin perkakas. Proses pemesinan dipilihkarena memiliki tingkat ketelitian dan ketepatan pembuatan yang tinggi. Faktor — faktor yang berpengaruh terhadap proses pemesinan adalah material benda kerja, material pahat potong, dan kekerasan benda kerja.

2.8.1 Proses Bubut

Proses bubut digunakan untuk mengerjakan benda kerja silindris. Pada proses bubuk benda kerja terhubung pada poros utama dan diputar. Gerakan pemotongan dilakukan oleh pahat potong, dengan gerakan melintang dan memanjang. Gerakan tersebut secara berturut –turut akan mengurangi diameter dan kedalaman/tinggi benda kerja. Gambar 2.12 menunjukan ilustrasi proses pemotongan benda kerja pada proses bubut. Dimana benda kerja digambarkan berwarna kuning terhunung pada *Chuck* yang berputar, dan pahat potong digambarkan berwarna merah melakukan gerakan memotong.



Gambar 2.12 Ilustrasi Proses Bubut [9]

Kecepatan potong pada proses bubut dapat dihitung dengan menggunakan persamaan sebagai berikut :

Dimana:

Vc : Kecepatan potong (m/min)
d : Diameter rata – rata (mm)
n : Putaran spindle (rpm)

$$d = \frac{d_0 + d_1}{2} ---- 2.12$$

Dimana:

 $\begin{array}{ll} do & : Diameter \ awal \ (mm) \\ d_1 & : Diameter \ akhir \ (mm) \end{array}$

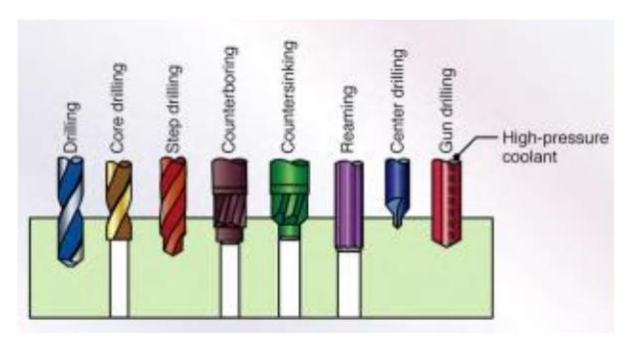
Parameter lain yang digunakan pada turning seperti kecepatan pemakanan (*feed*) dan kedalaman pemakanan (*cutting depth*) dapat dilihat dari Tabel 2.5 rekomendasi dari Ulrich Fischer sebagai berikut:

Tabel 2.5 Tabel Rekomendasi Parameter Potong Turning[10]

Workpiece material		Cutting	Feed	Cutting depth
Material group	Tensile strength R _m in N/mm ² or Hardness HB	speed v _c in m/min	in mm	a _p in mm
Steels, low strength	$R_{\rm m} \le 800$	200-350		0.3-5.0
Steels, high strength	R _m > 800	100-200	0.1-0.5	
Stainless steels	R _m ≥ 800	80-200		
Cast iron, malleable cast iron	≤ 250 HB	100-300		
Al alloys	$R_{\rm m} \le 350$	400-800		
Cu alloys	R _m ≤ 500	150-300		
Thermoplastics	-	500-2000		
Thermoset plastics	_	400-1000	1	

2.8.2 Proses Gurdi

Pada proses gurdi pahat potong melakukan gerak potong. Hal ini terjadi karena pahat potong terhubung pada poros utama dan melakukan pergerakan mengikuti sumbu putarnya. Sehingga pahat potong berputar dan bergerak naik dan turun menambah kedalaman lubang. Diameter lubang yang dibuat akan sama dengan



diameter pahat potong. Proses gurdi memiliki banyak jenis dengan tujuan yang berbeda — beda. Gambar 2.13 mengilustrasikan berbagai macam proses gurdi yang sering digunakan.

Gambar 2.13 Berbagai Macam Proses Gurdi [9]

Kecepatan potong pada proses gurdi dapat dihitung dengan menggunakan persamaan sebagai berikut :

$$V_c = \frac{\pi \times \hat{d} \times n}{1000}$$
 ---- 2.13 Dimana :

Dimana :

Vc : Kecepatan potong (m/min)
d : Diameter gurdi (mm)
n : Putaran spindel (rpm)

Parameter lain yang digunakan pada proses gurdi seperti kecepatan pemakanan (*feed*) dapat dilihat dari Tabel 2.6 rekomendasi dari *Ulrich Fischer* sebagai berikut :

Workpiece material		Cutting	Drill diameter d in mm				
Material group	Tensile strength R _m in N/mm ² or Hardness HB	speed ²⁷ V _c m/min	2-3	>3-6	>6-12	>12-25	>25-50
			Feed f in mm/revolution				
Steels, low strength	R _m ≤ 800	40	0.05	0.10	0.15	0.25	0.35
Steels, high strength	R _m > 800	20	0.04	0.08	0.10	0.15	0.20
Stainless steels	<i>R</i> _m ≤ 800	12	0.03	0.06	0.08	0.12	0.18
Cast iron, malleable cast iron	≤ 250 HB	20	0.10	0.20	0.30	0.40	0.60
Al alloys	R _m ≤ 350	45	0.10	0.20	0.30	0.40	0.60
Cu alloys	R _m ≤ 500	60	0.10	0.15	0.30	0.40	0.60
Thermoplastics	-	50	0.10	0.15	0.30	0.40	0.60
Thermoset plastics	-	25	0.05	0.10	0.18	0.27	0.35

Tabel 2.6 Tabel Rekomendasi Parameter Potong Gurdi [10]

2.8.3 Proses Threading

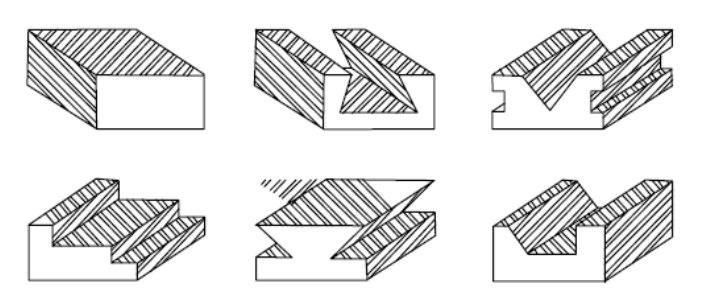
Dengan goemetrinya yang khusus suatu ulir dibubut dengan menggunakan pahat bentuk yang mempunnyai geometri yang serupa dengan ulirnya. Dalam hal ini gerak makan harus disesuaikan dengan *pits* ulir yang bersangkutan. Pembubutan dilaksanakan secara bertahap dengan kedalaman potong harus diatur sedemikian rupa hingga sehingga geometri ulir dapat tercapai.

elemen (parameter)		Ulir luar	Ulir dalam
Kedalaman potong mula	; a ₁ =	$\frac{5}{8}$ p sin 60° $/\sqrt{n}$	$\frac{4}{8} p \sin 60^{\circ} / \sqrt{n}$
Kedalaman potong berikut	; a _i =	a, √i	a₁ √i
Kedalaman potong ekuivalen	; a _{eq,i} =	$a_i + \frac{2}{8} p \sin 60^\circ$	$a_i + \frac{2}{8} p \sin 60^\circ$
Lebar geram ekuivalen	; b _{eq,i} =	a _{eq,i} /sin 60°	a _{ea,1} / sln 60°
Tebal geram ekuivaler:	; h _{eq,i} =	$a_1 \sqrt{i} - a_1 \sqrt{(i-1)}$	$a_1 \sqrt{i} - a_1 \sqrt{(i-1)}$
Diameter yang dicapai	; d _{,i} =	$d-2a_1\sqrt{i}$	$D_1 + 2 a_1 \sqrt{i} + \frac{2}{8} p \sin 60^{\circ}$
pada urutan terakhir	d _{,n} =	$d-2\ a_1\ \sqrt{n}-\vec{a_1}$	$D_1 + 2 a_1 \sqrt{n} + \frac{2}{8} p \sin 60^\circ - D$
; D = diameter mayor ulir luar ; D ₁ = diameter minor ulir luar p = pits ulir	/dalam /dalam		Ulir ISOMETRIK (M d x p - IT
itatan; Harga a, (kedalaman po	tono mulo) h	consta a femile	
bagai masukan (input) untuk pe	mbuatan ulir l	SOMETRIK dengan menge	gunakan mesin bubut NC

Gambar 2.14 Persamaan ulir luar dan ulir dalam

2.8.4 Proses Milling

Milling merupakan proses metal removal dengan menggunakan pahat yang berputar, yang mana pahat tersebut memiliki jumlah gigi satu atau lebih. Milling umumnya digunakan untuk memproses benda kerja yang memiliki permukaan datar, memiliki kontur, atau bahkan permukaan yang helix. Komponen yang dapat dihasilkan oleh proses milling dapat dilihat pada Gambar 2.15.



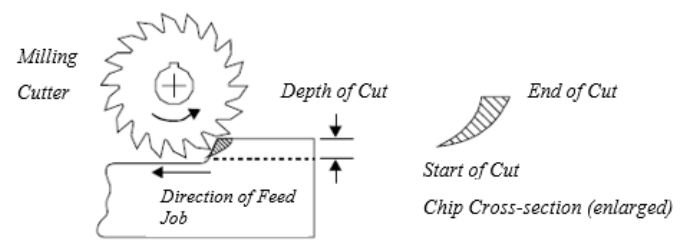
Gambar 2.15 Hasil dari proses milling (Singh, 2006)

Pemakanan dilakukan dengan cara membenturkan benda kerja dengan pahat yang berputar. Oleh karena itu kedalaman potong, kecepatan spindel, kecepatan pemakanan dan arah putaran menjadi parameter utama dari proses *milling*. Kecepatan spindel dan kecepatan pemakanan bergantung pada material yang diproses (Singh, 2006).

2.8.4.1 Arah Putaran Pahat Pada Proses Milling

Terdapat dua arah putaran pahat terhadap benda kerja pada proses *milling* antara lain:

a. Up Milling

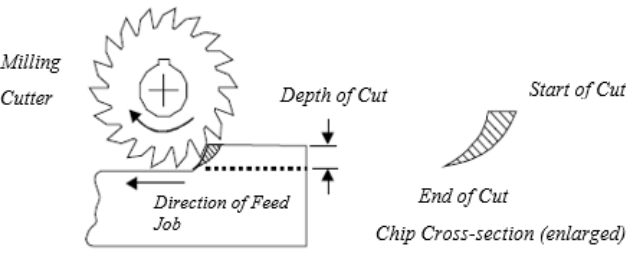


Gambar 2.16 Proses up-milling (Singh, 2006)

Pada proses *up-milling*, seperti pada Gambar 2.16, arah putaran spindel berlawanan dengan pergerakan meja/benda kerja. Oleh karena itu, tebal geram minimum terdapat pada awal gerak potong, dan tebal geram maksimum terdapat pada akhir gerak potong. Pembentukan tebal geram ini berbanding lurus dengan besarnya gaya yang terbentuk.

Kerugian utama dari proses *up-milling* adalah gaya yang dihasilkan akan cenderung menarik benda kerja dari tatakan dan juga menghasilkan permukaan yang kasar.

b. Down Milling



Gambar 2.17 Proses down-milling (Singh, 2006)

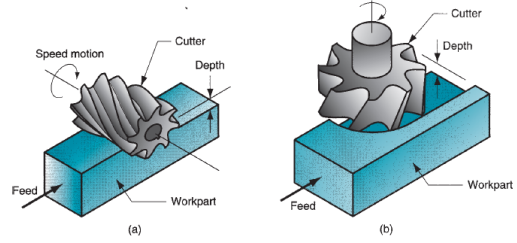
Pada proses *down-milling*, pergerakan dari meja atau benda kerja searah dengan arah putaran spindel seperti ditunjukkan pada Gambar 2.17. Hal ini menyebabkan pahat cenderung memberikan efek menekan (*downward*), dan geram yang terbentuk berkebalikan dengan *up milling* begitu pula dengan gaya potong.

2.8.4.2 Jenis Operasi Milling

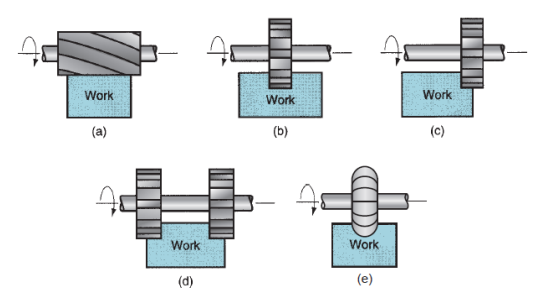
Secara garis besar operasi *milling* juga dapat dibagi menjadi dua, yaitu periferal *milling* dan *face milling*.

1. Periferal *Milling*

Pada periferal milling, sumbu aksial pahat sejajar dengan permukaan benda kerja. Proses ini dilakukan dengan cara memotong bagian terluar dari benda kerja, seperti yang terlihat pada Gambar 2.18 (a). Terdapat beberapa jenis periferal milling, seperti pada Gambar 2.19, antara lain: (a) slab milling, disebut slab milling ketika lebar pahat melebihi lebar dari benda kerja; (b) slot milling, disebut slot milling ketika lebar pahat lebih kecil dibandingkan dengan lebar benda kerja. Hal ini akan membuat lubang/gang pada benda kerja. Ketika pahat sangat tipis, operasi ini dapat digunakan untuk memotong benda kerja yang disebut saw milling; (c) side milling, sama seperti slot milling, akan tetapi bagian yang dipotong berada pada tepi benda kerja; (d) straddle milling, sama seperti side milling, akan tetapi pahat pemotong berjumlah dua buah (memotong tepi kiri, dan tepi kanan); dan yang terakhir adalah form milling (e), yang memiliki pahat dengan profil spesial yang akan menentukan bentuk dari lubang pada benda kerja.



Gambar 2.18 Dua jenis utama pada proses *milling*: (a) Periferal *milling*, (b) *Face milling* (Groover, 2010)

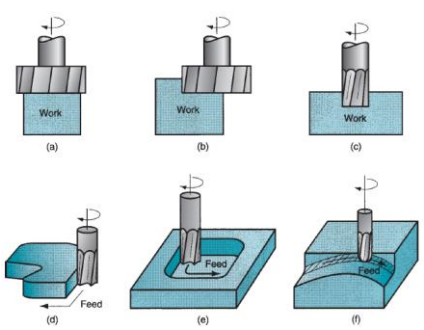


Gambar 2.19 Periferal milling: (a) Slab milling, (b) Slot milling, (c) Side milling, (d) Straddle milling, (e) Form milling (Groover, 2010)

2. Face Milling

Pada *face milling* sumbu aksial dari pahat tegak lurus terhadap permukaan benda kerja, dan pemakanan dilakukan pada sisi luar pahat seperti pada Gambar 2.18 (b). Seperti pada periferal *milling*, pada *face milling* juga terdapat beberapa jenis, seperti terlihat pada

Gambar 2.20: (a) *face milling* konvensional, yang mana diameter pahat lebih besar dibandingkan dengan lebar benda kerja; (b) *face milling* parsial, yang mana pahat memotong benda kerja hanya pada satu sisi; (c) *end milling*, pahat memiliki diameter lebih kecil dibandingkan dengan lebar benda kerja, sehingga akan menghasilkan lubang pada benda kerja; (d) profil *milling*, yaitu *end milling* yang memotong berdasarkan pola tertentu; (e) *pocket milling*, bentuk lain dari *end milling*, hasil pada *pocket milling* akan membentuk sebuah kantung pada benda kerja; (f) *surface contouring*, yang mana pahat *ball-nose* dipakai untuk membentuk permukaan tiga dimensi.



Gambar 2.20 Face milling: (a) Face milling konvensional, (b) Face milling parsial, (c) End milling, (d) Profil milling, (e) Pocket milling, (f) Surface contouring (Groover, 2010)

2.8.4.3 Parameter-parameter Utama Pada Proses Milling

Terdapat beberapa parameter penting yang akan mempengaruhi hasil dari proses *milling*. Hasil yang baik hanya dapat diperoleh dengan kombinasi parameter-parameter pemesinan yang tepat. Parameter-parameter tersebut antara lain:

1. Kecepatan spindel

Umumnya kecepatan spindel memiliki satuan revolusi per menit (rpm). Hal ini dapat diartikan bahwa kecepatan spindel adalah seberapa banyak putaran yang dilakukan spindel dalam waktu satu menit. Kecepatan spindel dapat dihitung dengan persamaan 2.14 (Groover, 2010).

$$N = \frac{\text{CS} \times 1000}{\pi \text{ x d}} \qquad ---- 2.14$$
Dengan:
$$N = \text{Kecepatan spindel (RPM)}$$

$$CS = \text{Linion systims anead (m/min)}$$

CS = Linier cutting speed (m/min)
d = Diameter pahat (mm)

2. Kecepatan Pemakanan

Kecepatan pemakanan didefinisikan sebagai kecepatan perpindahan material benda kerja dalam satuan mm/min. Akan tetapi, kebanyakan supplier pahat merekomendasikan sebagai gerak potong per gigi (f). Kecepatan pemakanan dapat dihitung dengan persamaan 2.15 (Groover, 2010).

N = Kecepatan spindel (RPM)

3. Kedalaman potong

Kedalaman potong berkaitan langsung dengan efisiensi dari proses pemakanan. Semakin besar kedalaman potong maka laju produksi juga akan semakin besar. Namun, besarnya kedalaman potong bergantung juga pada kekuatan dari pahat dan juga kekuatan dari material benda kerja.

Pada jenis-jenis pahat tertentu, terdapat besaran kedalaman potong yang direkomendasikan oleh supplier pahat tersebut. Namun, yang perlu dipertimbangkan juga adalah kedalaman potong yang lebih kecil umumnya akan menghasilkan *surface finish* yang baik dan akan memperpanjang umur pahat.

2.9 Safety Factor / Faktor Keamanan

Faktor keamanan merupakan suatu angka yang mempengaruhi keamanan suatu komponen. Semakin besar angka ini, maka semakin aman komponen tersebut. Semakin rendah angka ini, semakin rawan resiko yang tidak diinginkan (mulur atau patah). Akan tetapi, angka keamanan yang tinggi berdampak pada dimensi komponen yang besar dan harga material yang semakin tinggi. Penentuan angka keamanan dipengaruhi beberapa hal seperti material, proses pebuatan, tipe pembebanan, kondisi kerja, dan bentuk komponen.

Faktor keamanan dapat ditulis sebagai berikut :

 $SF = \frac{Tegangan\ Ultimate}{Tegangan\ Kerja}$

Untuk material ulet yang diketahui tegangan luluh, maka faktor keamanannya adalah :

 $SF = \frac{Tegangan Luluh}{Tegangan Kerja}$

Faktor keamanan yang disarankan dijabarkan pada Tabel 2.7

Tabel 2.7 Safety Factor / Faktor Keamanan (Deutschman, 1975)

NO	Faktor Keamanan	Keterangan		
1	N = 1,25 - 1,5	Data material sangat akurat, jenis		
		pembebanan pasti, dan		
		perhitungan tegangan akurat		
2	N = 1.5 - 2	Data material cukup baik, kondisi		
		lingkungan stabil, dan beban serta		
		tegangan yang terjadi dihitung		
		dengan baik		
3	N = 2,0-2,	Material pada umumnya,		
		dioperasikan pada lingkungan		
		normal, tegangan dan beban dapat		
		dihitug dengan material		
4	N = 2.5 - 3	Data material kurang baik, atau		
		material getas dengan pembebanan		
		dan lingkungan rata – rata		
5	N = 3 - 4	Material belum teruji, dengan		
		pembebanan, dan lingkungan rata		
		– rata		
6	Beban bolak – balik (berulang – ulang) : angka – angka			
	diatas dapat digunakan tetapi dengan endurance limit			
	sebagai significant strength			
7	Beban impact: angka – angka diatas dapat digunakan			
	tetapi harus memperhatikan faktor impact			
8	Material getas : angka – angka diatas dapat digunakan dan			
	dikalikan dua untuk r	dikalikan dua untuk material		

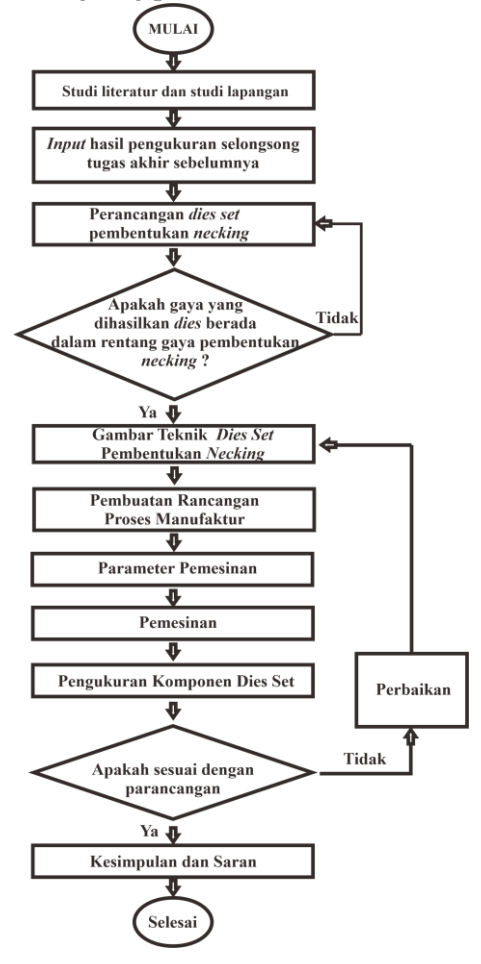
Pada beban bolak – balik, hubungan endurance limit (Se) dengan UTS (Ultimate Tensile Strength) dipersamaankan:

$$S_e = 0.5 \times UTS$$

BAB 3 METODOLOGI PENELITIAN

3.1 Diagram Flow Chart

Berikut diagram alur pengerjaan tugas akhir perancangan dies set necking selongsong peluru kaliber 20mm :



Gambar 3.1 Diagram Alir Tugas Akhir Dies set necking

3.2 Langkah – Langkah Penelitian

Berikut proses pembuatan *dies necking* selongsong peluru kaliber 20mm dengan beberapa tahapan sebagai berikut :

3.2.1 Studi Literatur dan Studi Lapangan

Studi literatur dan lapangan merupakan langkah awal dalam pengerjaan tugas akhir dan berikut beberarapa langkah dalam melakukan studi literatur :

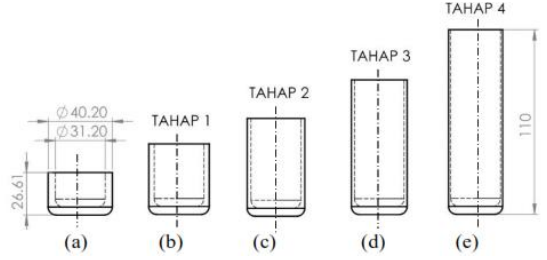
- Mencari dan mempelajari penelitian penelitian sebelumnya yang terkait.
- 2. Mempelajari dasar teori mengenai proses *necking* selongsong peluru.
- 3. Mencari selongsong peluru yang telah melalui proses *deep drawing* dan *ironging* sebelumnya.
- 4. Mempelajari spesifikasi *dies* yang sesuai untuk proses *necking*.
- 5. Mempelajari material yang sesuai untuk *dies* proses *necking*.

3.2.2 Pengukuran Selongsong Hasil *Ironing* dan Press Tool.

Untuk melanjutkan dalam proses *necking* tentu memerlukan ukuran geometri dari hasil proses *ironing* sebelumnya sebagai berikut:

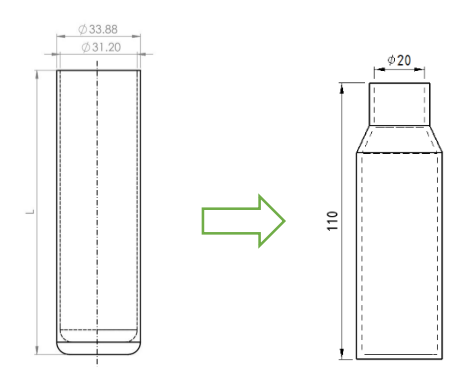
3.2.2.1 Pengukuran Selongsong Hasil Ironing

Dari penelitian sebelumnya, telah berhasil memproduksi selongsong dengan proses *ironing* dari *sheet* metal menggunakan *dies* set *ironing*. Penelitian tersebut telah berhasil membuat *set dies ironing* dalam proses pembuatan cup melalui proses *deep drawing* hingga pembentukan selongsong menggunakan proses *ironing*. Sehingga menjadikan bahan baku untuk pembuatan *necking* di tahap selanjutnya, hingga terbentuk selongsong peluru dengan kaliber 20mm. Dari hasil pengukuran yang dilakukan, didapatkan dimensi selonsong dari proses *ironing* sebagai berikut gambar 3.2



Gambar 3.2 (a) Cup bahan proses *ironing* (b) Ilustrasi hasil *ironing* tahap I (c) Ilustrasi hasil *ironing* Tahap 2 (d) Ilustrasi hasil *Ironing* tahap 3 (e) Ilustrasi hasil *Ironing* tahap 4.

Hasil pengukuran didapatkan selongsong dari proses *ironing* dengan diameter luar sebesar 33,88 mm, diameter dalam 31,24 mm, dan tinggi selongsong sebesar 110 mm.



Gambar 3.3 Dimensi Hasil Pengukuran Proses *Ironing* Tahap 4 menjadi *necking* dengan L = 110 mm

3.2.2.2 Pengukuran Press Tool

Proses pembentukan selongsong peluru kaliber 20mm tentu tidak akan luput dari penggunaan mesin *press tool* yang ada di jurusan Teknik Mesin ITS sesuai dengan penelitian sebelumnya yang menggunakan spesifikasi mesin yang sama. Press tool digunakan sebagai bagian yang mendukung proses pembentukan *necking* pada selongsong peluru. *Press Tool* terdiri dari *bed* yang merupakan tempat *dies* dan benda kerja diletakkan, *Ram* lengan pengarah, dan piston hidrolik yang digunakan untuk menggerakan punch ketika proses *necking* berlangsung. Pengukuran *press tool* yang telah dimanufaktur dengan rancangannya, serta hasil pengukuran tersebut digunakan untuk merancang *diesironing* yang sesuai dengan *press tool* tersebut. Hasil pengukuran yang dilakukan didapatkan dimensi sebagai berikut:

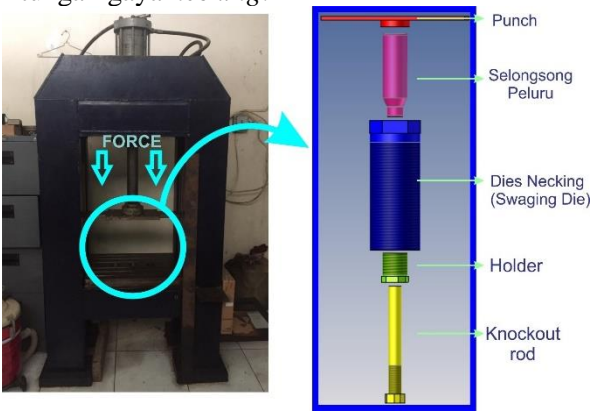
Bed =
$$45 \times 450 \times 500 \text{ mm}$$

Ram = $20 \times 200 \times 300 \text{ mm}$ Panjang *Stroke Hidrolik* = $\pm 400 \text{ mm}$

3.2.3 Perancangan Dies Necking

Setelah mengetahui ukuran dari selongsong yang dihasilkan dari proses tahapan *Ironing* maka langkah selanjutnya adalah perancangan *dies necking* yang akan membentuk *necking* pada selongsong peluru dengan memiliki sesuaian sesak dengan martil peluru (*jacketed Bullet*). *Diesnecking* yang menyesuaiakan ukuran dari selongsong tahap *ironing*, ukuran martil peluru pada *necking* dengan ukuran kaliber 20 mm dan mesin press tool yang tersedia . Adapun tahapan – tahapan yang dilakukan adalah :

- 1. Metode yang digunakan adalah *deep drawing* dengan proses *cold working* dimana proses pembentukan necking dibawah suhu rekristalisasi
- 2. Perhitungan ketebalan *dies* yang diperlukan untuk proses *necking*.
- 3. Disain *dies set necking* yang sesuai dengan ukuran selongsong hasil *ironing*.
- 4. Perhitungan gaya *press* yang berakibat pada selongsong.
- 5. Perhitungan gaya *necking*.

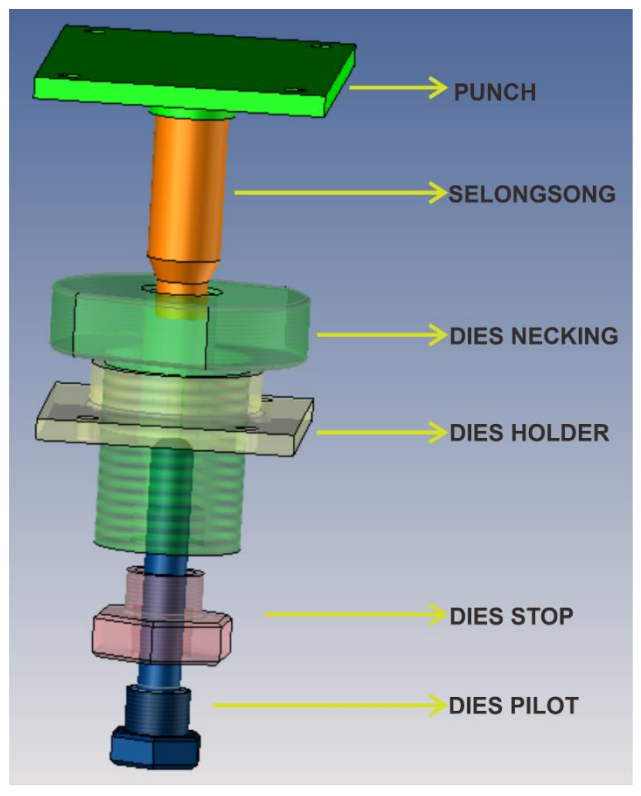


Gambar 3.4 Rancangan dienecking untuk mesin press tool

BAB 4 PERANCANGAN DIES SET NECKING

4.1 Perancangan Dies Set Necking

Perancangan *dies set necking* yang sesuai dengan mesin *press tool* yang sudah dibuat di Departemen Teknik Mesin ITS, seperti yang disebutkan pada lampiran A Gambar 7.1 Sedangkan *set-up* dari pembuatan leher *(neck)* dari selongsong peluru dengan rancangan *dies* dan pendukungnya dapat dilihat pada Gambar 4.1.



Gambar 4.1 Rancangan Dies Necking

4.2 Diameter Dies Necking

Dalam penentuan diameter rancangan dies necking didapatkan dengan perhitungan manual dengan meggunakan persamaan sebagai berikut.dan diameter yang ditentukan seperti pada gambar Gambar 4.2

 $D_{\text{Dies Pilot}} = 20 \text{ mm}$ (ditentukan berdasarkan pembentukan kaliber 20mm)

T = 1,34mm (tebal material selongsong proses ironing tahap 4)

$$D_{dies} = D_{Dies\ Pilot} + 2_T + 0,05mm$$
 --- Persamaan 2.7

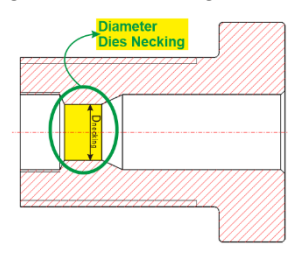
$$D_{dies} = 20 mm + (2 \times 1, 34) + 0,05mm$$

 $D_{dies} = 22,73 \approx 23mm$

Dari perhitungan manual diatas didapatkan diameter dies necking dalam pembentukan necking sebesar $22,73 \approx 23$ mm.

4.3 Tinggi Dies Necking

Penentuan tinggi dies necking dengan perhitungan manual seperti pada persamaan dibawah dan tinggi yang ditentukan adalah pada Gambar 4.3 dengan warna kuning.

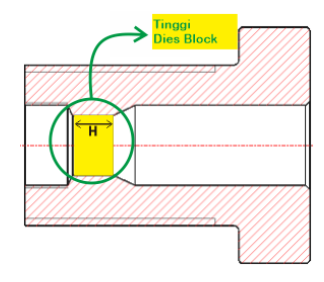


Gambar 4.2 Diameter Dies Necking 22,73 ≈ 23 mm

T = 1,34 (tebal material selongsong proses ironing tahap 4)

a,b = 22,73mm (dimensi bukaan dies) C = constanta material uji (tabel 2.1)

$$H = (10 + 5T + 0, 7\sqrt{a + b})C$$
 ---Persamaan 2.8
 $H = (10 + (5 \times 1, 34) + 0, 7\sqrt{22,73 + 22,73})1,0$
 $H = 17,17 \ mm$

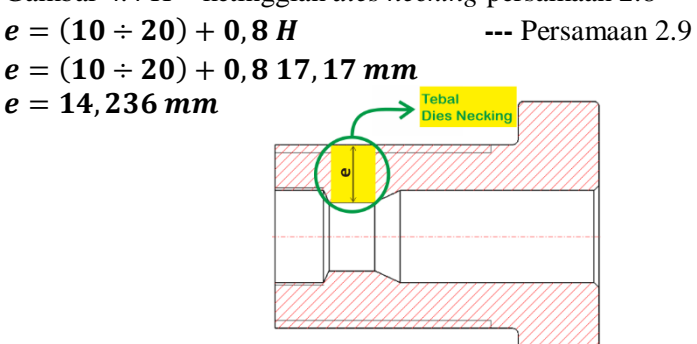


Gambar 4.3 Tinggi Dies Necking

Dari perhitungan diatas didapatkan tinggi *dies necking* sebesar 17,17 melainkan dalam desain tinggi *dies* 23mm dikarenakan sebagai pengamanan bila *punch* terlalu jauh dalam penekanan agar tidak terjadi bending pada selongsong.

4.4 Tebal Dies Necking

Tebal *dies necking* secara perhitungan manual dengan persamaan dibawah dan ditunjukkan tebal pada *dies necking* pada Gambar 4.4 H = ketinggian *dies necking* persamaan 2.8



Gambar 4.4 Tebal *Dies Necking* 14,236mm

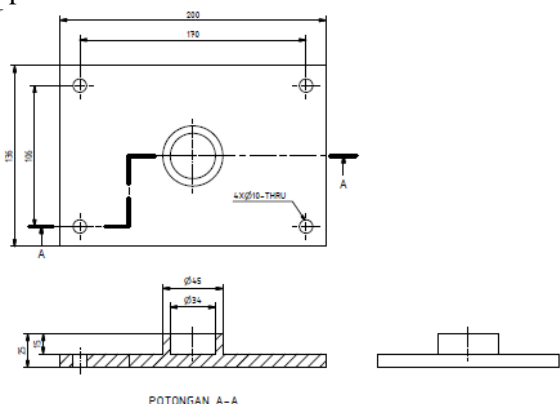
Dari perhitungan diatas didapatkan tebal *dies necking* 14,236mm, dalam penentuan tebal tidak di ijinkan lebih kecil dari perhitungan manual untuk menghindari terjadinnya kerusakan saat proses *necking* berlangsung.

4.5 Dimensi Dan Material Komponen Utama Maupun Komponen Penunjang.

Dalam proses perancangan dies set necking perlu memperhatikan komponen – komponen yang akan mempengaruhi dimensi dan goemetri dari dies set necking. Komponen – komponent tersebut adalah Punch, Dies Necking, Dies Holder, Dies Stop, Dies Pilot. Dari komponen tersebut di bagi menjadi 2 yaitu komponen utama dan komponen pendukung. Komponen utama dalam pembentukan necking antara lain adalah Dies Necking, Dies Pilot, dan Dies Stop, pendukurng komponen dalam pembentukan necking adalah Dies Holder dan punch. Komponen pendukung ini merupakan komponen yang menghubungkan komponen utama dengan mesin press tool Teknik Mesin ITS.

4.5.1 Dimensi dan Material Punch.

Punch merupakan bagian alat pemesinan yang berfungsi sebagai penekan untuk selonsong peluru kaliber 20mm yang dipasang pada mesin *press* Teknik Mesin ITS, material yang digunakan adalah *alumunium* 6061 .Rancangan *punch* dapat dilihat seperti pada Gambar 4.5.

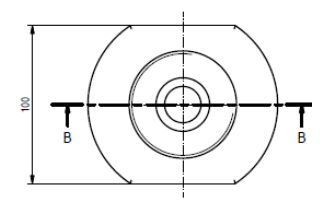


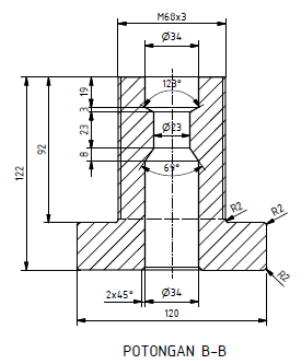
Gambar 4.5 Dimensi *Punch*

4.5.2 Dimensi dan Material Dies Necking

Dies merupakan cetakan untuk pembentukan benda kerja. Dies Necking merupakan bagian alat pemesinan yang fungsi

utamanya untuk melakukan proses *necking* pada selongsong peluru kaliber 20mm. Material yang digunakan *dies necking* adalah *AISI 416 Stainless Steel*. Rancangan *dies necking* yang dapat dilihat seperti pada Gambar 4.6.

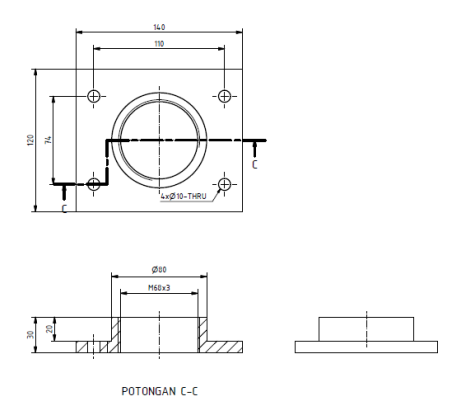




Gambar 4.6 Dimensi Dies Necking

4.5.3 Dimensi dan Material Dies Holder

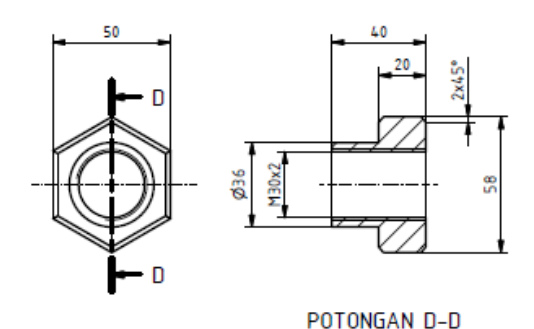
Dies Holder merupakan bagian alat pemesinan fungsi sebagai penahan dies necking dan juga sebagai penghubung antara dies necking dengan Bed pada mesin Press Tool. Dengan dimensi yang sudah di sesuiakan pada ukuran bed mesin Press Tool di Teknik Mesin ITS ditunjukkan pada Gambar 7.2 lampiran A. Material yang digunakan dies holder adalah AISI 416 Stainless Steel .Dies Holder yang sudah dirancang seperti pada Gambar 4.7



Gambar 4.7 Dimensi Dies Holder

4.5.4 Dimensi dan Material Dies Stop

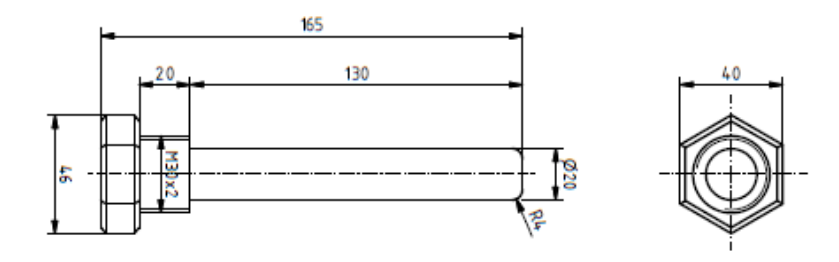
Dies Stop merupakan bagian alat pemesinan dengan fungsi sebagai penahan proses necking pada selongsong peluru selama proses press berlangsung. Untuk mendapatkan hasil necking yang diinginkan. Material yang digunakan dalam pembuatan dies stop adalah AISI 416 Stainless Steel. Sedangkan untuk dimensi yang mengikuti ukuran pada dies necking pada Gambar 4.6 sabagai berikut yang ditunjukkan pada Gambar 4.8



Gambar 4.8 Dimensi Dies Stop

4.5.5 Dimensi dan Material Dies Pilot.

Dies Pilot merupakan bagian alat pemesinan dengan fungsi sebagai pengarah untuk terjadingan necking pada selongsong peluru. Yang terletak pada center di dies necking maupun di center pada selonsong peluru. Dimana perannya sebagai pengarah sehingga akan berdampak gaya yang cukup besar pada dies pilot ini. Dimensi menyesuaikan dengan ukuran kaliber yang di inginkan yaitu 20mm pada tabung yang panjang. Tidak hanya pengarah pembentukan necking melainkan juga untuk melepaskan selonsong pada dies necking. Material yang digunakan adalah AISI 416 Stainless Steel. Dimensi ditunjukkan seperti pada Gambar 4.9.



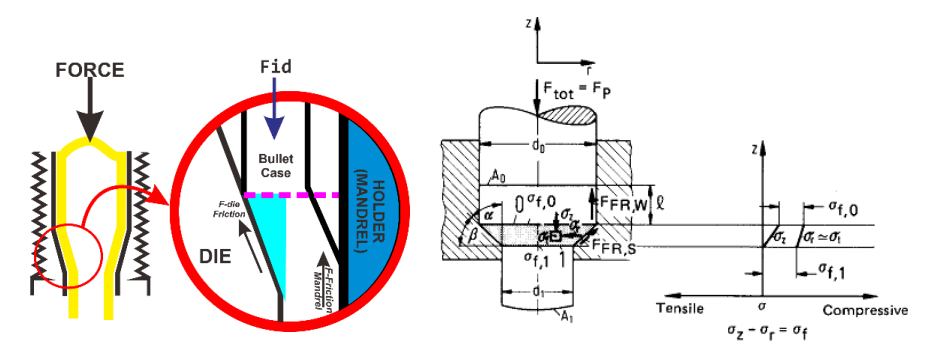
Gambar 4.9 Dimensi Dies Pilot

4.6 Analisa Kekuatan Material

Adapun perhitungan manual dan simulasi analisa kekuatan material dari *dies set* pembentukan *necking* selongsong peluru kaliber 20mm sebagai berikut.

4.6.1 Perhitungan Manual.

Perhitungan ditunjukkan dalam menentukan nilai tegangan yang didapatkan dan dapat disimulasikan untuk menentukan nilai kekuatan material dengan bantuan *software* CAD dengan metode *von mises* dari *dies set necking* untuk selongsong peluru kaliber 20 mm dapat dibagi dalam beberapa tahap sebagai berikut :



Gambar 4.10 Free Body Diagram Proses Necking

$$F_{id} = A_1 \times K_{str,m} \times \varphi_{max}$$
 --- Persamaan 2.3
 $F_{Fr,S} = \frac{2 \cdot K_{str,m} \cdot \varphi_n \cdot \mu_s \cdot A_1}{sin2\alpha}$ --- Persamaan 2.4
 $F_{sh} = \frac{1}{2} tan\alpha \cdot K_{str,m} \cdot A_1$ --- Persamaan 2.5
 $F_{FR,M} = A_1 \times K_{str,m} \times \varphi_{max} \frac{\mu}{tan\alpha}$ --- Persamaan 2.6

Dimana:

F_{id} : Gaya ideal (N)

F_{Fr, S}: Gaya gesek pada dinding dies necking (N)

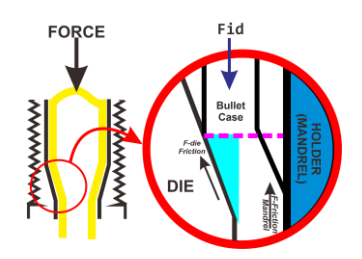
F_{sh}: Gaya *Shear* pada selongsong (N)

F_{FR,M}: Gaya gesek pada dinding dies pilot (N)

4.6.1.1 Gaya Deformasi:

Untuk menentukan gaya pembentukan *necking* pada selongsong peluru kaliber 20mm dilakukan perhitungan secara manual sebagai berikut.

$$F_{id} = A_1 \times K_{str.m} \times \varphi_n$$
 --- Persamaan 2.3



Gambar 4.11 Free Body Diagram Fid

Untuk mendapatkan Luas Penampangan awal Ao ditunjukkan pada gambar 4.9 digunakan persamaan berikut :

$$A_0 = \frac{\pi}{4} \times (\emptyset A 1^2 - \emptyset A 0^2)$$

$$A_0 = \frac{\pi}{4} \times (33,88^2 - 31,20^2)$$

$$A_0 = 136,98 \ mm^2$$

Di dapatkan nilai dari Luas Penampang A0 yaitu A0 = 136,98 mm², Sehingga untuk menentukan luas penampang A1 dengan diameter yang ditentukan sesuai dengan gambar 4.10 menggunakan persamaan Sebagai berikut.

$$A_{1} = \frac{\pi}{4} \times (\emptyset Luar Necking^{2} - \emptyset Dalam Necking^{2})$$

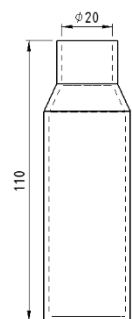
$$A_{1} = \frac{\pi}{4} \times (22,6^{2} - 20,0^{2})$$

$$A_{1} = 86,99 mm^{2}$$

$$A_{2} = 86,99 mm^{2}$$



Gambar 4.12 Dimensi Cup Hasil Proses Ironing Tahap 4



Gambar 4.13 Dimensi Hasil Proses Necking

Luas penampang akhir A₁ diperoleh hasil 86,99 mm². Dari Hasi perhitungan A₁ dan A₀ diperuntukkan dalam mendisain *Dies Necking* dimana hasil perhitungannya untuk menentukan luas *dies* dan ketebalan *dies*.

True strain untuk mengetahui regangan yang terjadi secara maksimum pada selongsong, dapat dihitug menggunakan persamaan sebagai berikut.

True Strain $(\boldsymbol{\varphi}_n)$

$$\varphi_n = \ln \frac{A_0}{A_1}$$
 --- Persamaan 2.7
$$\varphi_n = \ln \frac{136,98 \ mm^2}{86,99 \ mm^2}$$

$$\varphi_n = \mathbf{0},\mathbf{454}$$

Di dapatkan hasil dari perhitungan sebesar *True Strain* (φ_n) = 0,454 dari hasil yang didapatkan merupakan hasil regangan maksimal dari peritungan manual yang dialami material *CuZn30*.

Karena material yang digunakan dalam selongsong peluru adalah *CuZn30* maka diperlukan Diagram *flow stress* Material *CuZn30*, dan didapatkan nilai *flow stress CuZn30* yaitu K_{str1} sebesar 880N/mm² seperti pada Gambar 2.11, dapat ditentukan menggunakan persamaan sebagai berikut

$$K_{str1} = K_{str100\%} \times \varphi_n^n$$
 --- Gambar 2.11
 $K_{str1} = 880 \times 0,454^{0,433}$
 $K_{str1} = 625,15 \frac{N}{mm^2}$

Nilai dari Kstr1 didapatkan sebesar 625,15 N/mm² dimana nilai *flow stress* tersebut yang terjadi pada material *CuZn30* pada regangan maksimum dari proses necking.

Sedangkan nilai Kstr0 didapatkan sebagai berikut.

$$K_{str0} = K_{str} (dari Irroning tahap 4)$$

 $K_{str0} = 534,05 \frac{N}{mm^2}$

Flow stress yang didapatkan sebesar 534,05 N/mm², nilai tersebut adalah flow stress yang dimana nilai regangan

maksimumnya di dapatkan saat proses *ironing* tahap 4 pada penelitian sebelumnya oleh Baskara.

Sehingga dapat di cari nilai *flow stress* rata – rata (Kstr,m) untuk menentukan gaya pembentukan *necking* (Fid) yang terjadi dengan persamaan berikut.

Average flow stress
$$K_{str,m}$$

$$K_{str,m} = \frac{K_{str1} + K_{str0}}{2}$$

$$K_{str,m} = \frac{625,15 + 534,05}{2}$$

$$K_{str,m} = 579,6 \frac{N}{mm^2}$$

Dapat disimpulkan nilai Kstr,m (*Average flow stress*) = 579,6 N/mm², sehigga dapat ditentukan gaya pembentukan *necking* (F_{id}) dengan menggunakan persamaan sebagai berikut, dimana nilai A1 = 86,99 N/mm² didapatkan dari Luasan penampang saat necking, Kstr,m dari *average flow stress* dari material CuZn30 dan φ_n true strain sebesar = 0,454.

$$F_{id} = A_1 \times K_{str,m} \times \varphi_n$$

 $F_{id} = 86,99 \, mm^2 \times 579,6 \, \frac{N}{mm^2} \times 0,454$

$$F_{id} = 22890,40 N$$

Dari perhitungan diatas didapatkan nilai F_{id} (gaya ideal) sebesar 22890,4 N. Nilai tersebut adalah gaya yang diperlukan untuk pembentukan selongsong.

Validasi hasil perhitungan F_{id} pada material CuZn30 yaitu, nilai tegangan sebagai berikut.

$$\frac{Fid}{A1} = K_{str,m} \times \varphi_n = 263,13 MPa$$

Dari hasil perhitungan diatas nilai tegangan sebesar 263,13 Mpa, sementara nilai dari CuZn30 rentan yield sampai dengan UTS dari material sebesar Yield Strength = 113 Mpa dan UTS = 339 Mpa

1 aber 4.1 Vandasi ililar Tegangan dari Cuzii50				
Yield Strength	UTS	Perhitungan Manual		
CuZn30	CuZn30	Tegangan (F_{id}/A_1)		
113MPa	339 MPa	263,13 MPa		

Tabel 4.1 Validasi nilai Tegangan dari CuZn30

Dapat disimpulkan hasil perhitungan manual nilai tegangan dari CuZn 30, masih diatas *yield strength* dimana material tidak akan kembali kebentuk semula (*plastis*), dan dibawah nilai UTS sehingga material tidak akan mengami *breaking*.

4.6.1.2 Analisa Tegangan Pada Dies Necking

Pada tahap pengujian material *dies necking* dilakukan perhitungan manual untuk mengetahui Gaya gesek pada *dies necking* (F_{Fr,S}), didapatkan nilai dari *average flow stress* sebesar $K_{str,m}=579.6~\frac{N}{mm^2}$, nilai *True Strain* sebesar $\varphi_n=0.454$ dan luasan $A_1=86.99~mm^2$ berdasarkan Tabel 7.2 pada lampiran A nilai dari μ antara *brass* dan *steel* sebesar $\mu_s=0.07$, sehingga dapat dicari menggunakan persamaan berikut sebagai berikut.

$$F_{Fr,S} = \frac{2 \cdot K_{str,m} \cdot \varphi_n \cdot \mu_s \cdot A_1}{sin2\alpha}$$
 --- Persamaan 2.4

Gambar 4.14 Free Body Diagram F_{Fr,S}

$$F_{Fr,S} = \frac{2 \cdot 579,6 \frac{N}{mm^2} \cdot 0,454 \cdot 0,07 \cdot 86,99 mm^2}{sin(2 \times 34,5^0)}$$
$$F_{Fr,S} = 3432,65 N$$

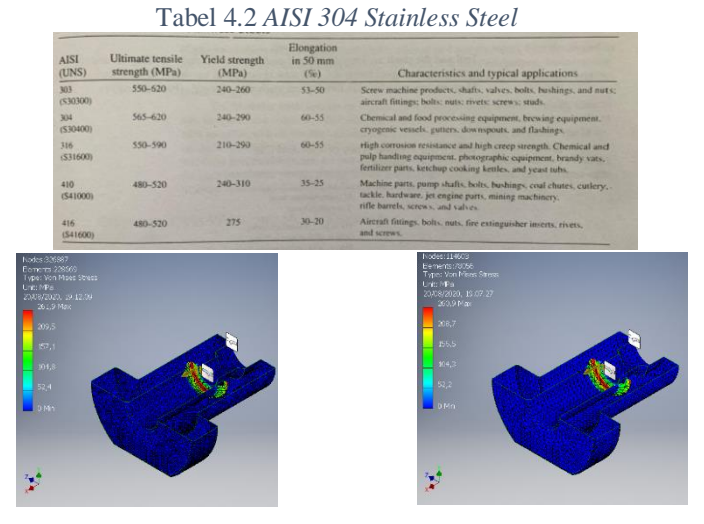
Dari hasil perhitungan manual didapat nilai gaya gesek $F_{Fr,S}$ yang terjadi pada material *CuZn30* (selongsong) dengan *dies necking* sebesar $F_{Fr,S} = 3432,65 \text{ N}$.

Sedangkan gaya shear pada selongsong ini untuk menentukan terjadinya bending pada selongsong ditentukan dengan persamaan berikut dimana nilai dari $A_1 = 86,99 \text{ mm}^2$ dan $K_{\text{str.m}} = 579,6 \text{ N/mm}^2$.

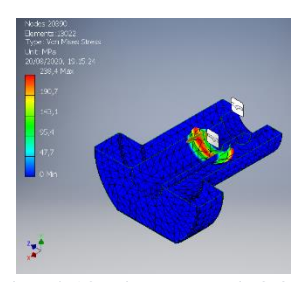
$$F_{sh} = \frac{1}{2} tan\alpha \cdot K_{str,m} \cdot A_1$$
 --- Persamaan 2.5
 $F_{sh} = \frac{1}{2} tan34,5^0 \cdot 579,6 \frac{N}{mm^2} \cdot 86,99 mm^2$
 $F_{sh} = 17326,14816 N$

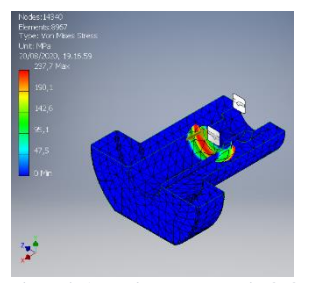
• Simulasi Tegangan Dies Necking

Kemudian dilakukan analisa tegangan pada *dies necking* menggunakan metode *Von Mises* dengan gaya sebesar $\frac{Fid}{A1}$ = **263,13** *MPa*, $F_{FR,M}$ = **2331,4026** dan $F_{Fr,S}$ + F_{sh} = **20758,8** *N* didapatkan hasil seperti pada gambar 4.15 – 4.19.



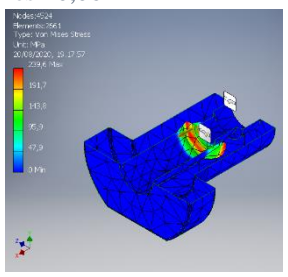
Gambar 4.16 Ukuran Mesh 0,02mm Gambar 4.15 ukuran Mesh 0,03mm





Gambar 4.18 Ukuran Mesh 0,06mm

Gambar 4.17 Ukuran Mesh 0,07mm

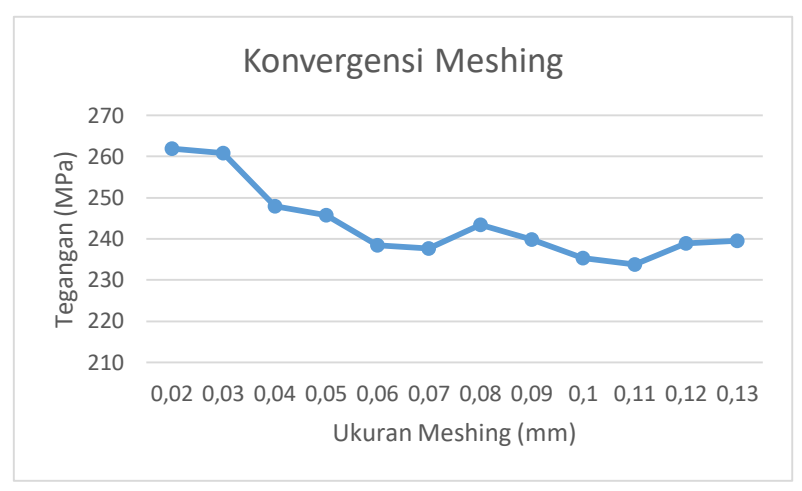


Gambar 4.19 Ukuran Mesh 0,13mm

Berikut tabel konvergensi meshing, dimana Dalam aplikasi, salah satu rekomendasi untuk menentukan jumlah elemen dengan akurasi solusi yang bisa diterima dalam suatu analisis elemen hingga adalah dengan melakukan **uji konvergensi** (convergence test) terhadap solusi yang diperoleh

Tabel 4.3 Konvergensi Meshing Ukuran(mm) dan Tegangan(MPa)

No	Ukuran Mesh (mm)	Tegangan (MPa)
1	0,02	261,9
2	0,03	260,9
3	0,04	247,9
4	0,05	245,7
5	0,06	238,4
6	0,07	237,7
7	0,08	243,5
8	0,09	239,9
9	0,1	235,3
10	0,11	233,8
11	0,12	238,9
12	0,13	239,6



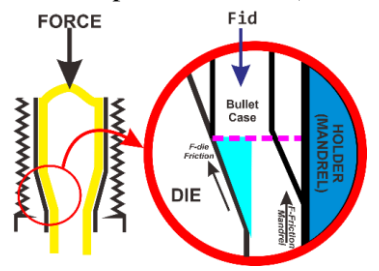
Grafik 4.1 Ukuran meshing terhadap tegangan (MPa)

Pada Gambar 4.16 dengan ukuran mesh 0,02 didapatkan analisa tegangan sebesar 261,9 MPa, Gambar 4.15 dengan ukuran mesh 0,03mm didapatkan analisa tegangan sebesar 260,9MPa, Gambar 4.18 dengan ukuran mesh 0,06mm didapatkan analisa tegangan sebesar 238,4 Gambar 4.17 dengan ukuran mesh 0,07mm didapatkan analisa tegangan sebesar 237,7MPa, Gambar 4.19 dengan ukuran mesh 0,13mm didapatkan analisa tegangan sebesar 239,6MPa. dapat disimpulkan dari Grafik 4.1 dengan semakin kecil nilai dari meshing maka semakin besar nilai tegangan yang didapatkan, dan tegangan kritis semakin terkonsentrasi, nilai tegangan tertinggi terletak pada konsentrasi dengan warna merah pada simulasi analisa tegangan. Pemilihan mesh sebagai analisa tegangan dies necking ditentukan ukuran mesh 0,06mm dikarenakan tegangan yang didapatkan cukup stabil hingga ukuran mesh 0,1mm

Nilai *yield Strength* material *Stainless Steel 416* sebesar **275 Mpa** pada tabel 4.2 Dari hasil analisa tegangan pada Gambar 4.18 ukuran mesh 0,06mm didapatkan nilai tegangan maksimum pada *dies necking* adalah sebesar **238,4 Mpa**. Sehingga material tersebut aman untuk digunakan

4.6.1.3 Analisa Tegangan Pada Dies Pilot

Untuk menahan gaya total mesin, *dies stop* di rancang dapat menahan nilai dari F_{total} , maka diperlukan perhitungan $F_{FR,M}$ (gaya gesek pada mandrel) yang berpengaruh apakah *dies pilot*. Dies pilot diharapkan dapat menahan beban tersebut, menahan tegangan sebesar $F_{FR,M}$ untuk mendapatkan nilai $F_{FR,M}$ sebagai berikut.



Gambar 4.20 Free Body Diagram F_{FR,M}

$$F_{FR,M} = A_1 \times K_{str,m} \times \varphi_{max} \frac{\mu}{tan\alpha}$$
 --- Persamaan 2.6

Dimana:

$$\begin{array}{lll} \mu & = 0{,}07 & & --- \ Tabel \ 7.2 \ Lampiran \ A \\ A_1 & = 86{,}99 \ mm^2 \\ \Phi_n & = 0{,}454 \\ K_{str,m} & = 579{,}6 \ N/mm^2 \end{array}$$

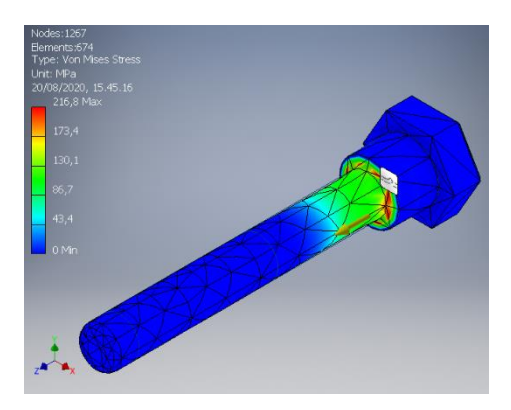
$$F_{FR,M} = 86,99 \times 579,6 \times 0,454 \frac{0,07}{\tan 34,5^0}$$

 $F_{FR,M} = 2331,4026$

Dari perhitungan manual diatas dapat disimpulkan gaya gesek $F_{FR,M}$ yang terjadi antara material CuZn30 (selongsong) dengan $dies\ pilot$ yaitu $F_{FR,M}=2331,4026\ N$

• Simulasi Tegangan Dies Pilot

Kemudian dilakukan analisa tegangan pada *dies necking* menggunakan metode *Von Mises* dengan gaya sebesar F_{id} + $F_{Fr,M}$ + F_{sh} = 22890,4 + 2331,4026 + 17326,14816 didapatkan hasil 42547,95 N seperti pada Gambar 4.21



Gambar 4.21 Analisa Tegangan Pada *Dies Pilot* Menggunakan Metode *Von Mises*

Yield Strength material Stainless Steel 416 sebesar 275 Mpa pada Tabel 7.3. Dari hasil analisa tegangan didapatkan nilai tegangan maksimum pada dies pilot adalah sebesar 216,8 Mpa. Sehingga material tersebut aman untuk digunakan.

4.6.1.4 Analisa Tegangan Pada Dies Stop

Dikarenakan untuk mengetahui nilai Ftot di butuhkan Fid, FFrS, FSh., maka nilai dari $F_{id} = 22890,40 \, N,$ $F_{Fr,S} = 3432,65 \, N,$ dan $F_{sh} = 17326,14816 \, N$ dapat dicari dengan menggunakan persamaan sabagia berikut.

$$\begin{aligned} \mathbf{F_{tot}} &= \mathbf{F_{Id}} + \mathbf{F_{Fr,s}} + \mathbf{F_{FR,M}} + \mathbf{F_{Sh}} & --- \text{ Persamaan 2.2} \\ \textbf{Ftot} &= \mathbf{22890,40} \ N \ + \ \mathbf{3204,65} \ N \ + \ \mathbf{2334,4026} \ N \\ &+ \ \mathbf{17326,14816} \ N \end{aligned}$$

Ftot = 45755,60076 N

Dari hasil perhitungan manual didapat nilai Ftot yang terjadi pada *dies stop* sebesar $F_{tot} = 45755,60076 \, N$. Nilai dari Ftot juga merupakan nilai dari kapasitas mesin yang digunakan. Sehingga gaya total pembentukan necking di konfersikan dalam ton sebagai berikut.

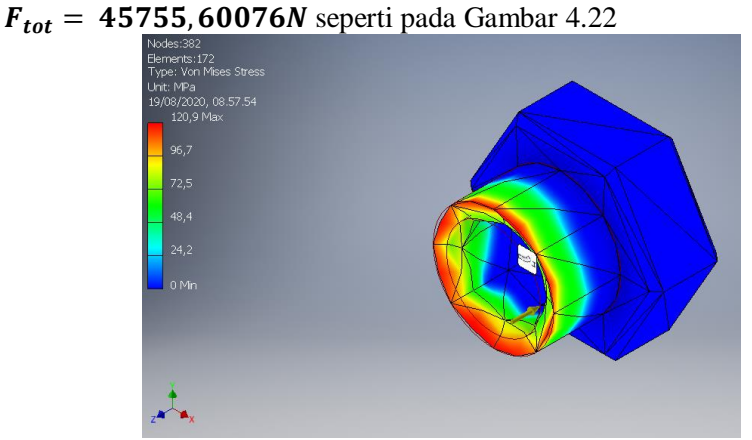
$$mFtot = \frac{Ftot}{g}$$

$$mFtot = \frac{45755,60076 N}{9,8 \frac{m}{s^2}} = 4668,938853 Kg$$
$$4668,938853 Kg = \frac{4668,938853}{1000} = 4,668 Ton$$

Kapasitas mesin $press\ tool\ di\ teknik\ mesin\ sebesar\ \pm 6\ ton\ seperti\ pada\ lampiran\ A\ sedangkan\ pada\ pembentukan <math>necking$ membutuhkan tonase 4,668 ton, sehingga kapasitas mesin masih dapat berfungsi dengan baik dalam pemberian pembebanan pada proses pembentukan necking.

• Simulasi Tegangan Dies Stop

Kemudian dilakukan analisa tegangan pada dies necking menggunakan metode *Von Mises* dengan gaya sebesar

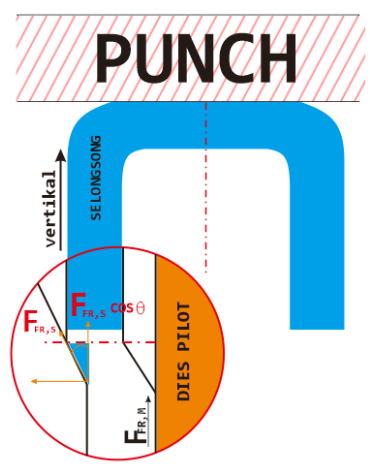


Gambar 4.22 Analisa Tegangan Pada *Dies Stop* Menggunakan Metode *Von Mises*

Dari hasil analisa tegangan didapatkan nilai tegangan maksimum pada *dies necking* adalah sebesar 120,9 Mpa. Sementara nilai dari *Yield Strength* material *Stainless Steel 416* sebesar 275 Mpa pada Tabel 7.3 sehingga material tersebut aman untuk digunakan.

4.6.1.5 Analisa Tegangan Pada Punch Plate

Sedangkan pengaruh gaya $F_{FR,S}$ vertikal dan Fsh selongsong terhadap punch dapat dilihat berdasarkan perhitungan dengan free body diagram pada Gambar 4.23



Gambar 4.23 Free Body Diagram *Buckling* Antara Selongsong Dengan Punch

Nilai dari $F_{FR,S}$ vertikal dapat ditentukan dengan persamaan sebagai berikut

 $F_{FR,S}vertical = F_{FR,S} \times COS\emptyset$

 $F_{FR,S}vertical = 3432,65 N \times COS34,5^{\circ}$

 $F_{FR,S}vertical = 2811,86 \text{ N}$

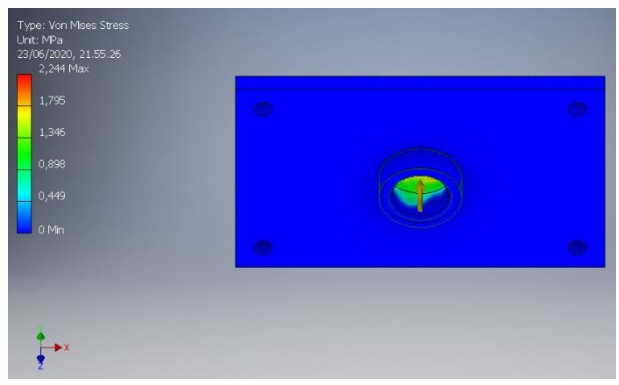
Dari hasil yang didapatkan FFR,S vertical sebesar 2811,36 N dan diketahui nilai dari Fsh sebelumnya didapatkan sebesar 25209,7 N sehingga total gaya yang diterima punch plate oleh selongsong dapat ditentukan dengan persamaan berikut.

 $F_{PUNCH\ PLATE} = F_{FR,S}vertical + F_{FR,M}$

 $F_{PUNCH\ PLATE} = 2811,36\ N + 2334,4026\ N$

 $F_{PUNCH\ PLATE} = 5145,7626\ N$

Dari hasil diatas dilakukan simulasi analisa tegangan pada punch plate menggunakan metode *von mises* dengan gaya sebesar $F_{PUNCH\ PLATE}=5145,7626\ N$ seperti pada Gambar 4.24.



Gambar 4.24 Analisa Tegangan pada *punch plate* menggunakan metode *Von Mises*

Dari hasil analisa tegangan didapatkan nilai tegangan maksimum pada *punch plate* adalah sebesar 2,244 MPa, sementara nilai *compressive strength* dari material alumunium 6061 yaitu sebesar 30 MPa pada lampiran A Tabel 7.3 Sehingga material tersebut aman digunakan.

4.6.1.6 Analisa Tegangan Pada Dies Holder

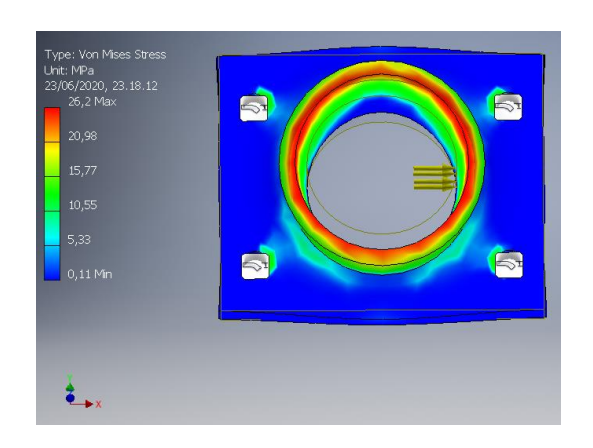
Perhitunga *dies holder* dilakukan dengan analisa tegangan yang terjadi dengan menggunakan persamaan sebagai berikut.

 $F_{FR,S}$ horizontal = $F_{FR,S} \times SIN\theta$

 $F_{FR,S}horizontal = 3432,65 N \times SIN34,5^{\circ}$

 $F_{FR,S}horizontal = 1968,89 N$

Dari hasil perhitungan diatas dilakukan analisa tegangan pada dies holder menggunakan metode von mises dengan gaya sebesar $F_{FR,S}$ horizontal = 1968,89 N seperti pada Gambar 4.25



Gambar 4.25 Hasil Simulasi Analisa Kekuatan Material Dies Holder

Dari Gambar 4.25 didapatkan tegangan maksimum ($\sigma_{maksimum}$) yang ditunjukkan dengan warna merah sebesar 26,2 MPa.

 σ_{Yield} material AISI 304 Stainless steel : 205 MPa [Tabel 7.3]

 $Se = 0.5 \times \sigma_{Yield}$

 $Se = 0.5 \times 205 MPa$

Se = 102,5 MPa

Karena $Se > \sigma_{maksimum}$, maka dies holder **aman** digunakan.

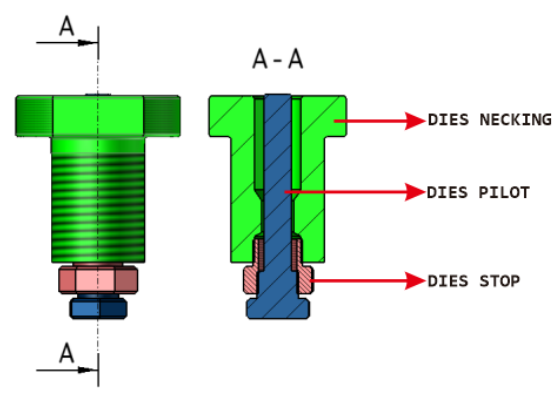
(Halama ini sengaja dikosongkan)

BAB 5 PEMBUATAN DIES NECKING

Dalam proses pembuatan *dies set necking* ini menggunakan pengerjaan konvensional, pembuatan *dies set necking* dibahas dalam bab ini dari rencana manufaktur hingga parameter pemesinannya dan dibagi menjadi dua tahap yaitu komponen utama *dies set necking* dan komponen penunjang *dies set necking* sebagai berikut.

5.1 Tahapan Pembuatan Komponen Utama *Dies*Necking Selongsong Peluru Kaliber 20mm

Proses manufaktur yang akan dibahas pada bab ini adalah proses pembuatan komponen – komponen utama dalam terjadinya necking (leher) selongsong peluru kaliber 20mm seperti dies necking sendiri, dies pilot dan juga dies stop. Rancangan Assembly dari komponen utama dies necking yang akan dibuat ditunjukkan pada Gambar 5.1



Gambar 5.1 Komponen Utama Pembentukan Necking Selongsong Peluru Kaliber 20mm

Dari hasil perhitungan Analisa Kekuatan Material pada bab sebelumnya, mekanisme proses pembuatan *dies necking* terdiri

dari 3 komponen penting dalam terwujudnya necking pada selongsong peluru, dimana komponen itu antara lain dies necking, dies stop, dan dies pilot. Dari 3 komponen itu untuk menentukan ukuran selongsong peluru kaliber harus mengganti 2 komponen, yaitu komponen dies pilot dan dies necking, dikarenakan penentuan kaliber di tinjau dari ukuran diameter dies pilot dan dies necking. Dalam pembahasan ini pembentukan selongsong peluru dengan kaliber 20mm, sehingga diameter dies pilot adalah 20mm. Sedangkan komponen punch, dies holder, dan dies stop masih bisa digunakan dalam berbagai proses necking. Pembentukan dies necking menggunkan metode swaging dies, dimana pembentukan perlu berkali kali untuk mendapaktkan hasil yang sempurna, dari ukurar kemiringan necking yang variasi.

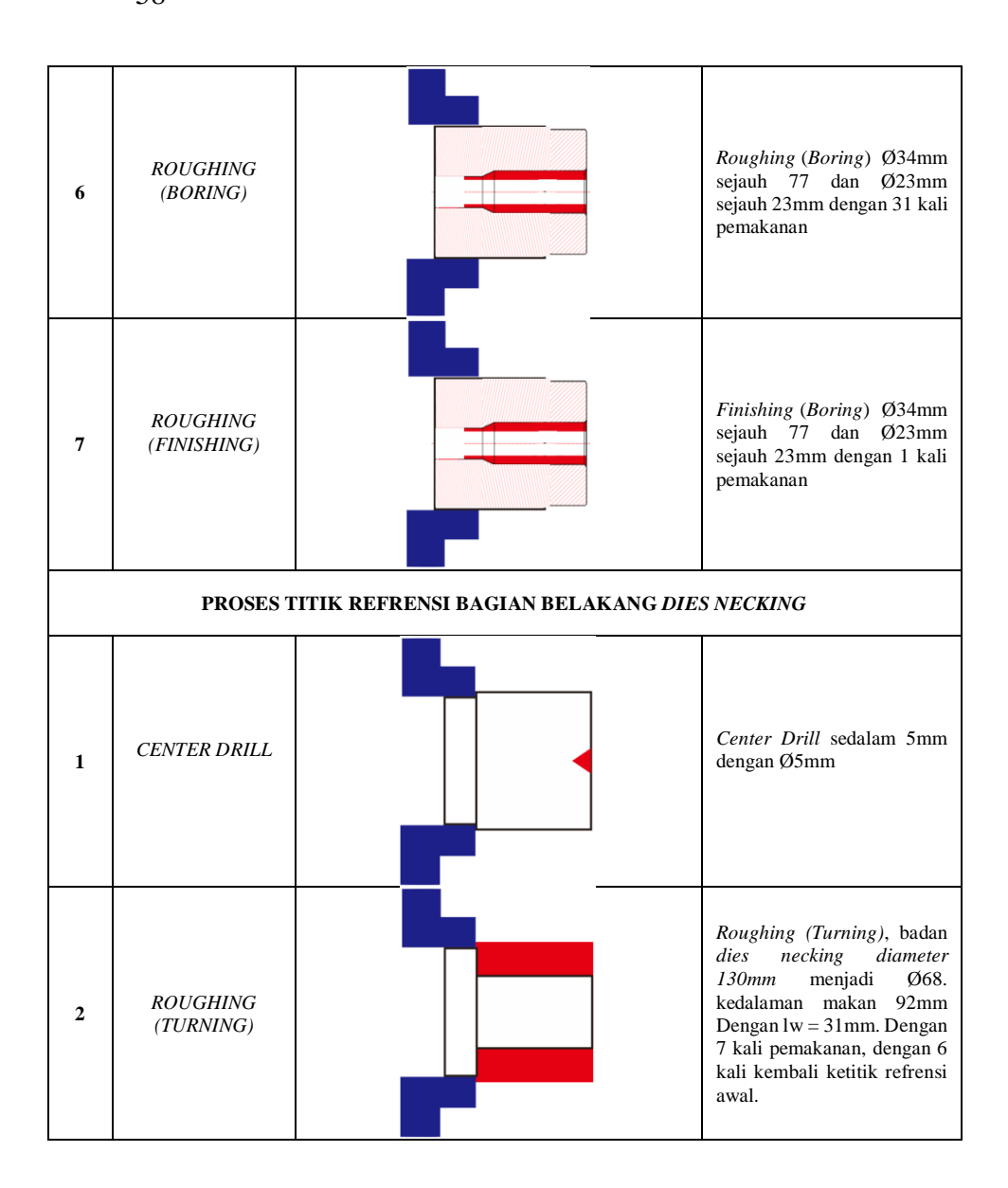
Berikut merupakan proses manufaktur yang dilakukan pada dies pembuatan *necking* pada selongsong peluru kaliber 20mm.

5.1.1 Dies Necking

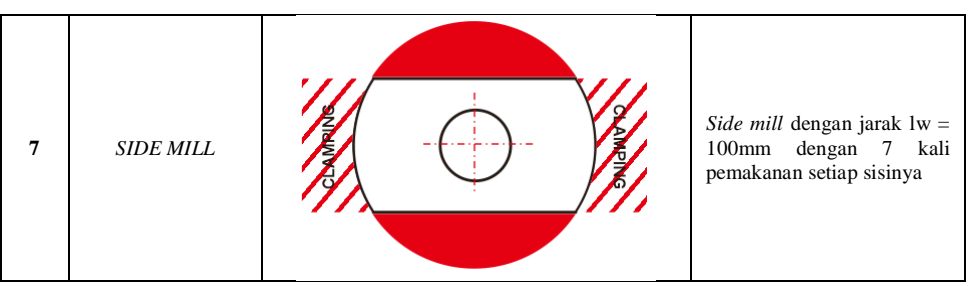
Proses yang dilakukan untuk membuat *dies necking* ini terbagi menjadi beberapa proses antara lain *Facing, Center Drill, Turning, Threading, Drilling*. Dimana urutan prosesnya dapat dilihat pada tabel dibawah.

Tabel 5.1 Rancangan Proses Pemesinan Dies Necking DETAIL NO SKETCH ANALISA PEMESINAN PROSES PROSES TITIK REFRENSI BAGIAN DEPAN DIES NECKING Facing (Turning) dengan diameter 130 dengan lw = **FACING** 73 mm kedalaman potong 7 1 (TURNING) dengan pemakanan dengan 1 kali kembali titik refrensinya.

2	CENTER DRILL	Center Drill sedalam 5mm dengan Ø5mm
3	ROUGHING (TURNING)	Roughing (Turning), head dies necking Ø130 menjadi Ø120, panjang lw = 7 dengan dengan kedalaman potong 5mm. 2 kali pemakanan, 1 kali kembali titik refrensinya.
4	FINISHING (TURNING)	Finishing (Turning), head dies necking Ø120 dengan panjang 30mm. 1 kali pemakanan
5	DRILLING	Drilling Ø20 mm sejauh 122mm



3	DRILLING	<i>Drilling Ø</i> 20 mm sejauh 22mm
4	ROUGHING (BORING)	Roughing (Boring) Ø36mm, kedalaman 22mm, lw = 16mm dengan 2 kali pemakanan, 1 kali kembali titik refrensi awal.
5	INTERNAL THREADING	Internal Threading ØM36mm sejauh 22mm dengan 9 kali pemakanan
6	THREADING	Threadinng ØM68mm sejauh 80mm dengan 19 kali pemakanan



5.1.1.1 Parameter Pemesinan

Parameter pemotongan dipilih berdasarkan material benda kerja dan pahat potong yang digunakan. Parameter potong dapat diambil dari hasil perhitungan atau tabel rekomendasi.

> Perhitungan Proses Turning

Pada penelitian ini, parameter pemotongan yang digunakan diambil dari tabel rekomendasi. Pemilihan parameter pemotongan pada proses *turning* menggunakan Tabel 7.4 ditunjukkan pada Lampiran A

Do = Diameter awal benda kerja

Dm = Diameter rancangan --- Gambar 4.6

$$D_r = \frac{(Do - Dm)}{2}$$

 D_r = Dimensi Rata – rata

Vc = Cutting Speed --- Tabel 7.4 Lampiran A f = Gerak Makan --- Tabel 7.4 Lampiran A

 N_{teo} = Putaran Poros

 V_f = Kecepatan Makan

Doc = $depth \ of \ cut$ --- Tabel 7.4 Lampiran A

L = Panjang pemotongan pada benda kerja

Cut/T = Waktu Pemesinan

Dari dimensi rancangan dan tabel rekomendasi dapat ditentukan $N_{\rm teori}$ dengan persamaan sebagai berikut, dimana nilai dari Vc dari Tabel 7.4 dengan nilai = 100 m/min dan Dr = 5mm.

$$Nteo = \frac{1000 \times Vc}{\pi \times Dr}$$

$$Nteo = \frac{1000 \times 100 \frac{m}{min}}{\pi \times 5 mm}$$

$$Nteo = 6369.427 \text{ rev/min}$$

Nilai dari N_{teori} didapatkan sebesar $N_{teori} = 6369,427$ rev/min, dari nilai tersebut dapat dicari besar nilai V_f dengan persamaan sebagai berikut.

$$Vf = f \times Nteo$$

$$Vf = 0.5mm \times 6369,427 \ rev/min$$

$$Vf = 3184,713 \ rev/min$$

Nilai $V_{\rm f}=3184{,}713$ rev/min maka dapat dicari waktu pemesinannya (Cut/T) sebagai berikut.

$$\frac{Cut}{T} = \frac{Jumlah Pemakanan \times L}{Vf}$$

$$\frac{Cut}{T} = \frac{6 \times 30 \ mm}{3184,713 \ rev/min}$$

$$\frac{Cut}{T} = 0,05652 \ menit$$

Waktu yang didpatkan dalam satu proses *turning* adalah 0,05652 menit = 3 detik, perhitungan diatas ditunjukkan pada tabel 5.2 dengan *rows* penanda warna kuning.

Perhitungan Proses Drilling

Pada penelitian ini, parameter pemotongan yang digunakan diambil dari Tabel 7.4. Pemilihan parameter pemotongan pada proses *turning* menggunakan Tabel 7.4 ditunjukkan pada Lampiran

A

L = Panjang pemotongan benda kerja (mm)

 D_r = diameter gurdi (mm)

 $\begin{array}{ll} N_{teo} & = Putaran \ Poros \\ V_f & = Kecepatan \ makan \end{array}$

 $Doc = Dept \ of \ cut$ f = Gerak Makan

Cut/T = Waktu pemotongan

Z = Jumlah gigi (mm) [2 mata potong (gigi)]

Diketahui nilai Vc dari Tabel 7.4 dan Dr = 20mm, maka dapat dicari Putaran Poros Nteo sebagai berikut.

$$Nteo = \frac{1000 \times Vc}{\frac{\pi \times Dr}{1000 \times 20}}$$

$$Nteo = \frac{1000 \times 20}{\pi \times 20}$$

$$Nteo = 318,4713 \text{ rpm}$$

Nilai Nteo = 318,4713 sehingga dapat dicari kecepatan makan dengan persamaan dibawah, dimana nilai Z=2 dan f dari tabel 2.4 sebesar = 0,15

$$Vf = f \times Nteo \times Z$$

 $Vf = 0.15 \times 318,4713 \times 2$
 $Vf = 95.5414 \ m/min$

Dari persamaan diatas didapatkan nilai dari $V_{\rm f}=95,5414$ dari nilai tersebut dapat dicari waktu pemotonngan dengann menggunakan persamaan dibawah sebagai berikut. Dimana nilai L = 122mm panjangnya proses pengerjaan pada material uji.

$$\frac{Cut}{T} = \frac{L}{Vf}$$

$$\frac{Cut}{T} = \frac{122}{95,5414}$$

$$\frac{Cut}{T} = 1,276 \text{ menit}$$

Waktu pemotongan Cut/T=1,276 menit =1 menit 17 detik. Merupakan waktu pemotongan untuk satu kali proses, seperti pada tabel dengan warna hijau.

> Perhitungan Proses Threading

Pada penelitian ini terbagi dua hal dalam proses pemesinan *threading* yaitu ulir luar dan ulir dalam, didapatkan dengan perhitungan manual sebagai berikut, dan para meter pemesinan ditunjukkan pada Tabel 7.4 hasil perhitungan dapat dilihat pada Tabel 5.3 berwarna biru.

<u>Ulir Luar (Tabel 5.3 Row Biru)</u>

 $\begin{array}{ll} a_1 & = \text{Kedalaman potong mula (mm)} \\ a_i & = \text{Kedalaman potong ke ... (i) (mm)} \\ a_{eq,i} & = \text{Kedalaman potong ekuivalen (mm)} \\ b_{eq,i} & = \text{Lebar geram ekuivalen} \end{array}$

h_{eq,i} = Tebal geram ekuivalen di = Diameter yang dicapai

p = Pitch

n = Jumlah urutan pemotongan

Langkah pertama dalam menentukan waktu pemesinan *threading* parameter yang ditentukan adalah nilai dari (a_1) yang kemudian berlannjut seperti pada persamaan di bawah ini. Nilai dari n=10 di mana nilai tersebut ditentukan dengan 10 kali langkah dalam pembuatan ulir dengan memperhatikan nilai dari "doc" ditunjukkan pada lampiran A Tabel 7.9 sedangkan nilai p=pitch=2 mm yaitu nilai dari kedalaman ulir.

$$a_1 = \frac{5}{8} \times p \times SIN60 \div \sqrt{n}$$

 $a_1 = \frac{5}{8} \times 2 \times SIN60 \div \sqrt{10}$
 $a_1 = 0.342406 \text{ mm}$

Nilai dari (a_i) sebesar 0,342406 mm maka dapat dicari nilai dari (a_i) dimana nilai dari i = langkah n ke i dimana nilai <math>i = 1 merupakan langkah pertama pada proses *threading* hingga i = 10.

$$a_i = a_1 \times \sqrt{i}$$

 $a_i = 0.342406 \times \sqrt{1}$
 $a_i = 0.342406 mm$

Nilai dari (a_i) pada i ke 1=0,342406 sehingga dapat ditentukan nilai dari $(a_{eq,i})$ dimana nilai kedalaman potong ekuivalen dapat dicari dengan persamaan dibawah.

$$a_{eq,i} = a_i + \frac{2}{8} \times p \times SIN60$$

 $a_{eq,i} = 0.342406 + \frac{2}{8} \times 2 \times SIN60$
 $a_{eq,i} = 0.775519$

Nilai dari $(a_{eq,i})=0.775519$, sehingga dapat ditentukan nilai dari $(b_{eq,i})$ lebar gream ekuivalen dengan persamaan berikut.

$$b_{eq,i} = a_{eq,i} \div SIN60$$

 $b_{eq,i} = 0,775519 \div SIN60$
 $b_{eq,i} = 0,895285$

Nilai dari $(b_{eq,i}) = 0.895285$. Maka dapat ditentukan nilai $(h_{eq,i})$ tebal gram ekuivalen sebagai berikut. Dimana nilai dari $a_i = 0.342406$ dan nilai dari $a_1 = 0.342406$ nilai dari i = 1

$$h_{eq,i} = a_i - a_1 \sqrt{(i-1)}$$

 $h_{eq,i} = 0.342406 - 0.342406 \sqrt{(1-1)}$
 $h_{ea,i} = 0.342406$

Hasil dari perhitunagn ($h_{eq,i}$) didapatkan nilai = 0,342406 . untuk mencari nilai di maka dapat ditentukan dengan persamaan sebagai berikut.

$$di = d - (2 \times a_1 \times \sqrt{i})$$

 $di = 68 - (2 \times 0,342406 \times \sqrt{1})$
 $di = 67.31519$

Nilai dari di = 67,31519 diamana diameter pada tahapan i ke = 1. Untuk menentukan nilai dari $n_{\rm op}$ maka ditentukan dengan persamaan sebagai berikut.

$$n_{op} = \frac{(1000 \times Vc)}{\pi \times D}$$

$$n_{op} = \frac{(1000 \times 100)}{\pi \times 68}$$

$$n_{op} = 468,3402$$

Nilai dari $n_{\rm op}=468,\!3402.$ Langkah berikutnya menentukan nilai dari $V_{\rm op}$ sebagai berikut.

$$V_{op} = n_{op} \times h_{eq,i}$$

 $V_{op} = 468,3402 \times 0,342406$
 $V_{op} = 160,3625$

Nilai dari Vop = 160,3625. Untuk menentukan waktu pemotongan maka ditentukan dengan persamaan berikut, dimana nilai L=80, nop = 468,3402, dan heq,i = 0,342406

$$tc = \frac{L}{n_{op} \times h_{eq,i}}$$

$$tc = \frac{80}{468,3402 \times 0,342406}$$

$$tc = 0,49887$$

Dimana waktu tc setiap proses i=1 adalah 4,988696 menit = 4 menit 59 detik Sehingga waktu total dengan menggunakan persamaan dibawah, dimana nilai penjumlahan dari tc (i=1 sampai 10)

$$t_{total} = \sum_{i=1-10}^{n=10} t_{c,i}$$

$$t_{total} = 20,8399 \text{ menit}$$

Sehingga waktu pemotongan total dari proses ulir luar $t_{total} = 86,35289\,$ menit. Untuk menentukan ulir dalam maka dapat ditentuka dengan persamaan di bawah dengan keterangan sama dengan ulir luar. Nilai dai p=pitch=2 dan diameter dalam M36 dengan L=22mm.

<u>Ulir Dalam (Tabel 5.4 Row Abu – abu)</u>

$$a_1 = \frac{4}{8} \times p \times SIN60 \div \sqrt{n}$$

$$a_1 = \frac{4}{8} \times 1 \times SIN60 \div \sqrt{5}$$

 $a_1 = 0.387388 \text{ mm}$

Nilai dari (a₁) sebesar 0,387388 mm maka dapat dicari nilai dari (a_i) dimana nilai dari i = langkah n ke i dimana nilai <math>i = 2 merupakan langkah pertama pada proses *threading* hingga i = 5.

$$a_i = a_1 \times \sqrt{i}$$

 $a_i = 0.387388 \times \sqrt{2}$
 $a_i = 0.54785$

Nilai dari (a_i) pada i ke 2=0,54785 sehingga dapat ditentukan nilai dari $(a_{eq,i})$ dimana nilai kedalaman potong ekuivalen dapat dicari dengan persamaan dibawah.

$$a_{eq,i} = a_i + \frac{2}{8} \times p \times SIN60$$

 $a_{eq,i} = 0.54785 + \frac{2}{8} \times 1 \times SIN60$
 $a_{eq,i} = 0.980963$

Nilai dari $(a_{eq,i}) = 0.980963$, sehingga dapat ditentukan nilai dari $(b_{eq,i})$ lebar gream ekuivalen dengan persamaan berikut.

$$b_{eq,i} = a_{eq,i} \div SIN60$$

 $b_{eq,i} = 0.980963 \div SIN60$
 $b_{eq,i} = 1.132456$

Nilai dari $(b_{eq,i}) = 1,132456$. Maka dapat ditentukan nilai $(h_{eq,i})$ tebal gram ekuivalen sebagai berikut. Dimana nilai dari $a_i = 0,54785$ dan nilai dari $a_1 = 0,387388$ nilai dari i = 2

$$h_{eq,i} = a_i - a_1 \sqrt{(i-1)}$$

 $h_{eq,i} = 0.54785 - 0.387388 \sqrt{(2-1)}$
 $h_{eq,i} = 0.160461$

Hasil dari perhitunagn ($h_{eq,i}$) didapatkan nilai = 0,160461 . untuk mencari nilai d_i maka dapat ditentukan dengan persamaan sebagai berikut. Dimana (D_1) = diameter minor ulir dalam (34mm), nilai dari a_1 =0,387388, n=5, dan p = 2 (pitch).

$$di = D_1 + (2 \times a_1 \times \sqrt{n}) + (\frac{2}{8} \times p \times SIN60)$$

$$di = 34 + (2 \times 0.387388 \times \sqrt{5}) + (\frac{2}{8} \times 2 \times SIN60)$$

$$di = 35.52881$$

Nilai dari di = 35,52881 diamana diameter pada tahapan i ke = 2. Untuk menentukan nilai dari (n_{op}) maka ditentukan dengan persamaan sebagai berikut. Dimana nilai dari Vc = 100 dari Tabel 7.4 pada lampiran A, dan $\emptyset = M36$ diameter mayor ulir dalam.

$$n_{op} = \frac{(1000 \times Vc)}{\pi \times D}$$

$$n_{op} = \frac{(1000 \times 100)}{\pi \times 36}$$

$$n_{op} = 884,6426$$

Nilai dari $n_{op}=884,6426$. Langkah berikutnya menentukan nilai dari Vop sebagai berikut. Dimana nilai dari $(h_{eq,i})=0,160461$.

$$V_{op} = n_{op} \times h_{eq,i}$$

 $V_{op} = 884,6426 \times 0,160461$
 $V_{op} = 141,9511$

Nilai dari $V_{op} = 141,9511$. Untuk menentukan waktu pemotongan maka ditentukan dengan persamaan berikut, dimana nilai L = 22, $n_{op} = 884,6426$, dan $h_{eq,i} = 0,160461$

$$tc = \frac{L}{n_{op} \times h_{eq,i}}$$
$$tc = \frac{22}{884,6462 \times 0,160461}$$
$$tc = 0.15498$$

Sehingga waktu total dengan menggunakan persamaan dibawah, dimana nilai penjumlahan dari t_c (i=1 sampai 5)

$$t_{total} = \sum_{i=1-5}^{n=5} t_{c,i}$$
$$t_{total} = 0.93268$$

Sehingga waktu pemotongan total dari proses ulir luar t_{total} = 0,93268 menit atau 56 detik. Perhitungan keseluruhan dapat dilihat pada Tabel 5.4

Perhitungan Milling

Benda Kerja

= lebar pemotongan (mm) W = panjang pemotongan (mm) Lw

Lt = lv + lw + ln

= kedalaman potong (mm) a

= Jumlah pemotongan B Pahat Frais

d = diameter luar (mm) = jumlah gigi (mata potong) Gambar 5.2 Skematik Proses Milling vertikal dan milling horizontal

= sudut potong utama (90°) untuk pahat frais selubung Xr Mesin Frais

= putaran poros utama (rpm) n

Vf = kecepatan makan (mm/putaran)

Dari dimensi rancangan dan tabel rekomendasi dapat ditentukan nilai dari (l_t) dengan persamaan sebagai berikut

$$l_t = l_v + l_w + l_n$$

Z

Nilai dari lv,ln (clearence) sebagai berikut.

$$l_v, l_n = \left(\frac{diameter\; pahat}{2}\right) + 5mm$$

Dimana

Lv,ln = clearence

$$l_v, l_n = \left(\frac{20}{2}\right) + 5mm$$

$$l_{v}, l_{n} = 15mm$$

Sehingga nilai dari lv dan ln = 39mm dapat ditentukan lt = panjang total

$$l_t = 15 + 100 + 15$$

$$l_t = 130mm$$

Nilai dari Vc berdasarkan Tabel 7.6 pada lampiran A sehingga dapat ditentukan nilai dari N = putaran poros sebagai berikut.

$$Nteo = \frac{1000 \times Vc}{\pi \times d}$$

Dimana

= diamater pahat d = Cutting Speed

 $Nteo = \frac{1000 \times 80 \frac{m}{min}}{\pi \times 20 mm}$

 $Nteo = 1273.23 \, rev/min$



Gambar 5.3 skematik pemakanan pahat

Nilai dari Nteori didapatkan sebesar Nteori = 1273,23 rev/min, dari nilai tersebut dapat dicari besar nilai Vf dengan persamaan sebagai berikut.

$$Vf = f \times Nteo \times Z$$

$$Vf = 0.1mm \times 1273,23 \frac{rev}{min} \times 4$$

$$Vf = 509,29 \ rev/min$$

Nilai vf = 509,29 rev/min maka dapat dicari waktu pemesinannya sebagai berikut dimana nilai dari doc sebagai berikut

$$ap = 1Dc$$

$$ae = 0.25Dc$$

Dimana:

Dc = diameter pahat

ap = dept of cut vertical

ae = dept of cut horizontal

Dikarenakan pahat yang digunakan memiliki diameter (Dc)

= 20mm maka besar ap dan ae adalah

 $ap = 1 \times 20$

ap = 20mm

 $ae = 0.25 \times 20$

ae = 5mm

Sehingga pahat dapat melakukan pemakanan secara vertikal sepanjang 20 mm dan secara horizontal sedalam 5mm, dikarenakan area benda kerja yang akan dipotong memiliki dimensi 30x10mm maka jumlah pemakanan yang diperlukan adalah 4 kali untuk satu sisi sedangkan pengerjaan milling pada *dies necking* 2 sisi, total pemakanan adalah 8 kali.

$$\frac{Cut}{T} = \frac{Jumlah\ Pemakanan \times\ l_t}{Vf}$$

$$\frac{Cut}{T} = \frac{8 \times 130\ mm}{1273,23\ rev/min}$$

$$\frac{Cut}{T} = 0,8168\ menit$$

Waktu yang didpatkan dalam (t_c) adalah 0,8168 menit atau 49 detik terlihat pada Tabel 5.2 dengan *row* warna merah

Dari hasil perhitungan keseluruhan dapat dilihat pada Tabel 5.2 dibawah sebagai berikut.

Tabel 5.2 Parameter Pemotongan yang Digunakan Pada Proses
Pemesinan Dies Necking

NO	Proses	Materia l Pahat Potong	Dr (mm)	Vc (m/m in)	f (mm/rev)	N teo (rpm)	Vf (m/min)	Doc (mm)	L (mm)	Cut/T (min)
1	Facing (Turning)	Carbide	65	100	0,5	489,955 9	244,978	5	7	0,057148
2	Center Drill	HSS	2,5	20	0,08	1273,88 5	101,9108	2,5	5	0,098125
3	Roughing (Turning)	Carbide	5	100	0,5	6369,42 7	3184,713	5	30	0,05652

4	Finishing (Turning)	Carbide	0,25	100	0,1	127388, 5	12738,85	0,3	30	0,002355
5	Drilling	HSS	20	20	0,15	318,471 3	95,5414	2,5	122	1,2769333 33
6	Roughing (Turning)	Carbide	7	100	0,5	4549,59 1	2274,795	7	77	0,5415872
7	Roughing (Turning)	Carbide	1,5	100	0,5	21231,4 2	10615,71	1,5	23	0,032499
8	Finishing (Turning	Carbide	0,25	100	0,1	127388, 5	12738,85	0,3	77	0,0060445
9	Finishing (Turning)	Carbide	0,25	100	0,1	127388, 5	12738,85	0,3	23	0,0018055
1	Center Dril	HSS	5	20	0,08	1273,88 5	101,9108	2,5	5	0,049063
2	Roughing (Turning)	Carbide	31	100	0,5	1027,32 7	513,6634	5	92	3,403006
3	Drilling	HSS	7,5	20	0,15	849,256 9	127,3885	2,5	22	0,460533
4	Roughing (Turning)	Carbide	8	100	0,5	3980,89 2	1990,446	5	22	0,055264
5	Internal Threading	Carbide	di	100	$h_{\mathrm{eq,i}}$	nop	V_{op}	0,95	22	0,93268
6	Threading	Carbide	di	100	h _{eq,i}	nop	V_{op}	1,4	80	20,8399
7	Side Mill	Carbide	20	80	0,1	1273,23	509,29	20	130	0,8168

Tabel 5.3 Parameter Pemotongan yang Digunakan Pada Proses Pemesinan *Dies Necking* Proses *Threading Luar*

	remesinal Dies Necking Proses Threating Luar											
	a_1	a_i	$a_{\rm eq,i}$	$b_{eq,i}$	$h_{eq,i}$	d_i	Vc	nop	Vop	1t	tc	
1		0,34240	0,77551	0,89528	0,34240	67,3151		468,340	160,362	80		
		6	9	5	6	9		2	5		0,49887	
2		0,48423	0,91734	1,05901	0,14182	67,0315		468,340	66,4243	80	1,20437	
		5	9	7	9	3		2	4		8	
3		0,59306	1,02617	1,18465	0,10882	66,8138		468,340	50,9691	80	1,56957	
		5	8	3	9	7		2	9		6	
4		0,68481	1,11792	1,29056	0,09174	66,6303		468,340	42,9690	80	1,86180	
		2	6	9	7	8		2	2		7	
5		0,76564	1,19875	1,38388	0,08083	66,4687		468,340	37,8564	80	2,11324	
	0,342	3	7	3	1	1	100	2	6		6	
6	406		1,27183	1,46824	0,07307	66,3225	100	468,340	34,2248	80	2,33748	
		0,83872	4	6	7	6		2	6		2	
7		0,90592	1,33903	1,54582	0,06720	66,1881		468,340	31,4730	80	2,54186	
		1	5	5	1	6		2	1		1	
8		0,96847	1,40158	1,61803	0,06254	66,0630		468,340	29,2943	80	2,73090	
		1	4	4	9	6		2	6		1	
9		1,02721	1,46033	1,68585	0,05874	65,9455		468,340	27,5138	80	2,90762	
		8	2	4	8	6		2	6		5	
10		1,08278	1,51589		0,05556	65,8344		468,340	26,0232	80	3,07417	
	3 6 1,75 5 3 2 6 3											
			Tota	l Penjumlaha	n nilai tc. t	$c = \sum_{i=1}^{n=10}$	tc,i		•	•	20,8399	

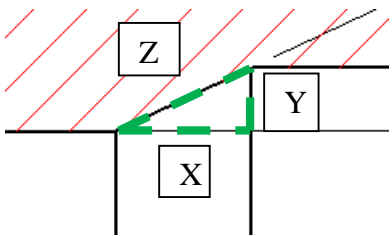
	Temesman Dies Weeking 1105es Tiretuing Duum												
	a_1	a_i	$a_{\rm eq,i}$	$b_{eq,i}$	$h_{eq,i}$	d_i	Vc	n _{op}	v_{op}	lt	tc		
1		0,38738 8	0,82050 2	0,94721 4	0,38738 8	35,2078 9		884,642 6	342,700 2	22	0,06419 6		
2		0,54785	0,98096	1,13245 6	0,16046 1	35,5288 1		884,642 6	141,951 1	22	0,15498 3		
3	0,387 888	0,67097 6	1,10408 9	1,27459 7	0,12312 6	35,7750 7	100	884,642 6	108,922 9	22	0,20197 8		
4		0,77477 7	1,20789	1,39442 7	0,1038	35,9826 7		884,642 6	91,8262 4	22	0,23958 3		
5	5 0,86622 1,29934 1,5 0,09145 36,1655 7 884,642 80,9005 4 2									22	0,27193 9		
Total Penjumlahan nilai tc. $t_c = \sum_{i=1-4}^{n=4} tc, i$											0,93268		

Tabel 5.4 Parameter Pemotongan yang Digunakan Pada Proses Pemesinan *Dies Necking* Proses *Threading Dalam*

Hasil dari perhitungan dapat disimpulkan proses pemesinan diatas didapatkan waktu total (tc_{total}) adalah 40,8234801 menit atau 40menit 49detik dalam pembuatan *Dies Necking*.

5.1.1.2 Pengukuran Dimensi.

Dies necking yang telah melalui proses pemesinan dan telah selesai dibuat, kemudian diukur untuk memastikan bahwa pergerakan pahat potong sudah sesuai dengan dimensi produk. Dies necking yang telah dibuat diukur menggunakan jangka sorong dengan kecermatan 0,02mm sementara hasil pengukuran sudut dengan menggunakan metode *phytagoras*. Dengan pengambilan data sebanyak 5 kali pada setiap dimensi.



Gambar 5.4 Penggunaan Perbandingan *Phytagoras* Untuk Mengukur Sudut *Dies Necking*

Untuk menghitung sudut digunakan perbandingan *phytagoras*, dimana pada sisi – sisi – sisi Y didapatkan dari selisih diameter yang diukur dengan jangka sorong.

$$Y = \frac{\emptyset G - \emptyset I}{2}$$

$$Y = \frac{33,96 - 24,82}{2}$$

$$Y = 4,57$$

Sementara sisi $Z=9,7\,$ mm dikarenakan pengukuran langsung menggunakan jangka sorong tidak dapat dilakukan, maka dilakukan pendekatan profiling menggunakan bantuan selotip, sehingga pengambilan data hanya dilakukan satu kali. Kemudian sisi X didapatkan dengan menggunakan perbandingan phytagoras sebagai berikut.

$$X = \sqrt{(Z^2 - Y^2)}$$

$$X = \sqrt{(9,7^2 - 4,57^2)}$$

$$X = 8.56$$

Sisi X dan Y tersebut kemudian dimasukkan ke persamaan berikut untuk mendapatkan hasil sudut L dengan persamaan sebagai berikut.

$$L = tan^{-1} \frac{Y}{X}$$

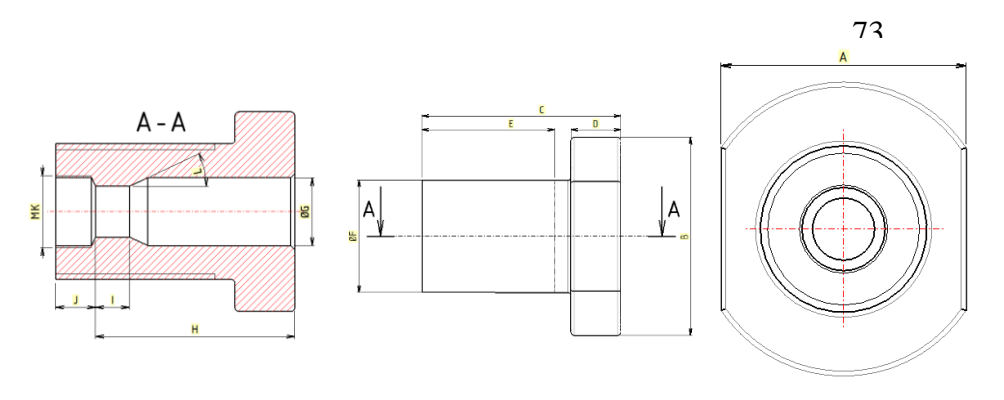
$$L = tan^{-1} \frac{4,57}{8,56}$$

$$L = 28,1^{0}$$

Dari hasil perhitungan diatas ditunjukkan pada tabel 5.5 dengan Row berwarna kuning. Dengan pengukuran 5 kali hasil sudut yang didapatkan dapat dilihat pada tabel 5.5 dibawah.

Tabel 5.5 Pengukuran sudut Dies Necking

	Bagian – Bagian Pengukuran Sudut											
ØG	ØG ØI Z Y X											
					(sudut)							
33,96	24,82	9,7	4,57	8,56	$28,1^{0}$							
33,8	25,32	9,7	4,24	8,72	$25,91^{0}$							
33,94	25,32	9,7	4,31	8,68	$26,38^{0}$							
33,94	24,88	9,7	4,53	8,57	$27,84^{0}$							
33,92	25,08	9,7	4,42	8,53	$27,1^{0}$							



Gambar 5.5 Dimensi Yang Diukur

Pengukuran dilakukan sebanyak 5 kali pada setiap dimensi. Hasil pengukuran dapat dilihat pada Tabel 5.6

Tabel 5.6 Hasil Pengukuran Dimensi *Dies Necking*

			Peng	ukuran K	e- (mm)	•	Rata – Rata
Bagian	Dimensi	1	2	3	4	5	$\mu = \sum_{1}^{5} \frac{xi, yi}{n}$
A	100 mm	99,7	99,7	99,82	100,2	99,62	99,808 mm
В	120 mm	120,3	120,2	120,1	120,1	120,22	120,184 mm
C	122 mm	122,4	122,56	122,1	122,5	122,26	122,364mm
D	30 mm	29,92	29,92	29,92	29,92	29,92	29,92mm
Е	80 mm	79,8	79,42	79,4	79,32	79,22	79,432mm
ØF	68 mm	68,1	67,86	67,84	67,6	68,6	68mm
ØG	34 mm	33,96	33,8	33,94	33,94	33,92	33,912mm
Н	100 mm	100,5	100,6	100,6	100,52	100,2	100,484mm
I	23 mm	19,02	18,64	18,64	18,64	19,02	18,792mm
ØI	23 mm	24,82	25,32	25,32	24,88	25,08	25,084mm
J	22 mm	21,76	22	22	21,8	22	21,912mm
ØMK	36 mm	36,2	36,22	36,12	36,14	36	36,136mm
L	34,50	28,10	25,910	26,380	27,840	27,10	$27,06^{\circ}$

Tabel 5.6 diatas menunjukkan data hasil pengukuran dimensi *dies necking* yang dilakukan. Data hasil pengukuran tersebut didapatkan dengan pengukuran dimensi benda mengunakan jangka sorong dengan kecermatan 0,02 mm dan untuk mencari nilai rata – rata (μ) [mean] dari 5 kali pengukuran dapat digunakan menggunakan persamaan sebagai berikut.

Rata – rata (
$$\mu$$
) [mean] bagian (\mathbf{A})
$$\mu = \sum_{1}^{5} \frac{xi, yi}{n}$$

$$\mu = \frac{(99,7 + 99,7 + 99,82 + 100,2 + 99,62)mm}{5}$$

$$\mu = 99,808 \text{ mm}$$

Dari perhitungan rata – rata (µ) [mean] didapatkan nilai mean A = 99,808mm data acuan A = 100mm, mean B = 120,184mm data acuan B = 120mm, mean C = 122,364mm data acuan C = 122mm, mean D = 29,92mm data acuan D = 30mm, mean E = 79.432mm data acuan E = 80mm, mean $\emptyset F = 68$ mm data acuan $\varnothing F = 68$ mm, mean $\varnothing G = 33,912$ mm data acuan $\varnothing G = 34$ mm, mean H = 100.484mm data acuan H = 100mm. mean I = 18.792mm data acuan I = 19mm, mean \emptyset I = 25,084mm data acuan \emptyset I = 23mm, mean J = 21,912mm data J = 22mm, mean $\emptyset MK =$ 36,136mm data acuan ØMK = 36mm, mean L = $33,9^0$ data acuan L = 34,5°. Data hasil pengukuran menunjukkan kesesuaian terhadap toleransi yang dihasilkan saat verifikasi proses pemesinan. Pada hasil verifikasi tersebut toleransi yang diberikan pada dies necking bagian ØI sebesar + 0,3 mm dan -0,1. Dari hasil pengukuran dan perhitungan rata – rata (μ) [mean] yang dilakukan, dimensi bagian ØI, yang dihasilkan tidak dalam batas toleransi yang diberikan. Penyimpangan yang terjadi pada dimensi yang diukur dapat disebabkan oleh pengerjaan benda menggunakan proses pemesinan secara konvensional ataupun, Jangka sorong yang belum terkalibrasi dengan baik.

Berikut penunjukan salah satu proses pengukuran dimensi dengan menggunakan jangka sorong seperti pada Gambar 5.6 di bawah.



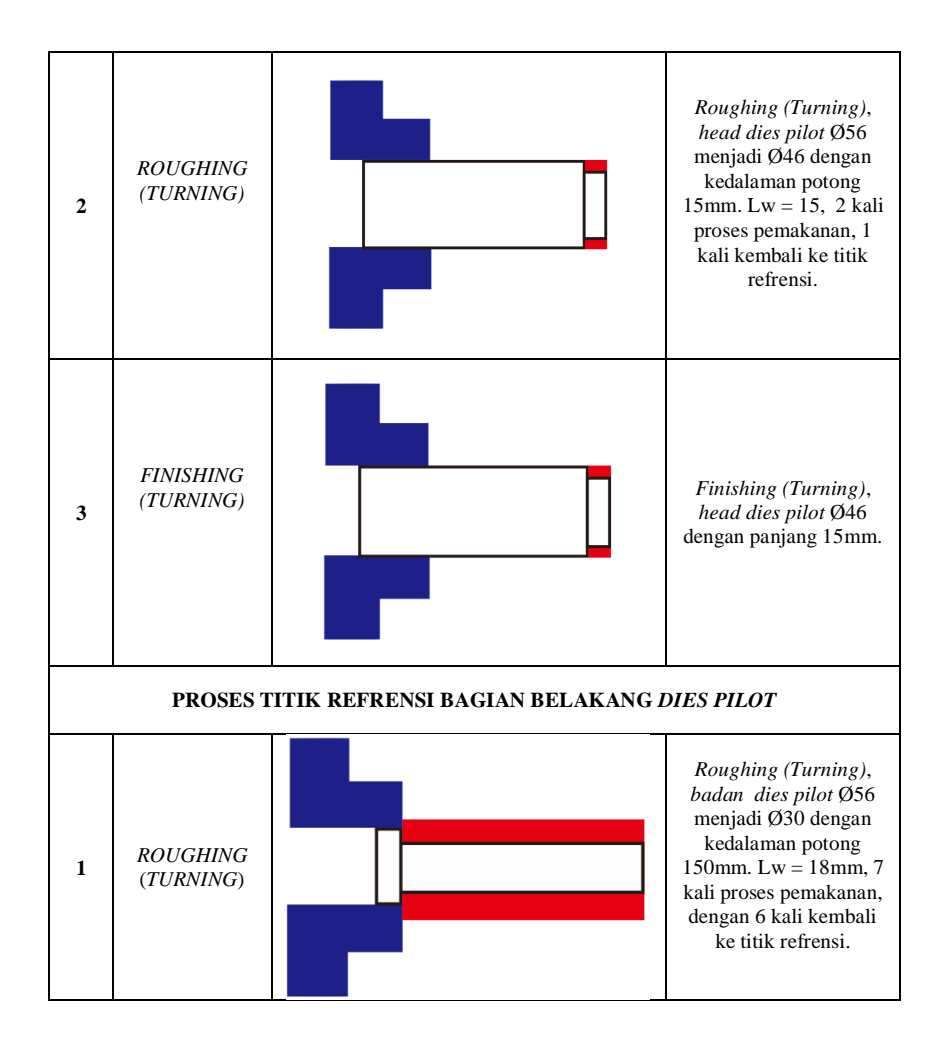
Gambar 5.6 Pengukuran *Dies necking* dengan menggunakan jangka sorong dengan kecermatan 0,02mm

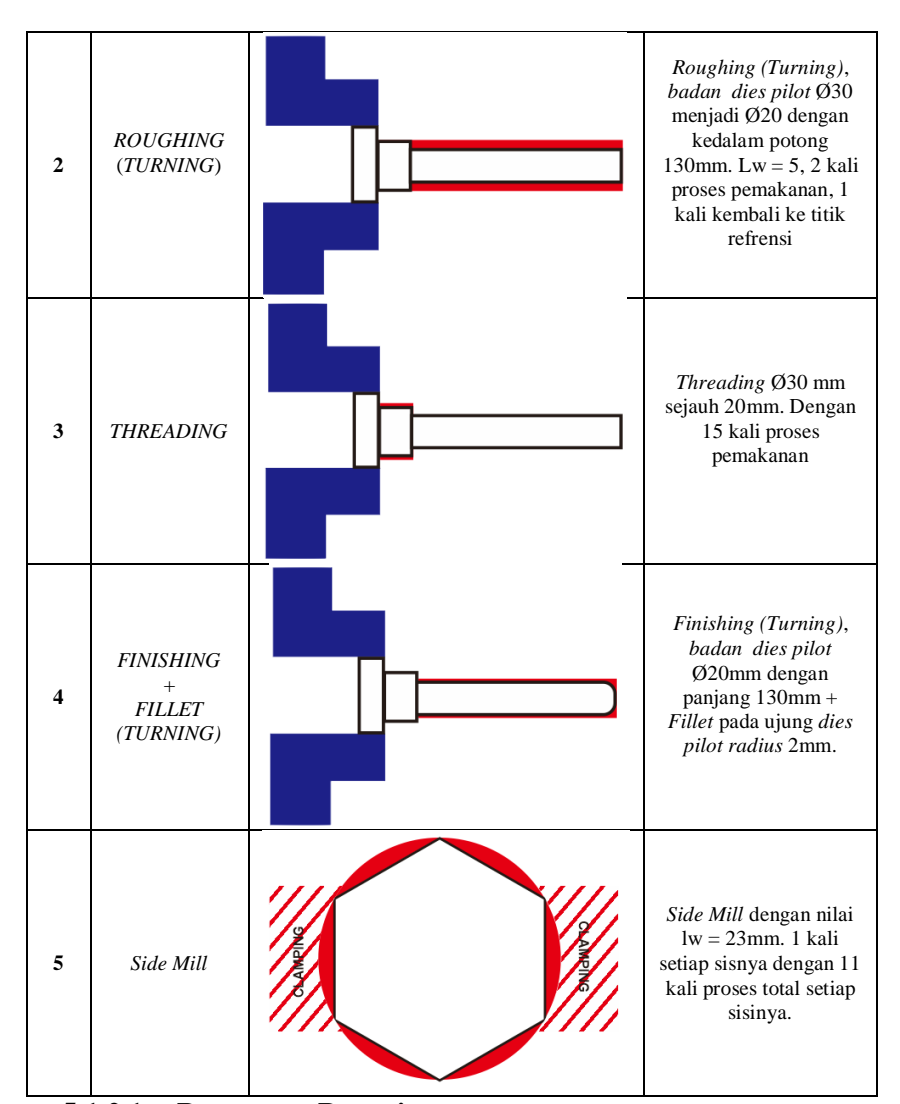
5.1.2 Dies Pilot

Proses yang dilakukan untuk membuat *dies pilot* ini terbagi menjadi beberapa proses antara lain *Facing, Rough Turning, Threading, Fillet, Finishing.* Dimana urutan prosesnya dapat dilihat pada Tabel 5.7 dibawah

Tabel 5.7 Rancangan Proses Pemesinan Dies Pilot

NO	DETAIL PROSES	SKETCH	ANALISA PERMESINAN
	PROSE	S TITIK REFRENSI BAGIAN DEPAN <i>DIR</i>	ES PILOT
1	FACING (TURNING)		Facing (Turning) sedalam 5mm dengan 1 kali proses pemakanan





5.1.2.1 Parameter Pemesinan

Pada penelitian ini, parameter pemotongan yang digunakan diambil dari tabel. yang ditunjukkan pada lampiran A dan juga

perhitungan manual. Memiliki beberapa tahapan perhitungan manual sebagai berikut.

Perhitungan Proses Turning

Pemilihan parameter pemotongan pada proses turning menggunakan Tabel 7.4 Menunjukkan rekomendasi parameter pemotongan yang digunakan ditunjukkan pada Lampiran A

= Diameter awal benda kerja

= Diameter rancangan Dm --- Gambar 4.3

$$D_r = \frac{(Do - Dm)}{2}$$

Dr = Dimensi Rata – rata

Vc = Cutting Speed --- Tabel 7.4 Lampiran A f = Gerak Makan --- Tabel 7.4 Lampiran A

Nteo = Putaran Poros

Vf = Kecepatan Makan Doc = depth of cut --- Tabel 7.4 Lampiran A

= Panjang pemotongan pada benda kerja L

Cut/T = Waktu Pemesinan

Dari dimensi rancangan dan tabel rekomendasi dapat ditentukan Nteori dengan persamaan sebagai berikut diamana nilai dari Dr = 5mm. Dan Vc = 100

$$Nteo = \frac{1000 \times Vc}{\pi \times Dr}$$

$$Nteo = \frac{1000 \times 100 \frac{m}{min}}{\pi \times 5 mm}$$

$$Nteo = 6369,427 rev/min$$

Nilai dari N_{teori} didapatkan sebesar N_{teori} = 6369,427 rev/min, dari nilai tersebut dapat dicari besar nilai V_f dengan persamaan sebagai berikut.

 $Vf = f \times Nteo$

 $Vf = 0.5mm \times 6369.427rev/min$

 $Vf = 3184,713 \ rev/min$

Nilai $V_f = 3184,713$ rev/min maka dapat dicari waktu pemesinannya (Cut/T) sebagai berikut. Dimana L = 15 (panjang pemesinan)

$$\frac{Cut}{T} = \frac{3 \times L}{Vf}$$

$$\frac{Cut}{T} = \frac{3 \times 15 \ mm}{3184,713 \ rev/min}$$

$$\frac{Cut}{T} = 0,01413 \ menit$$

Waktu yang didpatkan dalam satu proses turning adalah 0,01413 menit, perhitungan diatas ditunjukkan pada Tabel 5.8 dengan *rows* penanda warna kuning.

Perhitungan Proses Threading

Pada penelitian ini terbagi dua hal dalam proses pemesinan *threading* yaitu ulir luar dan ulir dalam, didapatkan dengan perhitungan manual sebagai berikut, dan para meter pemesinan ditunjukkan pada Tabel 7.4 hasil perhitungan dapat dilihat pada Tabel 5.9 berwarna biru.

Ulir Luar (Tabel 5.9 Row Biru)

a₁ = Kedalaman potong mula (mm) a_i = Kedalaman potong ke ... (i) (mm) a_{eq.i} = Kedalaman potong ekuivalen (mm)

b_{eq,i} = Lebar geram ekuivalen
 h_{eq,i} = Tebal geram ekuivalen
 di = Diameter yang dicapai

p = Pitch

n = Jumlah urutan pemotongan

Langkah pertama dalam menentukan waktu pemesinan threading parameter yang ditentukan adalah nilai dari (a_1) yang kemudian berlannjut seperti pada persamaan di bawah ini. Nilai dari n=9 di mana nilai tersebut ditentukan dengan 9 kali langkah dalam pembuatan ulir dengan memperhatikan nilai dari "doc" ditunjukkan pada lampiran A gambar 7.9 sedangkan nilai p=pitch=2 mm yaitu nilai dari kedalaman ulir.

$$a_1 = \frac{5}{8} \times p \times SIN60 \div \sqrt{n}$$

$$a_1 = \frac{5}{8} \times 2 \times SIN60 \div \sqrt{8}$$

$$a_1 = 0.38282mm$$

Nilai dari (a₁) sebesar 0,38282 mm maka dapat dicari nilai dari (a_i) dimana nilai dari i = langkah n ke i dimana nilai <math>i = 1 merupakan langkah pertama pada proses *threading* hingga i = 8.

$$a_i = a_1 \times \sqrt{i}$$

 $a_i = 0.38282 \times \sqrt{1}$
 $a_i = 0.38282$

Nilai dari (a_i) pada i ke 1=0,38282 sehingga dapat ditentukan nilai dari $(a_{eq,i})$ dimana nilai kedalaman potong ekuivalen dapat dicari dengan persamaan dibawah.

$$a_{eq,i} = a_i + \frac{2}{8} \times p \times SIN60$$

 $a_{eq,i} = 0.38282 + \frac{2}{8} \times 2 \times SIN60$
 $a_{eq,i} = 0.81593$

Nilai dari $(a_{eq,i})=0.81593$, sehingga dapat ditentukan nilai dari $(b_{eq,i})$ lebar gream ekuivalen dengan persamaan berikut.

$$b_{eq,i} = a_{eq,i} \div SIN60$$

 $b_{eq,i} = 0.81593 \div SIN60$
 $b_{eq,i} = 0.94194$

Nilai dari $(b_{eq,i}) = 0.94194$. Maka dapat ditentukan nilai $(h_{eq,i})$ tebal gram ekuivalen sebagai berikut. Dimana nilai dari $a_i = 0.38282$ dan nilai dari $a_1 = 0.38282$ nilai dari i = 1

$$h_{eq,i} = a_i - a_1 \sqrt{(i-1)}$$

 $h_{eq,i} = 0.38282 - 0.38282 \sqrt{(1-1)}$
 $h_{eq,i} = 0.38282$

Hasil dari perhitunagn $(h_{eq,i})$ didapatkan nilai = 0,38282 . untuk mencari nilai di maka dapat ditentukan dengan persamaan sebagai berikut. Dimana nilai d = diameter mayor ulir luar M30, i = 1 masih dalam proses yang sama dengan urutan pemesinan ulir ke 1

$$di = d - (2 \times a_1 \times \sqrt{i})$$

 $di = 30 - (2 \times 0.38282 \times \sqrt{1})$
 $di = 29.2344$

Nilai dari di = 29,2344 diamana diameter pada tahapan i ke = 1. Untuk menentukan nilai dari nop maka ditentukan dengan persamaan sebagai berikut.

$$n_{op} = \frac{(1000 \times Vc)}{\pi \times D}$$

$$n_{op} = \frac{(1000 \times 100)}{\pi \times 30}$$

$$n_{op} = 1061,57$$

Nilai dari nop = 1061,57. Langkah berikutnya menentukan nilai dari Vop sebagai berikut.

$$V_{op} = n_{op} \times h_{eq,i}$$

 $V_{op} = 1061,57 \times 0,38282$
 $V_{op} = 406,392$

Nilai dari $V_{op}=406,392$. Untuk menentukan waktu pemotongan maka ditentukan dengan persamaan berikut, dimana nilai L=20, $n_{op}=1061,57$, dan $h_{eq,i}=0,38282$

$$tc = \frac{8 \times L}{n_{op} \times h_{eq,i}}$$

$$tc = \frac{8 \times 20}{1061,57 \times 0,38282}$$

$$tc = 0,39371$$

Dimana waktu t_c setiap proses i=1 adalah 0,39371 menit = 24 detik. Sehingga waktu total dengan menggunakan persamaan dibawah, dimana nilai penjumlahan dari t_c (i=1 sampai 8)

$$t_{total} = \sum_{i=1-8}^{n=8} t_{c,i}$$
$$t_{total} = 1,72107$$

Sehingga waktu pemotongan total dari proses ulir luar $t_{\text{total}} = 1,72107$ menit.

Perhitungan Proses Milling

Benda Kerja

w = lebar pemotongan (mm)

Lw = panjang pemotongan (mm)

Lt = lv + lw + ln

a = kedalaman potong (mm)

Pahat Frais

d = diameter luar (mm)

z = jumlah gigi (mata potong)

 $Xr = \text{sudut potong utama } (90^{\circ}) \text{ untuk pahat frais selubung}$

Mesin Frais

n = putaran poros utama (rpm)

Vf = kecepatan makan (mm/putaran)

B = Jumlah pemotongan

Dari dimensi rancangan dan tabel rekomendasi dapat ditentukan nilai dari (lt) dengan persamaan sebagai berikut

$$l_t = l_v + l_w + l_n$$

Nilai dari lv,ln (clearence) sebagai berikut.

$$l_v, l_n = \left(\frac{diameter\ pahat}{2}\right) + 5mm$$

Dimana

Lv.ln = clearence

$$l_v, l_n = \left(\frac{20}{2}\right) + 5mm$$

 $l_v, l_n = 15mm$

Gambar 5.7 Skematik Proses Milling vertikal dan milling horizontal

Sehingga nilai dari lv dan ln = 39mm dapat ditentukan lt = panjang total

$$l_t = 15 + 23 + 15$$

$$l_t = 53mm$$

Nilai dari V_c berdasarkan Tabel 7.6 pada lampiran A sehingga dapat ditentukan nilai dari N= putaran poros sebagai berikut.

$$Nteo = \frac{1000 \times Vc}{\pi \times d}$$
Dimana

d = diamater pahat

Vc = Cutting Speed

$$1000 \times 80 \frac{m}{min}$$

 $Nteo = \frac{\pi \times 20 \ mm}{\pi \times 20 \ mm}$

 $Nteo = 1273,23 \, rev/min$

Nilai dari N_{teori} didapatkan sebesar N_{teori} = 1273,23 rev/min, dari nilai tersebut dapat dicari besar nilai $V_{\rm f}$ dengan persamaan sebagai berikut.

$$Vf = f \times Nteo \times Z$$

 $Vf = 0.1mm \times 1273.23 \frac{rev}{min} \times 4$
 $Vf = 509.29 \ rev/min$

Nilai $V_{\rm f}=509,29$ rev/min maka dapat dicari waktu pemesinannya sebagai berikut dimana nilai dari doc sebagai berikut

ap = 1Dcae = 0.25Dc

Dimana:

Dc = diameter pahat

ap = dept of cut vertical

ae = dept of cut horizontal

Dikarenakan pahat yang digunakan memiliki diameter (Dc) = 20mm maka besar ap dan ae adalah

 $ap = 1 \times 15$ ap = 15mm $ae = 0.25 \times 20$ ae = 5mm

Sehingga pahat dapat melakukan pemakanan secara vertikal sepanjang 15 mm dan secara horizontal sedalam 5mm, dikarenakan area benda kerja yang akan dipotong memiliki dimensi 15x3mm maka jumlah pemakanan yang diperlukan adalah 1x untuk satu sisi sedangkan pengerjaan milling pada dies pilot 6 sisi, total pemakanan adalah 6x.

$$\frac{Cut}{T} = \frac{Jumlah \ Pemakanan \times \ l_t}{Vf}$$

$$\frac{Cut}{T} = \frac{6 \times 53 \ mm}{1273,23 \ rev/min}$$

$$\frac{Cut}{T} = 0,2497 \ menit$$

Waktu yang didpatkan dalam (t_c) adalah 0,2497 menit atau 15 detik.

Dari hasil perhitungan keseluruhan dapat dilihat pada Tabel 5.8 dibawah sebagai berikut.

Tabel 5.8 Parameterpemotongan Yang Digunakan Pada Proses
Pemesinan Dies Pilot

NO	Proses	Material Pahat Potong	Dr (mm)	Vc (m/min)	f (mm/rev)	N teo (rpm)	Vf (m/min)	Doc (mm)	L (mm)	Cut/T (min)
1	Facing (Turning)	Carbide	28	100	0,5	1137, 398	568,698 8	28	5	0,00879 2
2	Roughing (Turning)	Carbide	5	100	0,5	6369, 427	3184,71	5	15	0,01413
3	Finishing (Turning)	Carbide	15,5	100	0,1	2054, 654	205,465 4	15,5	15	0,07300 5
1	Roughing (Turning)	Carbide	13	100	0,5	2449, 78	1224,89	13	150	3,6738
2	Roughing (Turning)	Carbide	5	100	0,5	6369, 427	3184,71 3	5	130	1,06132
3	Threading	Carbide	di	100	$h_{\rm eq,i}$	nop	-	1,23	20	1,72107
4	Finishing (Turning)	Carbide	0,25	100	0,1	12738 8,5	12738,8 5	0,25	130	0,01020 5
5	Side Mill	Carbide	20	80	0,1	1273, 23	509,29	1,27	53	0,2497

Tabel 5.9 Parameter Pemotongan Proses Threading yang Digunakan

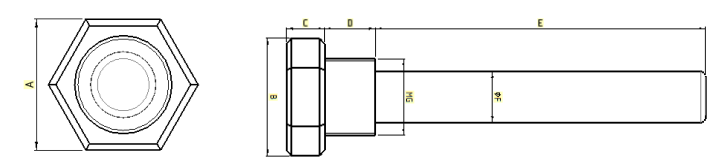
Pada Proses Pemesinan Dies Pilot

	Tada 1105C5 Telleshiai Dies Titoi											
	a_1	a_{i}	$a_{\rm eq,i}$	$b_{eq,i}$	$h_{eq,i}$	d_i	Vc	nop	Vop	1t	tc	
1		0,38282	0,81593	0,94194	0,38282	29,2343		1061,57	406,392		0,39370	
		2	5	2	2	6		1	4	20	8	
2		0,54139	0,97450		0,54139	28,9172		1061,57	574,725		0,27839	
		2	5	1,125	2	2		1	7	20	4	
3		0,66306		1,26546	0,66306	28,6738		1061,57	703,892		0,22730	
		7	1,09618	6	7	7		1	3	20	7	
4		0,76564	1,19875	1,38388	0,76564	28,4687		1061,57	812,784		0,19685	
	0,38282	3	7	3	3	1	100	1	9	20	4	
5		0,85601	1,28912	1,48821	0,85601	28,2879	100	1061,57	908,721		0,17607	
		5	9	2	5	7		1	1	20	2	
6		0,93771	1,37083	1,58253	0,93771	28,1245		1061,57	995,454		0,16073	
		8	1	2	8	6		1	1	20	1	
7		1,01285	1,44596	1,66926	1,01285			1061,57	1075,21		0,14880	
		1	4	8	1	27,9743		1	3	20	8	
8		1,08278	1,51589		1,08278	27,8344		1061,57	1149,45		0,13919	
		3	6	1,75	3	3		1	1	20	7	
	Total Penjumlahan nilai tc. $t_c = \sum_{i=1-4}^{n=4} tc, i$ 1,72107											

Hasil dari perhitungan dapat disimpulkan proses pemesinan diatas didapatkan waktu total (tc_{total}) adalah 6,56232 menit dalam pembuatan *Dies Pilot*.

5.1.2.2 Pengukuran Dimensi

Dies pilot yang telah melalui proses pemesinan dan telah selesai dibuat, kemudian diukur untuk memastikan bahwa pergerakan pahat potong sudah sesuai dengan dimensi produk. Dies pilot yang telah dibuat diukur menggunakan jangka sorong dengan kecermatan 0,02mm.



Gambar 5.8 Dimensi *Dies Pilot* Yang Diukur Pengukuran dilakukan seba*n*yak 5 kali pada setiap dimensi. Hasil pengukuran dapat dilihat pada Tabel 5.10

			Pengul	kuran K	e- (mm)		Rata – Rata
Bagian	Dimensi	1	2	3	4	5	$\mu = \sum_{1}^{5} \frac{xi, yi}{n}$
A	40 mm	40,2	40,12	40,1	40,2	40,1	40,144 mm
В	46 mm	45,3	45,28	45,6	45,36	45,3	45,368 mm
C	15 mm	16,4	16,4	16,38	16,38	16,32	16,376 mm
D	20 mm	20,32	20,4	20,32	20,4	20,4	20,368 mm
Е	130 mm	131,62	131,6	131,7	131,62	131,68	131,644 mm
ØF	20 mm	20,12	20,12	20,12	20,12	20,12	20,12 mm
ØMG	30 mm	29,08	28,9	29,08	29,08	28,9	29,008 mm

Tabel 5.10 Hasil Pengukuran Dimensi Dies Pilot

Tabel 5.10 diatas menunjukkan data hasil pengukuran dimensi *dies pilot* yang dilakukan. Data hasil pengukuran tersebut didapatkan dengan pengukuran dimensi benda mengunakan jangka sorong dengan kecermatan 0,02 mm dan untuk mencari nilai rata – rata (μ) dari 5 kali pengukuran dapat digunakan menggunakan persamaan sebagai berikut.

Rata – rata (μ) bagian (A)

$$\mu = \frac{\sum_{1}^{5} \frac{xi, yi}{n}}{\mu}$$

$$\mu = \frac{(40,2 + 40,12 + 40,1 + 40,2 + 40,1)mm}{5}$$

$$\mu = 40,144 \text{ mm}$$

Dari perhitungan rata – rata (µ) [mean] didapatkan nilai mean A = 40,144mm data acuan A = 40mm, mean B = 45,368mm data acuan B = 46mm, mean C = 16.376mm data acuan C = 15mm, mean D = 20,368mm data acuan D = 20mm, mean E = 131,644mmdata acuan E = 130mm, mean ØF = 20,12mm data acuan ØF = 20mm. $mean \ \emptyset G = 29.008mm \ data \ acuan \ \emptyset G = 30mm. \ Data hasil$ pengukuran menunjukkan kesesuaian terhadap toleransi yang dihasilkan saat verifikasi proses pemesinan. Pada hasil verifikasi tersebut toleransi yang diberikan sebesar ± 0,1 mm. Dari hasil pengukuran dan perhitungan rata – rata (μ) [mean] yang dilakukan, dimensi bagian ØF, yang dihasilkan masuk dalam batas toleransi yang diberikan. Penyimpangan yang terjadi pada dimensi yang diukur dapat disebabkan oleh pahat potong yang mengalami ke ausan, pengerjaan benda menggunakan proses pemesinan secara konvensional ataupun, Jangka sorong yang belum terkalibrasi dengan baik.

Berikut penunjukan salah satu proses pengukuran dimensi dengan menggunakan jangka sorong seperti pada gambar 5.10 di bawah.



Gambar 5.9 Pengukuran *Dies Pilot* Dengan Menggunakan Jangka Sorong Dengan Kecermatan 0,02mm

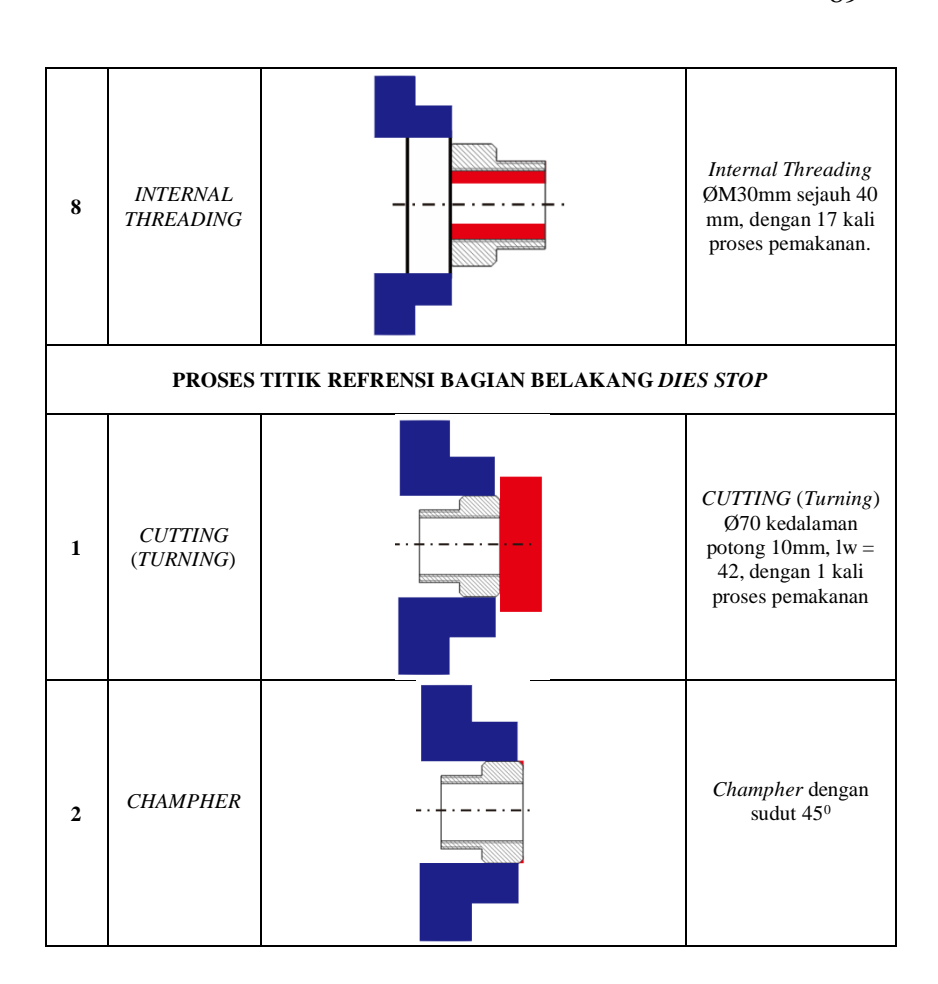
5.1.3 Dies Stop

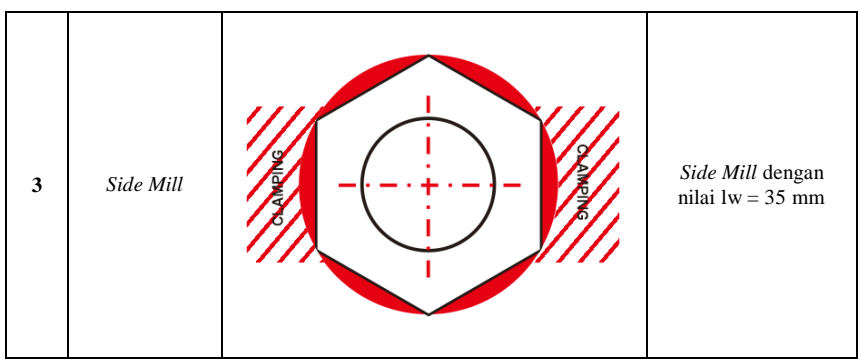
Proses yang dilakukan untuk membuat *dies stop* ini terbagi menjadi beberapa proses antara lain *Facing, Center Drill, Turning, Threading, Drilling*. Dimana urutan prosesnya dapat dilihat pada tabel dibawah.

Tabel 5.11 Rancangan Proses Pemesinan Dies Stop

NO	DETAIL PROSES	SKETCH	ANALISA PERMESINAN
	PROSI	ES TITIK REFRENSI BAGIAN DEPAN <i>DIES</i>	STOP
1	FACING (TURNING)		Facing (Turning) Ø70 sedalam 5mm, dengan dengan lw = 42., 1 kali proses pemakanan
2	CENTER DRILL		Center Drill sedalam 5mm dengan Ø5mm.
3	ROUGHING (TURNING)		Roughing (Turning), head dies Stop Ø70 menjadi Ø60 dengan kedalaman potong 20mm, badan dies necking menjadi Ø36mm dengan kedalaman potong 20mm. Dengan panjang total 40 mm. 17 kali proses pemakanan

4	RAUGHING (FINISING)	Raughing (Finishing)
5	DRILLING	<i>Boring Ø</i> 20 mm sejauh 40mm
6	ROUGHING (BORING)	Roughing (Boring)Ø20 menjadi Ø30mm kedalaman potong 40mm, dengan 2 kali proses pemakanan, dengan 1 roses kembali ke titik refrensi
7	THREADING	Threading (Turning) ØM36 sejauh 20mm dengan, 9 kali proses pemakanan.





5.1.3.1 Parameter Pemesinan

Pada penelitian ini, parameter pemotongan yang digunakan diambil dari tabel. yang ditunjukkan pada lampiran A dan juga perhitungan manual. Memiliki beberapa tahapan perhitungan manual sebagai berikut.

> Perhitungan Proses Turning

Pemilihan parameter pemotongan pada proses *turning* menggunakan Tabel 7.4 ditunjukkan pada Lampiran A

Do = Diameter awal benda kerja

Dm = Diameter rancangan --- Gambar 4.3

$$D_r = \frac{(Do - Dm)}{2}$$

Dr = Dimensi Rata – rata

Vc = Cutting Speed --- Tabel 7.4 Lampiran A f = Gerak Makan --- Tabel 7.4 Lampiran A

Nteo = Putaran Poros

Vf = Kecepatan Makan

Doc = depth of cut --- Tabel 7.4 Lampiran A

L = Panjang pemotongan pada benda kerja

Cut/T = Waktu Pemesinan

Perhitungan Proses Turning

Dari dimensi rancangan dan tabel rekomendasi dapat ditentukan Nteori dengan persamaan sebagai berikut diamana nilai dari $Dr=4,75 \text{mm}.\ Dan\ Vc=100$

$$Nteo = \frac{1000 \times Vc}{\pi \times Dr}$$

$$Nteo = \frac{1000 \times 100 \frac{m}{min}}{\pi \times 4,75 mm}$$

$$Nteo = 6704,66 rev/min$$

Nilai dari Nteori didapatkan sebesar Nteori = 6704,66 rev/min, dari nilai tersebut dapat dicari besar nilai $V_{\rm f}$ dengan persamaan sebagai berikut.

$$Vf = f \times Nteo$$

 $Vf = 0.5mm \times 6704,66rev/min$
 $Vf = 3352,33 rev/min$

Nilai Vf = 3352,33 rev/min maka dapat dicari waktu pemesinannya (Cut/T) sebagai berikut. Dimana L=20 (panjang pemesinan)

$$\frac{Cut}{T} = \frac{L}{Vf}$$

$$\frac{Cut}{T} = \frac{9 \times 20 \text{ mm}}{3352,33 \text{ rev/min}}$$

$$\frac{Cut}{T} = 0,53694 \text{ menit}$$

Waktu yang didpatkan dalam satu proses turning adalah 0,053694 menit, perhitungan diatas ditunjukkan pada tabel 5.12 dengan *rows* penanda warna kuning.

Perhitungan Proses Drilling

Pada penelitian ini, parameter pemotongan yang digunakan diambil dari Tabel 7.5. Pemilihan parameter pemotongan pada proses *turning* menggunakan Tabel 7.5 ditunjukkan pada Lampiran

A
L = Panjang pemotongan benda kerja (mm)

Dr = diameter gurdi (mm)

Nteo = Putaran Poros Vf = Kecepatan makan

Doc = Dept of cut f = Gerak Makan

Cut/T = Waktu pemotongan

Z = Jumlah gigi (mm) [2 mata potong (gigi)]

Diketahui nilai Vc dari tabel 2.4 dan Dr=20mm, maka dapat dicari Putaran Poros Nteo sebagai berikut. Dimana nilai Dr=20mm

$$Nteo = \frac{1000 \times Vc}{\pi \times Dr}$$

$$Nteo = \frac{1000 \times 20}{\pi \times 20}$$

$$Nteo = 318,4713 \text{ rpm}$$

Nilai Nteo = 318,4713 sehingga dapat dicari kecepatan makan dengan persamaan dibawah, dimana nilai Z=2 dan f dari Tabel 7.5 sebesar = 0.15

$$Vf = f \times Nteo \times Z$$

 $Vf = 0.15 \times 318,4713 \times 2$
 $Vf = 95,5414 \ m/min$

Dari persamaan diatas didapatkan nilai dari $V_{\rm f}=95,\!5414$ dari nilai tersebut dapat dicari waktu pemotonngan dengann menggunakan persamaan dibawah sebagai berikut. Dimana nilai L = 40mm panjangnya proses pengerjaan pada material uji.

$$\frac{Cut}{T} = \frac{L}{Vf}$$

$$\frac{Cut}{T} = \frac{40}{95,5414}$$

$$\frac{Cut}{T} = 0,418667 menit$$

Waktu pemotongan Cut/T=0,418667 menit = 25 detik. Merupakan waktu pemotongan untuk satu kali proses, seperti pada tabel dengan warna hijau.

> Perhitungan Proses Threading

Pada penelitian ini terbagi dua hal dalam proses pemesinan *threading* yaitu ulir luar dan ulir dalam, didapatkan dengan perhitungan manual sebagai berikut, dan para meter pemesinan ditunjukkan pada Tabel 7.4 hasil perhitungan dapat dilihat pada Tabel 5.13 berwarna biru.

<u>Ulir Luar (Tabel 5.13 Row Biru)</u>

a₁ = Kedalaman potong mula (mm) a_i = Kedalaman potong ke ... (i) (mm)

a_{eq,i} = Kedalaman potong ekuivalen (mm)

 $\begin{array}{ll} b_{eq,i} & = Lebar \ geram \ ekuivalen \\ h_{eq,i} & = Tebal \ geram \ ekuivalen \\ di & = Diameter \ yang \ dicapai \end{array}$

p = Pitch

n = Jumlah urutan pemotongan

Langkah pertama dalam menentukan waktu pemesinan threading parameter yang ditentukan adalah nilai dari (a_1) yang kemudian berlannjut seperti pada persamaan di bawah ini. Nilai dari n=5 di mana nilai tersebut ditentukan dengan 5 kali langkah dalam pembuatan ulir sedangkan nilai p=pitch=1 mm yaitu nilai dari kedalaman ulir.

$$a_1 = \frac{5}{8} \times p \times SIN60 \div \sqrt{n}$$

$$a_1 = \frac{5}{8} \times 2 \times SIN60 \div \sqrt{5}$$

$$a_2 = 0.484235 \text{ mm}$$

 $a_1 = 0.484235 \text{ mm}$

Nilai dari (a_1) sebesar 0,484235 mm maka dapat dicari nilai dari (a_i) dimana nilai dari i=langkah n ke i dimana nilai i=1 merupakan langkah pertama pada proses *threading* hingga i=5.

$$a_i = a_1 \times \sqrt{i}$$

 $a_i = 0,484235 \times \sqrt{1}$
 $a_i = 0,484235$

Nilai dari (a_i) pada i ke 1=0,484235 sehingga dapat ditentukan nilai dari $(a_{eq,i})$ dimana nilai kedalaman potong ekuivalen dapat dicari dengan persamaan dibawah.

$$a_{eq,i} = a_i + \frac{2}{8} \times p \times SIN60$$

 $a_{eq,i} = 0.484235 + \frac{2}{8} \times 2 \times SIN60$
 $a_{eq,i} = 0.917349$

Nilai dari $(a_{\rm eq,i})=0.917349$, sehingga dapat ditentukan nilai dari $(b_{\rm eq,i})$ lebar gream ekuivalen dengan persamaan berikut.

$$b_{eq,i} = a_{eq,i} \div SIN60$$

 $b_{eq,i} = 0.917349 \div SIN60$
 $b_{eq,i} = 1.059017$

Nilai dari $(b_{eq,i}) = 1,059017$. Maka dapat ditentukan nilai $(h_{eq,i})$ tebal gram ekuivalen sebagai berikut. Dimana nilai dari $a_i = 0,484235$ dan nilai dari $a_1 = 0,484235$ nilai dari i = 1

$$h_{eq,i} = a_i - a_1 \sqrt{(i-1)}$$

 $h_{eq,i} = 0.484235 - 0.484235 \sqrt{(1-1)}$
 $h_{ea,i} = 0.484235$

Hasil dari perhitunagn $(h_{eq,i})$ didapatkan nilai = 0,484235 . untuk mencari nilai di maka dapat ditentukan dengan persamaan sebagai berikut. Dimana nilai d = diameter mayor ulir luar M36, i = 1 masih dalam proses yang sama dengan urutan pemesinan ulir ke 1

$$di = d - (2 \times a_1 \times \sqrt{i})$$

 $di = 36 - (2 \times 0,484235 \times \sqrt{1})$
 $di = 35.03153$

Nilai dari di = 35,45861 diamana diameter pada tahapan i ke = 1. Untuk menentukan nilai dari n_{op} maka ditentukan dengan persamaan sebagai berikut.

$$n_{op} = \frac{(1000 \times Vc)}{\pi \times D}$$

$$n_{op} = \frac{(1000 \times 100)}{\pi \times 36}$$

$$n_{op} = 884,6426$$

Nilai dari nop = 884,6426. Langkah berikutnya menentukan nilai dari V_{op} sebagai berikut.

$$V_{op} = n_{op} \times h_{eq,i}$$

 $V_{op} = 884,6462 \times 0,484235$
 $V_{op} = 428,3752$

Nilai dari Vop = 428,3752. Untuk menentukan waktu pemotongan maka ditentukan dengan persamaan berikut, dimana

nilai L=20 , nop = 884,6462, dan heq,i = 0,484235 dengan n = 5 yaitu 5 kali proses pemakanan.

$$tc = \frac{n \times L}{n_{op} \times h_{eq,i}}$$

$$tc = \frac{5 \times 20}{884,6462 \times 0,484235}$$

$$tc = 0,23344$$

Sehingga waktu total dengan menggunakan persamaan dibawah, dimana nilai penjumlahan dari tc (i=1 sampai 5) didapatkan sebagai berikut.

$$t_{total} = \sum_{i=1-4}^{n=4} t_{c,i}$$
$$t_{total} = 0.754402$$

Sehingga waktu pemotongan total dari proses ulir luar $t_{total} = 0.754402$ menit atau 45 detik.

<u>Ulir Dalam (Tabel 5.14 Row Abu – abu)</u>

$$a_1 = \frac{4}{8} \times p \times SIN60 \div \sqrt{n}$$

$$a_1 = \frac{4}{8} \times 2 \times SIN60 \div \sqrt{9}$$

$$a_1 = 0.288742 \text{ mm}$$

Nilai dari (a_i) sebesar 0,288742mm maka dapat dicari nilai dari (a_i) dimana nilai dari i = langkah n ke i dimana nilai i = 2 merupakan langkah pertama pada proses *threading* hingga i = 8.

$$a_i = a_1 \times \sqrt{i}$$

 $a_i = 0,288742 \times \sqrt{2}$
 $a_i = 0,408343$

Nilai dari (a_i) pada i ke 2 = 0,408343 sehingga dapat ditentukan nilai dari $(a_{eq,i})$ dimana nilai kedalaman potong ekuivalen dapat dicari dengan persamaan dibawah.

$$a_{eq,i} = a_i + \frac{2}{8} \times p \times SIN60$$

 $a_{eq,i} = 0.408343 + \frac{2}{8} \times 2 \times SIN60$

$$a_{eq,i} = 0.841456$$

Nilai dari $(a_{\rm eq,i})=0.841456$, sehingga dapat ditentukan nilai dari $(b_{\rm eq,i})$ lebar gream ekuivalen dengan persamaan berikut.

$$b_{eq,i} = a_{eq,i} \div SIN60$$

 $b_{eq,i} = 0.841456 \div SIN60$

$$b_{eq,i} = 0.971405$$

Nilai dari $(b_{eq,i}) = 1$. Maka dapat ditentukan nilai $(h_{eq,i})$ tebal gram ekuivalen sebagai berikut. Dimana nilai dari $a_i = 0,408343$ dan nilai dari $a_1 = 0,841456$ nilai dari i = 2

$$h_{eq,i} = a_i - a_1 \sqrt{(i-1)}$$

$$h_{eq,i} = 0.408343 - 0.841456 \sqrt{(2-1)}$$

$$h_{eq,i} = 0.119601$$

Hasil dari perhitunagn ($h_{eq,i}$) didapatkan nilai = 0,119601 . untuk mencari nilai di maka dapat ditentukan dengan persamaan sebagai berikut. Dimana (D_1)=diameter minor ulir dalam (27,5mm), nilai dari a_1 =0,288742, i = 2, dan p = 2 (pitch).

$$di = D_1 + (2 \times a_1 \times \sqrt{i}) + (\frac{2}{8} \times p \times SIN60)$$

$$di = 27,54 + (2 \times 0,288742 \times \sqrt{2}) + (\frac{2}{8} \times 2 \times SIN60)$$

$$di = 28,7898$$

Nilai dari di = 28,7898 diamana diameter pada tahapan i ke = 2. Untuk menentukan nilai dari (n_{op}) maka ditentukan dengan persamaan sebagai berikut. Dimana nilai dari Vc = 100 dari Tabel 7.4 pada lampiran A dan D = M30 diameter mayor ulir dalam.

$$n_{op} = \frac{(1000 \times Vc)}{\pi \times D}$$

$$n_{op} = \frac{(1000 \times 100)}{\pi \times 30}$$

$$n_{op} = 1061,571$$

Nilai dari $n_{op}=1061,571$. Langkah berikutnya menentukan nilai dari Vop sebagai berikut. Dimana nilai dari $(h_{eq,i})=0,119601$.

$$V_{op} = n_{op} \times h_{eq,i}$$

 $V_{op} = 1061,571 \times 0,119601$

$$V_{op} = 126,9649$$

Nilai dari Vop = 126,9649. Untuk menentukan waktu pemotongan maka ditentukan dengan persamaan berikut, dimana nilai L = 40, $n_{op} = 1061,571$, dan heq, i = 0,119601

$$tc = \frac{4 \times L}{n_{op} \times h_{eq,i}}$$

$$tc = \frac{9 \times 40}{1061,571 \times 0,119601}$$

$$tc = 2,835429$$

Dimana waktu tc setiap proses i=2 adalah 2,376239 menit atau 2 menit 23 detik Sehingga waktu total dengan menggunakan persamaan dibawah, dimana nilai penjumlahan dari tc (i=1 sampai 8) didapatkan sebagai berikut

$$t_{total} = \sum_{i=1-4}^{n=4} t_{c,i}$$
$$t_{total} = 41,82535$$

Sehingga waktu pemotongan total dari proses ulir luar t_{total} =

41,82535 menit atau 41 menit 50 detik

Perhitungan Proses Milling \triangleright

Benda Kerja

= lebar pemotongan (mm) W = panjang pemotongan (mm)

Lt = lv + lw + ln

= kedalaman potong (mm) Pahat Frais

d = diameter luar (mm)

Gambar 5.10 Skematik Proses Milling vertikal dan milling horizontal = jumlah gigi (mata potong) 7.

= sudut potong utama (90°) untuk pahat frais selubung Xr Mesin Frais

= putaran poros utama (rpm) n

= kecepatan makan (mm/putaran) Vf

В = Jumlah pemotongan

Dari dimensi rancangan dan tabel rekomendasi dapat ditentukan nilai dari (lt) dengan persamaan sebagai berikut

$$l_t = l_v + l_w + l_n$$

Nilai dari lv,ln (clearence) sebagai berikut.

$$l_{v}, l_{n} = \left(\frac{diameter\ pahat}{2}\right) + 5mm$$

Dimana

Lv,ln = clearence

$$l_v, l_n = \left(\frac{20}{2}\right) + 5mm$$

 $l_v, l_n = 15mm$

Sehingga nilai dari lv dan ln = 39mm dapat ditentukan lt = panjang total

$$l_t = 15 + 35 + 15$$

$$l_t = 65mm$$

Nilai dari Vc berdasarkan Tabel 7.6 pada lampiran A sehingga dapat ditentukan nilai dari N = putaran poros sebagai berikut.

$$Nteo = \frac{1000 \times Vc}{\pi \times d}$$
Dimana

d = diamater pahat Vc = Cutting Speed $1000 \times 80 \frac{m}{}$

$$Nteo = \frac{1000 \times 80 \frac{m}{min}}{\pi \times 20 mm}$$

 $Nteo = 1273,23 \, rev/min$

Nilai dari Nteori didapatkan sebesar Nteori = 1273,23 rev/min, dari nilai tersebut dapat dicari besar nilai Vf dengan persamaan sebagai berikut.

$$Vf = f \times Nteo \times Z$$

$$Vf = 0.1mm \times 1273,23 \frac{rev}{min} \times 4$$

$$Vf = 509.29 \, rev/min$$

Nilai $V_{\rm f}=509,\!29\,$ rev/min maka dapat dicari waktu pemesinannya sebagai berikut dimana nilai dari doc sebagai berikut

$$ap = 1Dc$$

ae = 0.25Dc Dimana :

Dc = diameter pahat

ap = dept of cut vertical

ae = dept of cut horizontal

Dikarenakan pahat yang digunakan memiliki diameter (Dc)

= 20mm maka besar ap dan ae adalah

 $ap = 1 \times 20$

ap = 20mm

 $ae = 0.25 \times 20$

ae = 5mm

Sehingga pahat dapat melakukan pemakanan secara vertikal sepanjang 20 mm dan secara horizontal sedalam 5mm, dikarenakan area benda kerja yang akan dipotong memiliki dimensi 20x9,5mm maka jumlah pemakanan yang diperlukan adalah 1x untuk satu sisi sedangkan pengerjaan milling pada dies pilot 6 sisi, total pemakanan adalah 6x.

$$\frac{Cut}{T} = \frac{Jumlah\ Pemakanan \times l_t}{Vf}$$

$$\frac{Cut}{T} = \frac{6 \times 65\ mm}{1273,23\ rev/min}$$

$$\frac{Cut}{T} = 0,3063\ menit$$

Waktu yang didpatkan dalam (t_c) adalah 0,3063 menit atau 18 detik.

Dari hasil perhitungan keseluruhan dapat dilihat pada Tabel 5.12 dibawah sebagai berikut.

Tabel 5.12 Parameter Pemotongan yang Digunakan Pada Proses Pemesinan *Dies Stop*

NO	Proses	Material Pahat Potong	Dr (mm)	Vc (m/min)	f (mm/rev)	N teo (rpm)	Vf (m/min)	Doc (mm)	L (mm)	Cut/T (min)
1	Facing (Turning)	Carbide	35	100	0,5	909,9 181	454,959 1	5	5	0,01099
2	Center Drill	HSS	2,5	20	0,08	2547, 771	203,821 7	2,5	5	0,02453 1
3	Roughing (Turning)	Carbide	4,75	100	0,5	6704, 66	3352,33	4,75	20	0,05369 4
4	Roughing (Turning)	Carbide	17	100	0,5	1873, 361	936,680 4	5	20	0,08540 8
5	Finishing (Turning)	Carbide	0,25	100	0,1	12738 8,5	12738,8 5	0,25	20	0,00157
6	Boring	HSS	7,5	20	0,15	849,2 569	127,388 5	5	40	0,41866 7
7	Roughing (Turning)	Carbide	5	100	0,5	6369, 427	3184,71 3	5	40	0,10048
8	Threading	Carbide	d _i	100	$h_{\mathrm{eq,i}}$	n _{op}	-	0,95	20	0,91611 4
9	Internal Threading	Carbide	di	100	$h_{\rm eq,i}$	n _{op}	-	1,23	40	3,59371 9
1	Cutting	Carbide	35	100	0,5	909,9 181	454,959 1	5	10	0,02198

Tabel 5.13 Parameter Pemotongan Proses Threading yang Digunakan Pada Proses Pemesinan *Dies Stop threading luar*

	a_1	a_{i}	$a_{\rm eq,i}$	$b_{eq,i}$	$h_{eq,i}$	d_{i}	Vc	nop	Vop	lt	tc
1		0,48423	0,91734	1,05901	0,48423	35,0315		884,642	428,375		
		5	9	7	5	3		6	2	20	0,23344
2		0,68481	1,11792	1,29056	0,68481	34,6303		884,642	605,814		0,16506
	0,48423	2	6	9	2	8		6	1	20	7
3	0,46423		1,27183	1,46824		34,3225	100	884,642	741,967		0,13477
	3	0,83872	4	6	0,83872	6	100	6	7	20	7
4		0,96847	1,40158	1,61803	0,96847	34,0630		884,642	856,750		
		1	4	4	1	6		6	5	20	0,11672
5		1,08278	1,51589		1,08278	33,8344		884,642	957,876		0,10439
		3	6	1,75	3	3		6	1	20	8
Total Penjumlahan nilai tc. $t_c = \sum_{i=1-4}^{n=4} tc, i$										0,754	402

Tabel 5.14 Parameter Pemotongan Proses Threading yang Digunakan Pada Proses Pemesinan *Dies Stop threading dalam*

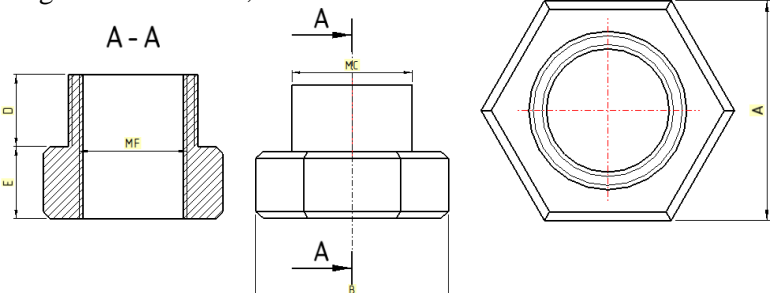
	1 ada 110ses 1 emesman Dies stop intreduing autum												
	a_1	a_{i}	$a_{\rm eq,i}$	$b_{eq,i}$	$h_{eq,i}$	d_i	Vc	nop	v_{op}	lt	tc		
1		0,28874	0,72185	0,83333	0,28874			1061,57	306,520		1,17447		
	0,28874	2	5	3	2	28,5506	100	1	4	40	3		
2	2	0,40834	0,84145	0,97140	0,11960		100	1061,57	126,964		2,83542		
		3	6	5	1	28,7898		1	9	40	9		

3	0,50011	0,93322		0,09177	28,9733		1061,57	97,4235		3,69520
	6	9	1,07735	3	5		1	9	40	4
4	0,57748	1,01059	1,16666	0,07736	29,1280		1061,57	82,1318		4,38319
	4	8	7	8	8		1	8	40	4
5	0,64564		1,24535	0,06816	29,2644		1061,57	72,3596		4,97514
	7	1,07876	6	3	1		1	4	40	9
6	0,70727	1,14038	1,31649	0,06162	29,3876		1061,57	65,4181		5,50306
	1	4	7	4	6		1	2	40	3
7		1,19705	1,38191	0,05666	29,5009		1061,57	60,1581		5,98422
	0,76394	3	7	9	9		1	7	40	5
8	0,81668		1,44280	0,05274	29,6064		1061,57	55,9938		6,42927
	6	1,2498	9	6	9		1	6	40	7
9	0,86622				29,7055		1061,57	52,5905		6,84533
	7	1,29934	1,5	0,04954	7		1	8	40	2
		Total I	Penjumlahan	niloi to t	- ∇n=4 to	;			41,	82535
		1 Otal 1	enjumanan	illial tc. ι_c	$ \angle_{i=1-4}u$, ι				

Hasil dari perhitungan dapat disimpulkan proses pemesinan diatas didapatkan waktu total (tc_{total}) adalah 43,29707 menit dalam pembuatan *Dies Stop*.

5.1.3.2 Pengukuran Dimensi *Dies Stop*.

Dies stop yang telah melalui proses pemesinan dan telah selesai dibuat, kemudian diukur untuk memastikan bahwa pergerakan pahat potong sudah sesuai dengan dimensi produk. Dies stop yang telah dibuat diukur menggunakan jangka sorong dengan kecermatan 0,02mm.



Gambar 5.11 Dimensi Dies Stop Yang Diukur

Pengukuran dilakukan sebanyak 5 kali pada setiap dimensi. Hasil pengukuran dapat dilihat pada Tabel 5.15

			Peng	gukuran	Ke-		Rata –
Bagian	Dimensi	1	2	3	4	5	Rata $\mu = \sum_{1}^{5} \frac{xi, yi}{n}$
A	50 mm	50,2	50	50	50,3	50,1	50,12 mm
В	69 mm	57,24	57,24	57,26	57,26	57,24	57,248 mm
ØMC	36 mm	35,5	35,5	35,6	35,6	35,5	35,54 mm
D	20 mm	20,6	20,6	20,58	20,6	20,6	19,664 mm
Е	20 mm	20,56	20,56	20,57	20,69	20,57	20,596 mm
ØMF	30 mm	27,76	27,76	27,78	27,78	27,88	27,772 mm

Tabel 5.15 Hasil Pengukuran Dimensi Dies Stop

Tabel 5.15 diatas menunjukkan data hasil pengukuran dimensi *dies stop* yang dilakukan. Data hasil pengukuran tersebut didapatkan dengan pengukuran dimensi benda mengunakan jangka sorong dengan kecermatan 0,02 mm dan untuk mencari nilai rata – rata (μ) [*mean*] dari 5 kali pengukuran dapat digunakan menggunakan persamaan sebagai berikut.

Rata – rata (
$$\mu$$
) [mean] bagian (\mathbf{A})
$$\mu = \sum_{1}^{5} \frac{xi, yi}{n}$$

$$\mu = \frac{(50,2 + 50 + 50 + 50,3 + 50,1)mm}{5}$$

$$\mu = 50,12 \text{ mm}$$

Dari perhitungan rata – rata (μ) [mean] didapatkan nilai mean A=50,12mm data acuan A=50mm, mean B=57,248mm data acuan B=69mm, mean $\emptyset MC=35,54$ mm data acuan $\emptyset MC=36$ mm, mean D=19,664mm data acuan D=20mm, mean E=20,596mm data acuan E=20mm, mean $\emptyset MF=27,772$ mm data acuan $\emptyset MF=30$ mm. Penyimpangan yang terjadi pada dimensi yang diukur dapat disebabkan oleh pahat potong yang mengalami keaausan, pengerjaan benda menggunakan proses pemesinan secara konvensional ataupun, Jangka sorong yang belum terkalibrasi dengan baik.

Berikut penunjukan salah satu proses pengukuran dimensi dengan menggunakan jangka sorong seperti pada Gambar 5.12 di

bawah.

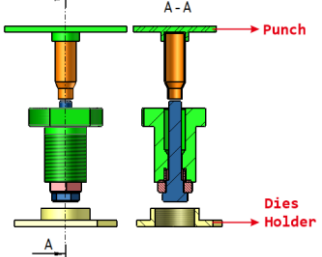


Gambar 5.12 Pengukuran *Dies Stop* Dengan Menggunakan Jangka Sorong Dengan Kecermatan 0,02mm

5.2 Tahapan Pembuatan Komponen Penunjang *Dies*Necking Selongsong Peluru Kaliber 20mm

Komponen penunjang adalah *punch* dan *dies holder* dimana komponen ini di rancang agar dapat digunakan dengan mesin press tool yang ada pada teknik mesin ITS. Kegunaan *punch* sendiri sebagai pengarah agar pembentukan *necking* pada selongsong sesuai dengan jalurnya, sedangkan *dies holder* berfungsi pemegang komponen utama *dies necking* agar tidak bergerak pada bad yang ada pada mesin press tool.

Berikut merupakan proses manufaktur yang dilakukan pada komponen penunjang pembuatan *neck*ing pada selongsong peluru kaliber 20mm



Gambar 5.13 Komponen Penunjang Pembentukan *Necking* Selongsong Peluru Kaliber 20mm

5.2.1 Punch

Proses yang dilakukan untuk membuat *punch* ini terbagi menjadi beberapa proses antara lain *Facing, Side Mill, Borring*. Dimana rencana proses menggunakan *milling* 3axis dan material ditempatkan pada *fixture*, urutan prosesnya dapat dilihat pada Tabel 5.16 dibawah.

Tabel 5.16 Rancangan Proses Pemesinan Punch

NO	DETAIL PROSES	SKETCH	ANALISA PERMESINAN
	PROSES	S TITIK REFRENSI BAGIAN DEPAN <i>DIES NE</i>	ECKING
1	FACING (MILLING)		Facing (Milling) sedalam 5 mm, dengan 1 kali proses pemakanan.
2	SIDE MILL (MILLING)		Side Mill sedalam 15mm
3	FINISHING (MILLING)		Finishing
4	POCKET (MILLING)	15 E	Pocket (Milling), head punch Ø34mm dengan kedalaman 15mm, dengan 4 kali proses pemakanan
5	FINISHING (MILLING)		Finishing
6	DRILLING (MILLING)		Borring (Milling), sampai tembus 4 kali Ø10mm

5.2.1.1 Parameter Pemesinan

Parameter pemotongan dipilih berdasarkan material benda kerja dan pahat potong yang digunakan. Parameter potong dapat diambil dari hasil perhitungan atau tabel rekomendasi. Pada penelitian ini, parameter pemotongan yang digunakan diambil dari Tabel 7.6 dan Tabel 7.7. Pemilihan parameter pemotongan pada proses milling (Frais) ditunjukkan pada Lampiran A

Perhitungan Proses milling

Benda Kerja

W = lebar pemotongan (mm)

= panjang pemotongan (mm) Lw

Lt = lv + lw + ln

= kedalaman potong (mm) a

Pahat Frais

= diameter luar (mm) d

Gambar 5.14 Skematik Proses Milling vertikal dan milling horizontal

= jumlah gigi (mata potong) 7.

= sudut potong utama (90°) untuk pahat frais selubung Xr Mesin Frais

= putaran poros utama (rpm) n

= kecepatan makan (mm/putaran)

o Perhitungan Face Milling

Dari dimensi rancangan dan tabel rekomendasi dapat ditentukan nilai dari (lt) dengan persamaan sebagai berikut

$$l_t = l_v + l_w + l_n$$

$$l_v, l_n = \left(\frac{diameter\ pahat}{2}\right) + 5mm$$

$$l_{v}, l_{n} = \left(\frac{200}{2}\right) + 5mm$$

$$l_{v}, l_{n} = 105mm$$

Sehingga nilai dari lv dan ln = 105mm dapat ditentukan lt = panjang total

$$l_t = 105 + 200 + 105$$

$$l_t = 346mm$$

Nilai dari Vc berdasarkan Tabel 7.6 pada lampiran A sehingga dapat ditentukan nilai dari N = putaran poros sebagai berikut.

$$Nteo = \frac{1000 \times Vc}{\pi \times d}$$
Dimana
$$d = \text{diamater pahat}$$

$$Vc = \text{Cutting Speed}$$

$$Nteo = \frac{1000 \times 300 \frac{m}{min}}{\pi \times 200 \text{ mm}}$$

$$Nteo = 477,46 \text{ rev/min}$$

Nilai dari Nteori didapatkan sebesar Nteori = 477,46 rev/min, dari nilai tersebut dapat dicari besar nilai $V_{\rm f}$ dengan persamaan sebagai berikut.

$$Vf = f \times Nteo \times Z$$

 $Vf = 0.127mm \times 477.46 \frac{rev}{min} \times 10$
 $Vf = 606.688 rev/min$

Nilai $V_{\rm f}=606,\!688$ rev/min maka dapat dicari waktu pemesinannya sebagai berikut

$$\frac{Cut}{T} = \frac{Jumlah Pemakanan \times l_t}{Vf}$$

$$\frac{Cut}{T} = \frac{1 \times 278 \ mm}{606,688 \ rev/min}$$

$$\frac{cut}{T} = 0,57031 \ menit$$

Waktu yang didapatkan dalam satu proses turning adalah 0,57031menit

Perhitungan Proses Drilling

Pada penelitian ini, parameter pemotongan yang digunakan diambil dari Tabel 7.5. Pemilihan parameter pemotongan pada proses *turning* menggunakan Tabel 7.5 ditunjukkan pada Lampiran A

L = Panjang pemotongan benda kerja (mm)
Dr = diameter gurdi (mm)
Nteo = Putaran Poros

Vf = Kecepatan makan

Doc = Dept of cut f = Gerak Makan

Cut/T = Waktu pemotongan

Z = Jumlah gigi (mm) [2 mata potong (gigi)]

Diketahui nilai Vc dari tabel 2.4 dan Dr=20mm, maka dapat dicari Putaran Poros Nteo sebagai berikut. Dimana nilai Dr=20 mm

$$Nteo = \frac{1000 \times Vc}{\pi \times Dr}$$

$$Nteo = \frac{1000 \times 20}{\pi \times 10}$$

$$Nteo = 636,9427 \text{ rpm}$$

Nilai Nteo = 636,9427 sehingga dapat dicari kecepatan makan dengan persamaan dibawah, dimana nilai Z=2 dan f dari Tabel 7.7 sebesar = 0.10

$$Vf = f \times Nteo \times Z$$

 $Vf = 0.10 \times 636,9427 \times 2$

 $Vf = 127,3885 \, m/min$

Dari persamaan diatas didapatkan nilai dari $V_{\rm f}=127,3885$ dari nilai tersebut dapat dicari waktu pemotonngan dengann menggunakan persamaan dibawah sebagai berikut. Dimana nilai L = 10 mm panjangnya proses pengerjaan pada material uji.

$$\frac{Cut}{T} = \frac{L}{Vf}$$

$$\frac{Cut}{T} = \frac{10}{127,3885}$$

$$\frac{Cut}{T} = 0,0785 \text{ menit}$$

Waktu pemotongan Cut/T=0.0785 menit = 5 detik. Merupakan waktu pemotongan untuk satu kali proses, seperti pada tabel dengan warna hijau.

Dari hasil perhitungan keseluruhan dapat dilihat pada Tabel 5.17 dibawah sebagai berikut

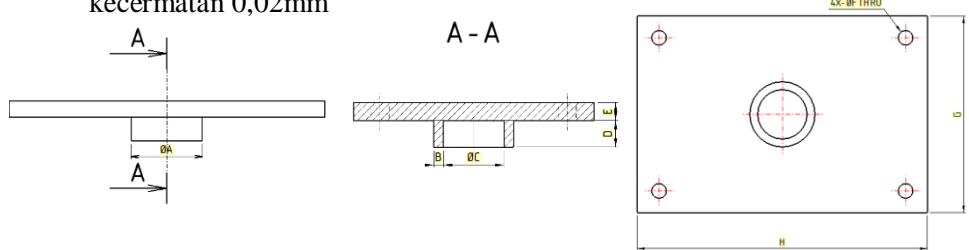
	Proses	w	lw	lv	ln	lt	a	d	z	Vc	f	Keliling lingkar an	n	vf	Тс
1	Facing	136	136	105	105	346	5	200	10	300	0,5 5	-	478	607	0,57 031
2	Side Mill	136	200	22, 5	22, 5	183 7,7	15	35	4	150	0,2 8	141,3	136 5	152 9	1,20 2162
3	Finishing	136	200	22, 5	22, 5	183 7,7	0,5	35	4	150	0,2 8	141,3	136 5	152 9	1,20 2162
4	Pocket	45	34	15	15	64	15	20	4	150	0,3	-	238 9	315 3	0,04 0598
5	finishing	44, 5	33,5	15	15	63, 5	15	20	4	150	0,2 8	-	238 9	267 5	0,04 7474
6	Boring	_	_	-	_	10	-	10	2	20	0,1	_	637	127	0,31

Tabel 5.17 Parameter Pemotongan yang Digunakan Pada Proses Pemesinan *Punch Plate*

Hasil dari perhitungan dapat disimpulkan proses pemesinan diatas didapatkan waktu total (tc_{total}) adalah 3,37671 menit dalam pembuatan *Punch Plate*.

5.2.1.2 Pengukuran Dimensi Punch

Punch yang telah melalui proses pemesinan dan telah selesai dibuat, kemudian diukur untuk memastikan bahwa pergerakan pahat potong sudah sesuai dengan dimensi produk. Punch yang telah dibuat diukur menggunakan jangka sorong dengan kecermatan 0,02mm



Gambar 5.15 Dimensi Punch Plate Yang Di Ukur

Pengukuran dilakukan sebanyak 5 kali pada setiap dimensi. Hasil pengukuran dapat dilihat pada Tabel 5.18

			Pengul	kuran Ke	- (mm)		Rata – Rata
Bagian	Dimensi	1	2	3	4	5	$\mu = \sum_{1}^{5} \frac{xi, yi}{n}$
ØA	45 mm	47,4	47,4	47,42	47,46	47,42	47,42 mm
В	6 mm	6,68	6,68	6,68	6,68	6,68	6,68 mm
ØС	34	34	34,08	34,08	34,08	34,06	34,06 mm
D	15 mm	15,5	15,52	15,5	15,54	15,52	15,516 mm
Е	10 mm	9,82	9,72	9,8	9,8	9,8	9,788 mm
ØF	10 mm	10	10	10	10	10	10 mm
G	136 mm	136,98	136,98	136,98	136,96	136,98	136,976 mm
Н	200 mm	203,56	203,56	203,56	203,6	203,56	203,568 mm

Tabel 5.18 Hasil Pengukuran Dimensi Punch Plate

Tabel 5.18 diatas menunjukkan data hasil pengukuran dimensi *punch plate* yang dilakukan. Data hasil pengukuran tersebut didapatkan dengan pengukuran dimensi benda mengunakan jangka sorong dengan kecermatan 0,02 mm dan untuk mencari nilai rata – rata (μ) [*mean*] dari 5 kali pengukuran dapat digunakan menggunakan persamaan sebagai berikut.

Rata – rata (
$$\mu$$
) [mean] bagian (\mathbf{A})
$$\mu = \sum_{1}^{5} \frac{xi, yi}{n}$$

$$\mu = \frac{(47,4 + 47,4 + 47,42 + 47,46 + 47,42)mm}{5}$$

$$\mu = 47,42 \text{ mm}$$

Dari perhitungan rata – rata (μ) [mean] didapatkan nilai mean A = 47,42mm data acuan A = 45mm, mean B = 6,68mm data acuan B = 6mm, mean ØC = 34,06mm data acuan ØC = 34mm, mean D = 15,516mm data acuan D = 15mm, mean E = 9,788mm data acuan E = 10mm, mean ØF = 10mm data acuan ØF = 10mm, mean G = 136,976mm data acuan G = 136mm, mean H = 203,568mm data acuan H = 200mm. Penyimpangan yang terjadi pada dimensi yang diukur dapat disebabkan oleh pahat potong yang mengalami keaausan, pengerjaan benda menggunakan proses pemesinan secara konvensional ataupun, Jangka sorong yang belum terkalibrasi dengan baik.

Berikut penunjukan salah satu proses pengukuran dimensi dengan menggunakan jangka sorong seperti pada Gambar 5.16 di bawah



Gambar 5.16 Pengukuran *Punch Plate* Dengan Menggunakan Jangka Sorong Dengan Kecermatan 0,02mm

5.2.2 Dies Holder

Proses yang dilakukan untuk membuat *Dies Holder* ini terbagi menjadi beberapa proses antara lain *Facing, Side Mill, Borring, Thread Mill* Dimana rencana proses menggunakan *milling* 3axis dan material ditempatkan pada *fixture*, urutan prosesnya dapat dilihat pada Tabel 5.19 dibawah.

NO DETAIL PROSES SKETCH ANALISA PERMESINAN

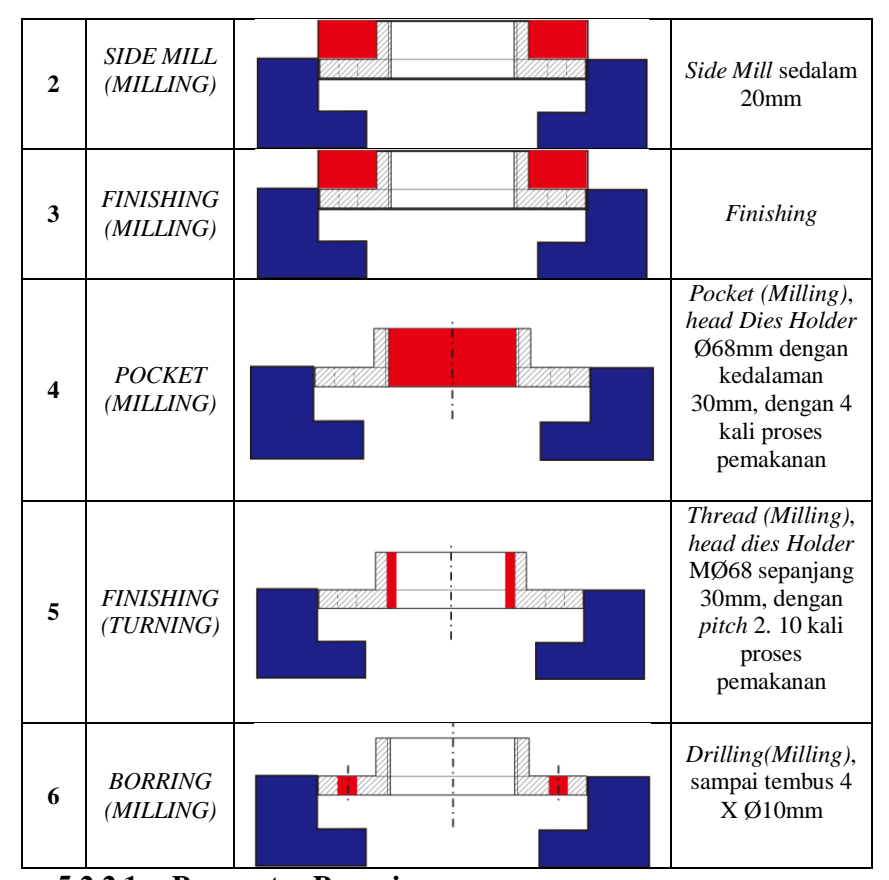
PROSES TITIK REFRENSI BAGIAN DEPAN DIES NECKING

FACING (MILLING)

FACING (MILLING)

Facing (Milling) sedalam 5 mm, dengan 1 kali proses pemakanan

Tabel 5.19 Rancangan Proses Pemesinan Dies Holder



5.2.2.1 Parameter Pemesinan

Parameter pemotongan dipilih berdasarkan material benda kerja dan pahat potong yang digunakan. Parameter potong dapat diambil dari hasil perhitungan atau tabel rekomendasi. Pada penelitian ini, parameter pemotongan yang digunakan diambil dari Tabel 7.6 dan Tabel 7.7. Pemilihan parameter pemotongan pada proses *milling* (Frais) ditunjukkan pada Lampiran A

> Perhitungan Proses milling

Benda Kerja

W = lebar pemotongan (mm)

Lw = panjang pemotongan (mm)

Lt = lv + lw + ln

a = kedalaman potong (mm)

Pahat Frais

d = diameter luar (mm)

z = jumlah gigi (mata potong)

Gambar 5.17 Skematik Proses Milling vertikal dan milling horizontal

Xr =sudut potong utama (90°) untuk pahat frais selubung

Mesin Frais

n = putaran poros utama (rpm)

Vf = kecepatan makan (mm/putaran)

Dari dimensi rancangan dan tabel rekomendasi dapat ditentukan nilai dari (l_t) dengan persamaan sebagai berikut

$$l_t = l_v + l_w + l_n$$

Dimana

$$\begin{split} l_v, l_n &= \left(\frac{diameter\ pahat}{2}\right) + 5mm \\ l_v, l_n &= \left(\frac{200}{2}\right) + 5mm \end{split}$$

 $l_{v}, l_{n} = 105mm$

Sehingga nilai dari lv dan ln = 39mm dapat ditentukan lt = panjang total

$$l_t = 105 + 200 + 150$$

 $l_t = 350mm$

Nilai dari Vc berdasarkan Tabel 7.6 pada lampiran A sehingga dapat ditentukan nilai dari N= putaran poros sebagai berikut.

$$Nteo = \frac{1000 \times Vc}{\pi \times d}$$

$$Nteo = \frac{1000 \times 75 \frac{m}{min}}{\pi \times 200 \text{ } mm}$$

 $Nteo = 119,4268 \ rev/min$

Nilai dari Nteori didapatkan sebesar Nteori = 119,4268 rev/min, dari nilai tersebut dapat dicari besar nilai Vf dengan persamaan sebagai berikut.

$$Vf = f \times Nteo \times Z$$

$$Vf = 0,127mm \times 119,4268 \frac{rev}{min} \times 10$$

 $Vf = 151,672 \ rev/min$

Nilai vf = 151,672 rev/min maka dapat dicari waktu pemesinannya sebagai berikut

$$\frac{Cut}{T} = \frac{Jumlah Pemakanan \times l_t}{Vf}$$

$$\frac{Cut}{T} = \frac{1 \times 350 \ mm}{151,672 \ rev/min}$$

$$\frac{Cut}{T} = 2,307612 \ menit$$

Waktu yang didpatkan dalam satu proses turning adalah 2,307612 menit

Perhitungan Proses Threading

Pada penelitian ini terbagi dua hal dalam proses pemesinan *threading* yaitu ulir luar dan ulir dalam, didapatkan dengan perhitungan manual sebagai berikut, dan para meter pemesinan ditunjukkan pada Tabel 7.4 hasil perhitungan dapat dilihat pada Tabel 5.20 berwarna abu - abu.

<u>Ulir Dalam (Tabel 5.21 Row Abu – abu)</u>

$$a_1 = \frac{4}{8} \times p \times SIN60 \div \sqrt{n}$$

$$a_1 = \frac{4}{8} \times 2 \times SIN60 \div \sqrt{10}$$

$$a_1 = 0.27392mm$$

Nilai dari (a_i) sebesar 0,27392 mm maka dapat dicari nilai dari (a_i) dimana nilai dari i = langkah n ke i dimana nilai i = 2 merupakan langkah pertama pada proses *threading* hingga i = 10.

$$a_i = a_1 \times \sqrt{i}$$

 $a_i = 0.27392 \times \sqrt{2}$
 $a_i = 0.387388$

Nilai dari (a_i) pada i ke 2=0,387388 sehingga dapat ditentukan nilai dari $(a_{eq,i})$ dimana nilai kedalaman potong ekuivalen dapat dicari dengan persamaan dibawah.

$$a_{eq,i} = a_i + \frac{2}{8} \times p \times SIN60$$

 $a_{eq,i} = 0.387388 + \frac{2}{8} \times 2 \times SIN60$
 $a_{eq,i} = 0.820502$

Nilai dari $(a_{eq,i}) = 0.820502$ sehingga dapat ditentukan nilai dari $(b_{eq,i})$ lebar gream ekuivalen dengan persamaan berikut.

$$b_{eq,i} = a_{eq,i} \div SIN60$$

 $b_{eq,i} = 0.820502 \div SIN60$
 $b_{eq,i} = 0.947214$

Nilai dari ($b_{eq,i}$) = 0,947214. Maka dapat ditentukan nilai ($h_{eq,i}$) tebal gram ekuivalen sebagai berikut. Dimana nilai dari a_i = 0,387388 dan nilai dari a_1 = 0,273925 nilai dari i = 2

$$h_{eq,i} = a_i - a_1 \sqrt{(i-1)}$$

 $h_{eq,i} = 0.387388 - 0.273925 \sqrt{(2-1)}$
 $h_{eq,i} = 0.113463$

Hasil dari perhitunagn ($h_{eq,i}$) didapatkan nilai = 0,113463 . untuk mencari nilai di maka dapat ditentukan dengan persamaan sebagai berikut. Dimana (D_1)=diameter minor ulir dalam (64mm), nilai dari a_1 =0,273925, n=10, dan p = 2 (pitch).

$$di = D_1 + (2 \times a_1 \times \sqrt{n}) + (\frac{2}{8} \times p \times SIN60)$$

$$di = 64 + (2 \times 0.273925 \times \sqrt{10}) + (\frac{2}{8} \times 2 \times SIN60)$$

$$di = 65,20789$$

Nilai dari di = 65,20789 diamana diameter pada tahapan i ke = 2. Untuk menentukan nilai dari (n_{op}) maka ditentukan dengan persamaan sebagai berikut. Dimana nilai dari Vc = 100 dari Tabel 7.4 pada lampiran A dan D = M68 diameter mayor ulir dalam.

$$n_{op} = \frac{(1000 \times Vc)}{\pi \times D}$$

$$n_{op} = \frac{(1000 \times 100)}{\pi \times 68}$$

$$n_{op} = 468,3402$$

Nilai dari $n_{op} = 468,3402$. Langkah berikutnya menentukan nilai dari Vop sebagai berikut. Dimana nilai dari $(h_{eq,i}) = 0,113463$.

$$V_{op} = n_{op} \times h_{eq,i}$$

 $V_{op} = 468,3402 \times 0,113463$
 $V_{op} = 53,13947$

Nilai dari Vop = 53,13947. Untuk menentukan waktu pemotongan maka ditentukan dengan persamaan berikut, dimana nilai L=30, $n_{op}=468,3402$, dan heq,i=0,113463

$$tc = \frac{10 \times L}{n_{op} \times h_{eq,i}}$$
$$tc = \frac{10 \times 30}{468,3402 \times 0,113463}$$
$$tc = 5,645521$$

Dimana waktu tc setiap proses i=2 adalah 5,645521 menit atau 5 menit 39 detik Sehingga waktu total dengan menggunakan persamaan dibawah, dimana nilai penjumlahan dari tc (i=1 sampai 4) didapatkan 3,044461 dan nilai dari tnp = 0,009

$$t_{total} = \sum_{i=1-10}^{n=10} t_{c,i}$$
$$t_{total} = 97,68711$$

Sehingga waktu pemotongan total dari proses ulir luar t_{total} = 97,68711 menit.

Perhitungan Proses Drilling

Pada penelitian ini, parameter pemotongan yang digunakan diambil dari Tabel 7.5. Pemilihan parameter pemotongan pada proses *turning* menggunakan Tabel 7.5 ditunjukkan pada Lampiran A

L = Panjang pemotongan benda kerja (mm)
d = diameter gurdi (mm)
Nteo = Putaran Poros
Vf = Kecepatan makan
Doc = Dept of cut
f = Gerak Makan
Cut/T = Waktu pemotongan

Z = Jumlah gigi (mm) [2 mata potong (gigi)]

Diketahui nilai Vc dari Tabel 7.5 dan d = 10mm, maka dapat dicari Putaran Poros Nteo sebagai berikut.

$$Nteo = \frac{1000 \times Vc}{\pi \times 10}$$

$$Nteo = \frac{1000 \times 20}{\pi \times 10}$$

$$Nteo = 636,9427 \text{ rpm}$$

Nilai Nteo = 636,9427 sehingga dapat dicari kecepatan makan dengan persamaan dibawah, dimana nilai Z=2 dan f dari tabel 7.3 sebesar = 0.10

$$Vf = f \times Nteo \times Z$$

 $Vf = 0.10 \times 636.9427 \times 2$
 $Vf = 127.3885 \, m/min$

Dari persamaan diatas didapatkan nilai dari $V_{\rm f}=127,3885$ dari nilai tersebut dapat dicari waktu pemotonngan dengann menggunakan persamaan dibawah sebagai berikut. Dimana nilai L = 10 mm panjangnya proses pengerjaan pada material uji.

$$\frac{Cut}{T} = \frac{L}{Vf}$$

$$\frac{Cut}{T} = \frac{10}{127,3885}$$

$$\frac{Cut}{T} = 0,0785 \text{ menit}$$

Waktu pemotongan Cut/T=0.0785 menit =5 detik. Merupakan waktu pemotongan untuk satu kali proses, seperti pada tabel dengan warna hijau.

Dari hasil perhitungan keseluruhan dapat dilihat pada Tabel 5.20 dibawah sebagai berikut

Tabel 5.20 Parameter Pemotongan yang Digunakan Pada Proses Pemesinan *Dies Holder*

	Proses	w	Lw	lv	ln	lt	a	d	z	Vc	f	Keliling lingkaran	n	vf	Тс
1	Facing	120	140	39	39	350	5	200	10	75	0,127	-	119	152	2,307612
2	Side Mill	120	140	22,5	22,5	722,6	20	35	4	45	0,1	141,3	410	164	4,411874
3	Finishing	120	140	22,5	22,5	722,6	0,5	35	4	75	0,1	141,3	682	273	2,647125
4	Pocket	68	68	15	15	98	30	20	4	45	0,13	-	717	373	0,263009
5	Threading	-	-	-	-	30	a _{eq,i}	di	-	100	h _{eq,i}	-	nop	-	97,6871
6	Drilling	-	-	-	-	10	-	10	2	20	0,10	-	637	127	0,0785

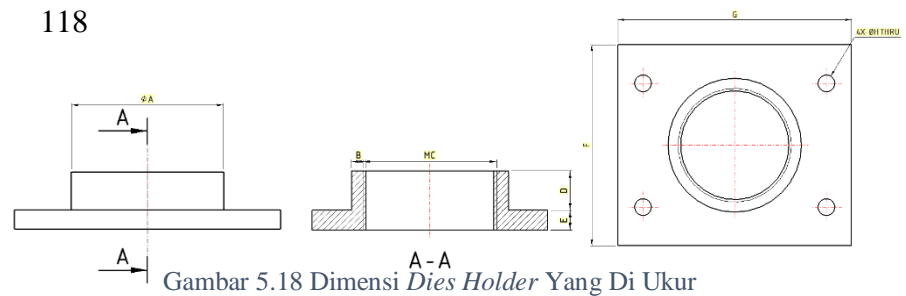
Tabel 5.21 Parameter Pemotongan yang Digunakan Pada Proses

Inreading pada Pemesinan Dies Holder												
	a_1	a_{i}	a _{eq,i}	b _{eq,i}	h _{eq,i}	di	Vc	nop	Vop	lt	tc	
1		0,2739 25	0,7070 38	0,8162 28	0,2739 25	64,980 96		468,34 02	128,29	30	2,338451	
2		0,3873 88	0,8205 02	0,9472 14	0,1134 63	65,207 89		468,34 02	53,139 47	30	5,645521	
3		0,4744 52	0,9075 65	1,0477 23	0,0870 64	65,382 02		468,34 02	40,775 35	30	7,357386	
4		0,5478 5	0,9809 63	1,1324 56	0,0733 98	65,528 81		468,34 02	34,375 21	30	8,727219	
5	0,8662	0,6125 15	1,0456 28	1,2071 07	0,0646 65	65,658 14	100	468,34 02	30,285 17	30	9,905838	
6	27	0,6709 76	1,1040 89	1,2745 97	0,0584 62	65,775 07	100	468,34 02	27,379 89	30	10,95695	
7		0,7247 37	1,1578 5	1,3366 6	0,0537 61	65,882 59		468,34 02	25,178 4	30	11,91497	
8		0,7747 77	1,2078 9	1,3944 27	0,0500 39	65,982 67		468,34 02	23,435 49	30	12,8011	
9		0,8217 75	1,2548 88	1,4486 83	0,0469 98	66,076 66		468,34 02	22,011 09	30	13,62949	
10 0,8662 1,2993 1,5 0,0444 66,165 468,34 20,818 30 14,41019												
	Total Penjumlahan nilai tc. $t_c = \sum_{i=1-4}^{n=4} tc, i$ 97,68711											

Hasil dari perhitungan dapat disimpulkan proses pemesinan diatas didapatkan waktu total (tc_{total}) adalah 108,1843 menit dalam pembuatan dies holder.

5.2.2.2 Pengukuran Dimensi *Dies Holder*

Dies Holder yang telah melalui proses pemesinan dan telah selesai dibuat, kemudian diukur untuk memastikan bahwa pergerakan pahat potong sudah sesuai dengan dimensi produk. Dies Holder yang telah dibuat diukur menggunakan jangka sorong dengan kecermatan 0,02mm



Pengukuran dilakukan sebanyak 5 kali pada setiap dimensi.

Hasil pengukuran dapat dilihat pada Tabel 5.22

Tabel 5.22 Hasil Pengukuran Dimensi *Dies Holder*

Bagian	Dimensi (mm)		Rata – Rata					
		1	2	3	4	5	$\mu = \sum_{1}^{5} \frac{xi, yi}{n}$	
ØA	80	79,9	79,9	79,9	79,9	79,9	79,9 mm	
В	7,5	7,7	7,7	7,7	7,7	7,7	7,77 mm	
ØMC	68	65,1	65,1	65,1	65,1	65,1	65,1 mm	
D	20	16,06	16	16,02	16,08	16,1	16,05 mm	
Е	10	9,78	9,9	9,88	9,82	9,8	9,84 mm	
F	120	119,5	119,5	119,48	119,48	119,5	119,49 mm	
G	140	140,1	140,1	140,1	140,1	140,1	140,1 mm	
ØН	10	10,8	10,8	10,8	10,8	10,8	10,8 mm	

Tabel 5.22 diatas menunjukkan data hasil pengukuran dimensi *punch plate* yang dilakukan. Data hasil pengukuran tersebut didapatkan dengan pengukuran dimensi benda mengunakan jangka sorong dengan kecermatan 0,02 mm dan untuk mencari nilai rata – rata (μ) [mean] dari 5 kali pengukuran dapat digunakan menggunakan persamaan sebagai berikut.

Rata – rata (
$$\mu$$
) [mean] bagian (E)
$$\mu = \sum_{1}^{5} \frac{xi, yi}{n}$$

$$\mu = \frac{(9,78 + 9,9 + 9,88 + 9,82 + 9,8)mm}{5}$$

$$\mu = 9,84 \text{ mm}$$

Dari perhitungan rata – rata (μ) [mean] didapatkan nilai mean ØA = 79,9mm data acuan ØA = 80mm, mean B = 7,7mm data acuan B = 7,5mm, mean ØMC = 65,1mm data acuan ØMC = 68mm, mean D = 16,05mm data acuan D = 20mm, mean E = 9,836mm data acuan E = 10mm, mean ØF = 119,49mm data acuan ØF = 120mm, mean G = 140,1mm data acuan G = 140mm, mean ØH = 10,8mm data acuan ØH = 10mm Penyimpangan yang terjadi pada dimensi yang diukur dapat disebabkan oleh pahat potong yang mengalami keaausan, pengerjaan benda menggunakan proses pemesinan secara konvensional ataupun, Jangka sorong yang belum terkalibrasi dengan baik.

Berikut penunjukan salah satu proses pengukuran dimensi dengan menggunakan jangka sorong seperti pada gambar 5.33 di bawah.



Gambar 5.19 Pengukuran *Dies Holder* Dengan Menggunakan Jangka Sorong Dengan Kecermatan 0,02mm

5.3 Uji Coba Fungsi *Dies Set Necking* Untuk Pembentukan *Necking*

Uji coba fungsi *dies set necking* dilakukan dengan mesin *press tool* hidrolik dengan tonase maksimal 50ton. Tujuan dilakukan uji coba ini adalah untuk mengetahui kinerja dari *dies set necking* yang telah dibuat dan dirakit untuk pembentukan necking. adapun tahapan yang dilakukan dalam percobaan pembentukan necking ini antara lain:



Gambar 5.20 Mesin Press Pengujian *Necking* dengan Tonase Maksimum 50 Ton.

5.3.1 Persiapan Alat Dan Bahan

Alat, mesin dan bahan yang disiapkan pada percobaan pembentukan necking ini antara lain :

- 1. Mesin press hidrolik
- 2. Dies set necking
- 3. Pipa diameter 32mm dipotong dengan panjang 200mm (10 buah)
- 4. Pelumas (oli)
- 5. Jangka sorong
- 6. Spidol

5.3.2 Langkah – Langkah Uji Coba Dies set necking

Pengujian pembentukan necking dilakukan sebanyak 10 kali. adapun langkah – langkahnya sebagai berikut :

- 1. Pemotongan pipa dengan panjang 200mm sebanyak 10 buah dengan merapikan bibir pada pipa agar saat uji coba dapat dilakukan dengan hasil yang maksimal.
- 2. Perakitan *dies set necking* secara keseluruhan dari komponen utama hingga komponen penunjang seperti, dies necking, dies stop, dies pilot, dies holder dan punch plate.

- 3. Dilakukan pelumasan pada dies necking dan dies pilot dengan pemberian oli.
- 4. Penempatan dies set necking pada mesin press hidrolik
- 5. Pemberian pelumas pada selongsong (pipa uji)
- 6. Setting mesin press hidrolik dengan stoper pada mesin press sebelum terjadinya bending pada pipa, hal ini dilakukan pada pengujian pertama pada pembebanan penuh hingga pipa bending, ± 20mm jarak penekanan pipa.
- 7. Setelah stoper pada mesin press di setting mulai dilakukan percobaan sebanyak 10 kali.
- 8. Pengukuran hasil diameter luar dan dalam pada hasil necking untuk dijadikan pembahasan selanjutnya.



Gambar 5.21 Pengujian ke 6 proses Necking

5.3.3 Hasil Uji Coba Pembentukan Necking

Hasil uji coba yang telah dilakukan ditulis dan dilakukan pembahasan. Hasil uji coba dan bahasan tersebut dibagi menjadi dua yaitu pengukuran hasil necking diameter luar dan diameter dalam sebanyak 10 kali percobaan dengan 5 kali pengukuran seperti berikut.

5.3.3.1 Hasil Uji Coba Necking Diameter Luar.

Uji coba pertama adalah uji coba jarak maksimum penekanan pada selongsong. Pada uji coba ini didapatkan jarak

penekanan maksimum yang dapat diterima oleh selongsong 1,54mm, bila melebihi jarak tersebut maka selongsong mengalami bending, sehingga diperlukan stoper pada mesin press tool untuk menetapkan berhenti pada jarak tersebut sebelum terjadinya bending. Percobaan ini tidak dimasukkan pada data percobaan pertama melainkan sebagi uji coba sebelum dilakukan pengambilan data. Dapat disimpulkan data dibawah Tabel 5.23 didapatkan jarak penekana yang seragam yaitu 1,54mm

Dilakukan pengukuran sebanyak 5 kali dengan 10 kali percobaan dengan data sebagaai berikut.

Tabel 5.23 Percoban necking diameter fuar											
5X Perhitungan	10 Kali Percobaan Dengan Panjang Pipa 200mm Diameter Luar 32mm Dan Diameter Dalam 29,34mm (Dalam mm)										
	1	2	3	4	5	6	7	8	9	10	
1	25	24,86	25	25	24,92	25,12	24,92	24,94	24,94	24,8	
2	25	24,88	25	25	24,94	25,04	24,92	24,94	24,92	24,82	
3	24,92	24,84	25,04	25	24,96	25,04	24,92	24,94	24,92	24,8	
4	24,94	24,88	25	25	24,94	25,04	24,94	24,92	24,92	24,82	
5	24,94	24,88	25	24,92	24,92	25,08	24,92	24,94	24,92	24,82	
Rata - Rata	24,96	24,87	25,01	24,98	24,94	25,06	24,92	24,94	24,92	24,81	

Tabel 5.23 Percobaan necking diameter luar

Dari hasil percobaan diatas dilakukan pengukuran 5 kali dengan nilai rata – rata total dari 10 kali percobaan sebagai berikut. Rata – rata total (µ) [mean]

$$X = \sum_{1}^{10} \frac{xi, yi}{n}$$

$$(24,96 + 24,87 + 25,01 + 24,98 + 24,94 + 25,06 + 24,92 + 24,94 + 24,92 + 24,81)mm$$

X = 24.94 mm

Didapatkan nilai rata – rata total diameter luar pada pembentukan necking sebesar Ø24,94mm, sedangkan pada diameter necking dari dies necking yaitu ØI 25,08mm (rata – rata dari hasil pengukuran jangka sorong dies necking **tabel 5.4**) hal ini membuktikan bahwa *dies set necking* dapat berfungsi sesuai dengan fungsinya.

Untuk menentukan toleransi dari hasil pembentukan necking diameter dalam maka ditentukan Standart deviasi sebagai berikut :

$$S = \sqrt{\sum_{i=1}^{n} \frac{(Xi - X)^2}{n - 1}}$$
Dimana:
$$Xi = \text{data ke i}$$

$$X = \text{Rata Rata data i (24,94mm)}$$

$$n = \text{sample size (50)}$$

$$S = \sqrt{\frac{0,243072}{49}}$$

Sehingga dapat disimpulkan toleransi yang diberikan pada selongsong adalah ± 0.07 . Ditambahkan nilai rata – rata $\pm 3 \times$ standart deviasai Toleransi hasil dari perhitunagan $3 \times$ rata – rata standart deviasi kemampuan dies membentuk necking adalah

24,94±0,21 mm

 $S = \pm 0.07$

5.3.3.2 Hasil Uji Coba Necking Diameter Dalam.

Dilakukan pengukuran sebanyak 5 kali dengan 10 kali percobaan dengan data sebagai berikut.

Tabel 5.24 Percobaan Necking Diameter Dalam.

5X	10 Kali Percobaan Dengan Panjang Pipa 200mm Diameter Luar 32mm Dan Diameter Dalam										
Perhitunga				2	9,34mm (1	Dalam mn	1)				
n	1	2	3	4	5	6	7	8	9	10	
1	22,34	22,2	22,34	22,34	22,26	22,46	22,26	22,28	22,28	22,14	
2	22,34	22,22	22,34	22,34	22,28	22,38	22,26	22,28	22,26	22,16	
3	22,26	22,18	22,38	22,34	22,3	22,38	22,26	22,28	22,26	22,14	
4	22,28	22,22	22,34	22,34	22,28	22,38	22,28	22,26	22,26	22,16	
5	22,28	22,22	22,34	22,26	22,26	22,42	22,26	22,28	22,26	22,16	
Rata - Rata	22,3	22,21	22,35	22,32	22,28	22,40	22,26	22,28	22,26	22,15	

Dari hasil percobaan diatas dilakukan pengukuran 5 kali dengan nilai rata – rata total dari 10 kali percobaan sebagai berikut. Rata – rata total (µ) [mean]

$$X = \sum_{1}^{10} \frac{xi, yi}{n}$$

$$(22,3 + 22,21 + 22,35 + 22,32 + 22,28 + 22,40 + 22,26 + 22,28 + 22,26 + 22,15)mm$$

 $X = 22,28 \, \text{mm}$

Nilai rata – rata total diameter pada pembentukan necking sebesar Ø22,2816mm, sedangkan pada diameter dies pilot sebesar ØF 20,12mm (rata – rata dari hasil pengukuran jangka sorong dies pilot **tabel 5.7**) terjadi selisih lebih besar pada diameter dalam necking dengan nilai 2,16mm, yang seharunya mendekati nilai dari diamter dies pilot yaitu ±Ø20mm. Hal ini disebabkan terjadi kesalahan pada saat manufaktur dengan diameter *dies necking* pada rancangan disain yaitu Ø23mm dan pada hasil manufaktur sebesar Ø25,08mm dengan besar nilai selisih 2,08mm sesuai dengan selisih anatara selongsong necking dengan dies pilot ±2mm. Sehingga perlu dilakukan perbaikan pada dies necking dengan diameter yang sesuai.





Gambar 5.22 Pengujian proses necking dengan menggunakan *dies set* necking dan mesin press tool

BAB 6 KESIMPULAN DAN SARAN

6.1 KESIMPULAN

Berdasarkan hasil perancangan, dan pembahasan yang telah dilakukan maka kesimpulan pada tugas akhir ini adalah :

- 1. Merancang komponen *dies set* untuk pembentukan *necking* selongsong peluru kaliber 20mm
 - a. Penentuan dimensi dies necking dalam perhitungan manual didapatkan nilai :

Ketinggian H = 17,17 mm
 Tebal e = 14,23 mm
 Diameter dies Ø = 22,73 mm

- b. Analisa kekuatan material pada komponen utama:
 - Dies necking sebesar 238,4 MPa
 - Dies pilot sebesar 216,8 MPa
 - Dies Stop sebesar 218,7 MPa
 - Yield strength Material Stainless Steel 416 sebesar 275
 MPa

Analisa Kekuatan material pada komponen penunjang

- Punch Plate sebesar 2,244 MPa
- *Compressive strength* Material *Alumunium* 6061 sebesar **30 MPa**
- Dies Holder sebesar 26,2 MPa

Sehingga material tersebut aman untuk digunakan

- c. Perhitungan manual tegangan yang diterima selongsong CuZn30 saat necking 289 MPa, dibandingkan dengan Ultimate Tensile Strength CuZn30 yaitu 339 MPa. dapat disimpulkan material benda kerja CuZn30 tidak mengalami robek
- 2. Membuat *dies set* necking untuk pembentukan selongsong peluru kaliber 20mm dan pengujian hasil pembentukan *necking* pada selongsong.

- a. Pengukuran hasil pemesinan diukur menggunakan jangka sorong dengan kecermatan 0,02mm. Bagian tersebut adalah
 - ➤ Dies Necking:
 - mean I = 18,79mm data acuan I = 23mm,
 - mean \emptyset **I** = 25,08mm data acuan \emptyset **I** = 23mm,
 - mean L = 27,06 data acuan L = 34,50.
 - Dies Pilot:
- b. Pengujian *dies set* dalam pembentukan *necking* dengan menggunakan mesin *press tool* dilakukan 10X, dimana menggunakan selongsong berbahan *stainless steel* didapatkan hasil sebagai berikut:
 - \triangleright Diameter Luar selongsong pada necking mean $\mu = 24.94$ mm
 - \triangleright Diameter dalam selongsong pada necking mean $\mu = 22,28$ mm
 - ➤ Toleransi hasil dari perhitunagan 3× rata rata standart deviasi kemampuan dies membentuk necking adalah 24,94±0,21 mm

6.2 SARAN

Dari hasil penelitian yang dilakukan, saran yang dapat diberikan adalah sebagai berikut.

- Diperlukan tahap 5 proses ironing untuk mendapatkan hasil sudut yang lebih landai pada proses necking yang baik, agar tidak teradi bending pada bulet case ketika di press.
- 2. Diperlukan 2 kali tahapan dalam pembentukan necking dengan variasi sudut dari landai menuju lebih kerucut
- 3. Penggunaan mesin CNC untuk hasil yang lebih presisi dan mudah, khususnya pada dies necking.

DAFTAR PUSTAKA

- [1] catridgecollectors (no date) *CATRIDGE*. Available at: catridgecollectors.org (Accessed: 20 December 2019).
- [2] Lyman book 48th edition (no date) 'Reloading Handbook'.
- [3] Mechanciantech (2019) *Metal Spinning*. Available at: Mechanciantech.com (Accessed: 8 November 2019).
- [4] J.R. Paquin and R. E. Crowley, CmfgE, P. (no date) second edition Die Design Fundamentals.
- [5] Schuler (no date) Handbook Of Metal Forming.
- [6] Kurt Lange (1994) Solid Forward Extrusion.
- [7] Heinz (no date) Metal Forming Practise.
- [8] Missler Software (no date) 'TopSolid7 Training Guide Basic'.
- [9] Kalpakjian (no date) *Manufacturing Engineering & Technology*.
- [10] Fisher Ulrich (no date) Mechanical and Metal Trades Handbook.
- [11] Artha Gandhi Widhi. (2015) 'Perancangan Dies Set Untuk Proses Ironing Selongsong Peluru Kaliber 20 milimeter', Perancangan Dies Set Untuk Proses Ironing Selongsong Peluru Kaliber 20 milimeter.
- [12] Baskara (2018) 'Rancang Bangun Ironing Dies dengan Bantuan CAD/CAM TopSolid7 Untuk Membuat selongsong Peluru Kaliber 20 Milimeter'.
- [13] Dian Aprilia Dwiyanti (2017) 'Rancang Bangun Cup Holder Pada Proses Deep Drawing Pembuatan Selongsong Peluru Kaliber 20 Mm', Rancang Bangun Cup Holder Pada Proses Deep Drawing Pembuatan Selongsong Peluru Kaliber 20 mm.
- [14]Dicky Rachmat, I. M. L. (2017) 'Topsolid7 CAM Aplication for machining', pp. 7–9.
- [15] Idiar (2016) 'Rancang Bangun cetakan deep drawing cup silindris untuk selongsong peluru caliber 20 milimeter', Rancang Bangun cetakan deep drawing cup silindris untuk selongsong peluru caliber 20 milimeter.

- [16] Nushron Ali, I Made Londen Batan, Bambang Pramujati, A. S. P. N. A. (no date) 'Simulation Of Ironing Process For Bullet Case To Get Minimum Forming Force With Variation Of Die Angle And Reduction Wall Thickness'.
- [17] Yuliafif Afrizal (2016) 'DEEP DRAWING CUP SELONGSONG PELURU', Rancang Bangun Cup Ejector Pada Drawing Cup Selongsong Peluru Kaliber 20 mm.
- [18] Norton, Robert L., 2006. *Machine Design: An Integrated Approach*. Prentice Hall.
- [19]suchy, I. (1998). *Handbook Of Dies Design*. New York: RR Donnelley.

LAMPIRAN A

Mesin Press Tool Teknik Mesin 7.1



Perancangan Frame Mesin Press Hidrolik Untuk Proses Ironing Selongsong Peluru Kaliber 20 Milimeter

Oleh: Doni Yunansha 2110100008 Pembimbing: Prof. Dr.-Ing. Ir. I Made Londen Batan, M.Eng

Uraian Penelitian

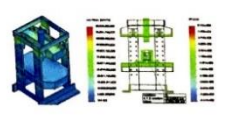
Ironing merupakan salah satu tahap dalam proses pembuatan selongsong peluru. Agar diperoleh hadi selongsong peluru yang presisi, maka diperikan sebuah mesin press yang rigid. Saati nidi kampus ITS sudah terdapat mesin press hidrolik berkapasitas 9,4 ton, tetapi konstruksinya kurang menadai dan kondisinya sudah berkarat. Oleh karean itu maka dikembangkan frame mesin press berkapasitas 5 ton yang dapat digunakan untuk menopang proses ironing selongsong peluru kaliber 20mm.



Sebagai tahap awal perancangan frame, disusun daftar kebutuhan dan dibuat 3 bush alternatif konsep frame mein press. Analisis tegangan dan defleksi dilakukan menggunakan software AD berdasarkan irteria Yon Mises. Kemudian untuk memilih konsep terhaik maka dilakukan penlaian maning-maning konsep. Konsep terhaik akan dikembangkan menjadi rancangan akhir.

Analisis Tegangan & Defleksi

Analisis tegangan dilakukan untuk memastikan bahwa faktor keamanan yang diperoleh berada di atas yarat perancangan sebesar 3, a trinya frome aman dipunakan. Analisis defleksi dilakukan untuk memastikan ulais deleksi di bibir dise dibawah defleksi maksimu sebesar 13 mikron, sehingga dapat dihasilian selonggong peluru yang tidak cacat.



Hasil simulasi menunjukkan pada desain frame alternatif 1 didapatkan tegangan maksimum 60,03 MPa & faktor keamanan sebesar 3,46. Defleksi pada bibir dies sebesar 0,53 mikron.



Hasil simulasi menunjukkanpada desain frame alternatif 2 didapatkan tegangan maksimum 53,02 MPa & faktor keamanan sebesar 3,91. Defleksi pada bibir dies sebesar 0,88 mikron.





Hasil simulasi menunjukkan pada desain frame alternatif 3 didapatkan tegangan maksimum 13,1 MPa&faktor keamanan sebesar 15,76. Defleksi pada bibir dies sebesar 0,3 mikron.

Daftar Kebutuhan

Untuk mengembangkan konsep alternatif dilakukan penyusunan daftar kebutuhan sebagai acuan awal perancangan. Daftar kebutuhan berisi kriteria perancangan dan uraian kebutuhan serta persyaratan atau

No	Kriteria	Uralan Kebutuhan	Syarat/ Harapan
1	Fleksibilitas posisi bed	Posisi bed bisa dinaik-turunkan Pengaturan posisi bed tidak membutuhkan alat bantu	Harapan Harapan
2	Biaya	Harga material tidak tinggi Biaya pembuatan tidak tinggi	Harapan Harapan
3	Aksesibilitas operator	Benda kerja dapat diakses operator dengan mudah dari sisi depan Benda kerja dapat diakses dari sisi depan maupun samping	Syarat Harapan
4	Kekustan Konstruksi	Kuat menahan beban press maksimum sebesar 5 ton Defleksi horizontal yang terjadi pada bibir dies yang kontak dengan benda kerja maksimum sebesar 0,013 mm.	Syarat Syarat
5	Proses Manufaktur	Depet dibuat dengan proses manufaktur konvensional	Harapan
6	Berat	Mudah diangkat dan dipindahkan	Harapan
7	Pemeliharaan	Mudah dipelihara Mudah diperbaiki tanpa membutuhkan special tools	Syarut Harapan

Alternatif Konsep

Ada 3 konsep frame mesin press yang dibuat sebagai alternatif. Ada 3 konsep Irame mesin press yang dibuat sebagai alternatif.
Perbedaan utama dari ketiga konsep tersebut adalah jenis konstruksi
pilarnya, dimana alternatif 1 menggunakan plat, alternatif 2
menggunakan profil H, dan alternatif 3 menggunakan profil box-shaped.



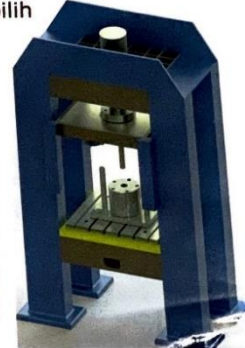
Alternatif 1



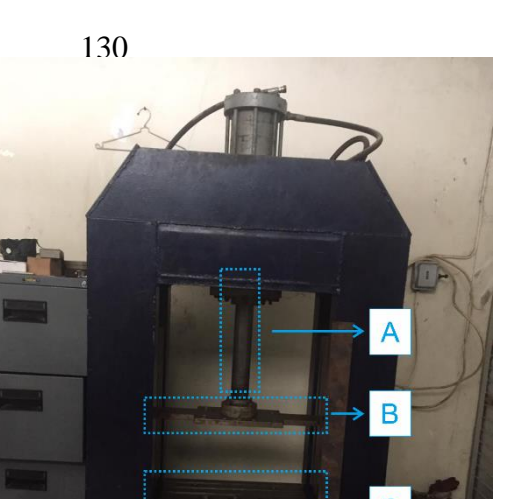


Konsep Terpilih

Setelah dilakukan analisis tegangan & defleksi terhadap ketiga alternatif konsep, selanjutnya dilakukan pemilihan konsep alternatif berdasarkan kriteria yang telah ditetapkan pada daftar kebutuhan. Ber-dasarkan nilai defleksi maksimum yang terjadi, ditetapkan konsep alternatif 3 sebagai konsep terpilih dan selanjutnya dilakukan perancangan komponen dan proses pembuatannya. Frame hasil perancangan memiliki panjang 1050 mm, lebar 590 mm, dan tinggi 1637 mm.



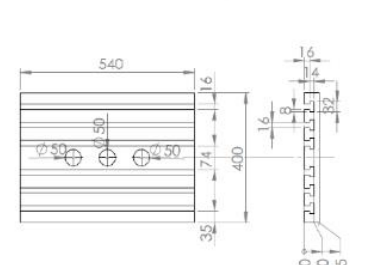
Gambar 7.1 Press Tool Teknik Mesin ITS







Gambar 7.2 Dimensi Ukuran Bed pada mesin press tool yang ada di teknik mesin ITS



Tabel 7.1 Spesifikasi Dimensi Mesin Press Tool Teknik

UK	URAN <i>PRESS TOOL</i> TEKN	NIK MESIN ITS
Α	Panjang Stroke Hidrolik	± 400 mm
В	Ram	20 x 200 x 300 mm
C	Bed	45 x 450 x 500 mm

Tabel 7.2 Appendix Static dan Kinetic Friction Coefficient. (https://vdocuments.mx/static-and-kinetic-friction-coefficients.html)

Appendix: Static and Kinetic Friction Coefficients for Selected Materials / 71

Table 1 Friction coefficient data for metals sliding on metals

Metals tested in air at room temperature

M	laterial			Friction coefficient			Material		Friction coefficient		
Fixed specimen	Moving specimen	Test geometry(a)	Static	Kinetic	Ref	Fixed specimen	Moving specimen	Test geometry(a)	Static	Kinetic	Re
Ag	Ag	IS	0.50		1	Pt	Ni	IS	D.64		
-	Au	IS	0.53		1		Pt	IS	D.55		i
	Cu	IS	0.48		1	Sn	Fe	IS	0.55		i
	Fe	IS	0.49	111	1		Sn	IS	0.74		- i
Al	Al	IS	0.57		1	Steel	Cu	SPOF		0.80	5
	Ti	IS	0.54		1		Ph	SPOF		1.40	5
Al, alloy 6061-T6	Al. alloy 6061-T6	FOF	0.42	0.34	2	Steel, 1020	Steel 4619	BOR		0.54	4
,,	Cu	FOF	0.28	0.23	2	Steel, 1032	Al, alloy 6061-T6	FOF	0.47	0.38	2
	Steel, 1032	FOF	0.35	0.25	2		Cu	FOF	0.32	0.25	2
	Ti-6Al-4V	FOF	0.34	0.29	2		Steel, 1032	FOF	0.31	0.23	2
Au	Ag	IS	0.53		ī		Ti-6Al-4V	FOF	0.36	0.32	2
	Au	IS	0.49		i	Steel, 52100	NixAl, alloy	RSOF	0.54	1.08	6
Brass, 60Cu-40Zn	Steel, tool	POR		0.24	3	5661, 52100	IC-396M	ROOT		1.00	
Cd	Cd	IS	0.79	0.24	í		Ni ₁ Al, alloy IC-50	RSOF		0.70	6
	Fe	IS	0.52		i		Steel, 1015 annealed	BOR		0.74	7
Co	Co	IS	0.56		i	1	Steel, dual-phase	BOR		0.55	ź
CO	Cr	IS	0.30		- 1		DP-80	BOK		0.33	- /
Cr	Co	LS	0.41		- 1		Steel, O2 tool	BOR		0.49	7
CI	Cr	IS	0.46		- 1	Steel, mild	Steel, mild				
Cu	Co	IS.	0.44		- :	Steel, M50 tool		BOR		0.62	3
Cu	Cr	IS	0.44			Steel, M50 tool Steel, stainless	Ni ₃ Al, alloy IC-50	RSOF		0.68	6
		IS					Steel, tool	POR		0.53	3
	Cu		0.55		- !	Steel, stainless 304	Cu	FOF	0.23	0.21	2
	Fe	IS IS	0.50		- !	Stellite	Steel, tool	POR		0.60	3
	Ni		0.49		1	Ti	Al	IS	0.54		l.
0	Zn	1S	0.56				Steel, 17-4 stainless	POF	0.48	0.48	8
Cu, OFHC	Steel, 4619	BOR		0.82	4		Ti	POF	0.47	0.40	8
Fe	Co	IS	0.41		1		Ti	FOF	0.55		1
	Cr	IS	0.48		1		Ti-6Al-4V	POF	0.43	0.36	8
	Fe	IS	0.51		1	Ti-6Al-4V	Al, alloy 6061-T6	FOF	0.41	0.38	2
	Mg	IS	0.51		- 1		Cu-Al (bronze)	POF	0.36	0.27	8
	Mo	IS	0.46		1		Nitronic 60	POF	0.38	0.31	8
	Ti	IS	0.49		1		Steel, 17-4 stainless	POF	0.36	0.31	8
	W	IS	0.47		1		Steel, Type 440C	POF	0.44	0.37	8
	Zn	IS	0.55		1		stainless				
n	In	IS	1.46		1		Stellite 12	POF	0.35	0.29	8
Mg	Mg	IS	0.69		1		Stellite 6	POF	0.45	0.36	8
Mo	Fe	IS	0.46		1		Ta	POF	0.53	0.53	8
	Mo	IS	0.44		1		Ti-6Al-4V	FOF	0.36	0.30	2
Nb	Nb	IS	0.46		1	1	Ti-6Al-4V	POF	0.36	0.31	8
Ni	Cr	IS	0.59		- 1	w	Cu	IS	0.41		- 1
	Ni	IS	0.50		- 1		Fe	IS	0.47		1
	Pt	IS	0.64		1		w	IS	0.51		i
РЬ	Ag	IS	0.73		1	Zn	Cu	IS	0.56		i
	Au	IS	0.61		i		Fe	IS	0.55		i
	Co	IS	0.55		i		Zn	IS	0.75		- i
	Cr	IS	0.53		i	Zr	Zr	IS	0.63		- i
	Fe	IS	0.54		- i						
	Pb	IS	0.90		- i						
	Steel	SPOF		0.80	5						

Tabel 7.3 Mechanical Properties Alumunium 6061 and Stainless Steel 304

Material:

Material:	Aluminum - Advantages and Properties of Aluminum
Composition:	Al+alloying elements commonly Si Cu Mg occasionally Fe Ni Zn.

Property	Minimum Value (S.I.)	Maximum Value (S.I.)	Units (S.I.)	Minimum Value (Imp.)	Maximum Value (Imp.)	Units (Imp
Atomic Volume (average)	0.0069	0.0072	m ³ /kmol	421.064	439.371	in ³ /kmol
Density	7.85	8.06	Mg/m³	490.06	503.17	lb/ft ³
Energy Content	89	108	MJ/kg	9642.14	11700.6	kcal/lb
Bulk Modulus	134	151	GPa	19.435	21.9007	10 ⁶ psi
Compressive Strength	205	310	MPa	29.7327	44.9617	ksi
Ductility	0.3	0.57		0.3	0.57	NULL
Elastic Limit	205	310	MPa	29.7327	44.9617	ksi
Endurance Limit	175	260	MPa	25.3816	37.7098	ksi
Fracture Toughness	119	228	MPa.m ^{1/2}	108.296	207.491	ksi.in ^{1/2}
Hardness	1700	2100	MPa	246.564	304.579	ksi
Loss Coefficient	0.00095	0.0013		0.00095	0.0013	NULL
Modulus of Rupture	205	310	MPa	29.7327	44.9617	ksi

0.265

10.7328

73.9692

0.275

11.7481

89.9234

NULL

10⁶ psi

ksi

0.265

510

Poisson's Ratio

Modulus Tensile

Strength

0.275

81

620

GPa

MPa

Stainless Steel - Grade 304 (UNS S30400) Fe/<.08C/17.5-20Cr/8-11Ni/<2Mn/<1Si/<.045P/<.03S

Property	Minimum Value (S.J.)	Maximum Value (S.I.)	Units (S.I.)	Minimum Value (Imp.)	Maximum Value (Imp.)
Atomic Volume (average)	0.01	0.011	m ³ /kmal	610.237	671.261
Density	2.57	2.95	Mg/m ³	160.44	184.163
Energy Content	235	335	MJ/kg	25459.6	36293.5
Bulk Modulus	62	106	GPa	8.99233	15.374
Compressive Strength	30	280	MPa	4.35113	40.6106
Ductility	0.01	0.4		0.01	0.4
Elastic Limit	30	280	MPa	4.35113	40.6106
Endurance Limit	20	105	MPa	2.90075	15.229
Fracture Toughness	18	35	MPa.m ^{1/2}	16.3808	31.8516
Hardness	245	1250	MPa	35.5343	181.297
Lass Coefficient	0.0001	0.0025		0.0001	0.0025
Modulus of Rupture	30	280	MPa	4.35113	40.6106
Poisson's Ratio	0.32	0.36		0.32	0.36
Shear Modulus	25	34	GPa	3.62594	4.93128
Tensile Strength	75	360	MPa	10.8778	52.2136
Young's Modulus	68	88.5	GPa	9.86256	12.8358

7.2 Parameter Pemesinan

> Proses Turning

Tabel 7.4 Menunjukkan rekomendasi parameter pemotongan yang digunakan.

Workpiece mate	erial	Cutting	Feed	Cutting depth
Material group	Tensile strength R _m in N/mm ² or Hardness HB	speed v _c in m/min	f in mm	a _p in mm
Steels, low strength	R _m ≤ 800	200-350		
Steels, high strength	R _m > 800	100-200]	
Stainless steels	R _m ≥ 800	80-200		
Cast iron, malleable cast iron	≤ 250 HB	100-300	0.1-0.5	00.50
Al alloys	R _m ≤ 350	400-800	0.1-0.5	0.3-5.0
Cu allows	R = 500	150-300	7	

Penggunaan material Stainless Steel 304 termasuk dalam klasifikasi steel, high strength pada tabel rekomendasi. Dari tabel rekomendasi tersebut cutting speed (kecepatan potong) material dengan klasifikasi tersebut adalah 100 m/min – 200 m/min. Batas atas kecepatan potong yaitu 100 m/min digunakan sebagai kecepatan potong saat proses finising dan batas bawah kecepatan potong yaitu 200m/min digunakan sebagai kecepatan potong pada proses roughing. pada kolom feed (gerak makan), batas atas feed yaitu 0,5 mm digunakan sebagai besar gerak makan pada proses roughing. sementara itu batas bawah feed yaitu 0,1 mm digunakan sebagai besar gerak makan pada proses finishing. Kedalaman pemakanan yang digunakan sesuai dengan rekomendasi tabel. Untuk proses roughing kedalam pemakanan yang digunakan sebesar 5 mm dan pada proses finishing sebesar 0,3 mm. Sementara parameter proses gurdi menggunakan tabel, dimana pemilihan parameter dilakukan sebagai berikut.

Proses Drilling

Tabel 7.5 Menunjukkan rekomendasi parameter pemotongan yang digunakan.

Workpiece mate	rial	Cutting	Drill diameter d in mm							
Material group	Tensile strength	speed ²¹	2-3	>3-6	>6-12	>12-25	>25-50			
	R _m in N/mm ² or Hardness HB	m/min	Feed f in mm/revolution							
Steels, low strength	R _m ≤ 800	40	0.05	0.10	0.15	0.25	0.35			
Steels, high strength	R _m > 800	20	0.04	0.08	0.10	0.15	0.20			
Stainless steels	R _m ≤ 800	12	0.03	0.06	0.08	0.12	0.18			
Cast iron, malleable cast iron	≤ 250 HB	20	0.10	0.20	0.30	0.40	0.60			

Cutting speed yang direkomendasikan adalah sebesar 20 m/min. Pada proses center drill, diameter drill yang digunakan adalah 5 mm sehingga feed yang direkomendasikan sebesar 0,08 mm/rev. Proses boring dengan menggunakan diameter 20 mm, menggunakan feed sebesar 0,15 mm/rev.

Pada penelitian ini, mesin CNC *Turning* yang digunakan memiliki kecepatan putaran *spindle* maksimum sebesar 3500 rpm. Saat proses *turning*, untuk mendapatkan kecepatan pemakanan yang konstan maka putaran *spindle* akan mengikuti diameter. Semakin kecil diameter yang dikerjakan maka semakin besar putaran *spindle* yang dihasilkan. Sementara saat melakukan proses gurdi, putaran *spindle* yang digunakan adalah konstan sehingga penggunaan tabel rekomendasi seperti gambar 5.7 diatas digunakan untuk perhitungan putaran *spindle* sebagai berikut.

Proses Milling

Tabel 7.6 Cutting Speed untuk Proses Frais

Material	High-speed	steel cutter	Carbide cutter					
Material	ft/min	m/min	ft/min	m/min				
Machine steel	70-100	21-30	150-250	45-75				
Tool steel	60-70	18-20	125-200	40-80				
Cast iron	50-80	15-25	125-200	40-80				
Bronze	65-120	20-35	200-400	80-120				
Aluminium	500-1000	150-300	1000-2000	150-300				

Tabel 7.7 Feed Untuk Proses Frais

,	APPROXIMATE MAXIMUM FEED PER TOOTH FOR VARIOUS CUTTERS WORK MATERIAL AND APPROXIMATE MAXIMUM BRINELL HARDNEES												
Typt of Cutter	Alu- minium	Brass 110	Bronze 130	Steel Mild 150	Steel Med. 180	Steel Tough 200	Steel Alloy 250	Cast Iron 150	Cast Iron 200	Cast Iron 250			
Face	0.55	0.55	0.45	0.28	0.23	0.20	0.18	0.45	0.38	0.33			
Slab	0.43	0.43	0.35	0.23	0.18	0.15	0.13	0.35	0.30	0.25			
Slot S&F	0.33	0.33	0.28	0.18	0.15	0.13	0.10	0.28	0.23	0.20			
End	0.28	0.28	0.23	0.13	0.13	0.10	0.10	0.23	0.20	0.15			
Form	0.15	0.15	0.13	0.10	0.07	0.07	0.05	0.13	0.13	0.10			
Saw	0.15	0.13	0.10	0.07	0.07	0.05	0.05	0.10	0.10	0.07			

Tabel 7.8 Parameter proses milling dengan diameter tool 20mm

Applications	Workpiece Material	Application	Depth of Cut (apxae) (mm)	Outside Dia. Do (mm)	Ø3	04	Ø5	26	Ø8	Ø10	Ø12	Ø16	Ø20	Ø25
		Shouldering	1Dcx0.3Dc	Spindle Revolution (min ⁻)	13,300	10,000	8,000	6,600	5,000	4,000	3,300	2,500	2,000	1,600
	Carbon Steel	Situating	TOCKOUDO	Feed Rate (mm/min)	1,860	1,600	1,440	1,320	1,200	1,360	1,320	1,200	1,200	1,360
	Carbon Steel	Slotting	1Dc	Spindle Revolution (min)	/		/	6,600	5,000	4,000	3,300	2,500	2,000	1,60
			100	Feed Rate (mm/min)	/			660	600	680	660	600	600	680
50		Shouldering	1Dcx0.3Dc	Spindle Revolution (min ⁻¹)	10,600	8,000	6,400	5,300	4,000	3,200	2,700	2,000	1,600	1,30
	Alloy Steel	snoutering	IDGX0.3DC	Feed Rate (mm/min)	1,180	1,020	920	840	880	890	860	880	830	1,04
ae Shouldering	-	Slotting	0.75Dc	Spindle Revolution (min)				5,300	4,000	3,200	2,700	2,000	1,600	1,30
				Feed Rate (mm/min)				420	440	440	430	440	410	520
		Shouldwing	1Dcx0.25Dc	Spindle Revolution (min)	8,500	6,400	5,100	4,200	3,200	2,500	2,100	1,600	1,300	1,00
Shouldering	Pre-hardened steel	Situating		Feed Rate (mm/min)	710	610	550	500	570	550	580	570	570	700
	30-45HRC	Slotting	0.5Dc	Spindle Revolution (min')	/	/	/	4,200	3,200	2,500	2,100	1,600	1,300	1,00
				Feed Rate (mm/min)	/			250	290	280	290	280	280	350
\sim		De-Marie	1De×0.25De	Spindle Revolution (min [*])	5,300	4,000	3,200	2,700	2,000	1,600	1,300	1,000	800	600
	Stainless Steel	Shouldering		Feed Rate (mm/min)	290	250	230	210	240	250	230	240	240	270
The Control		2.02.0	100000	Spindle Revolution (min [*])	/	/	/	2,700	2,000	1,600	1,300	1,000	800	600
Slotting		Slotting	0.4Dc	Feed Rate (mm/min)	/		/	100	120	120	120	120	120	130
		1000	40. 000.	Spindle Revolution (min*)	3,700	2,800	2,200	1,900	1,400	1,100	900	700	550	450
	Titanium Alloys	Shouldering	1Dcx0.2Dc	Feed Rate (mm/min)	160	130	110	110	110	130	120	140	130	150
	Heat-resistant Alloys (40~50HRC)	Slotting	0.000	Spindle Revolution (min')	/	/	/	1,900	1,400	1,100	900	700	550	450
			0.3Dc	Feed Rate (mm/min)	/	/	/	60	60	60	60	70	70	80

➤ Proses Threading

Tabel 7.9 Parameter Proses threading dengan pitch 2mm

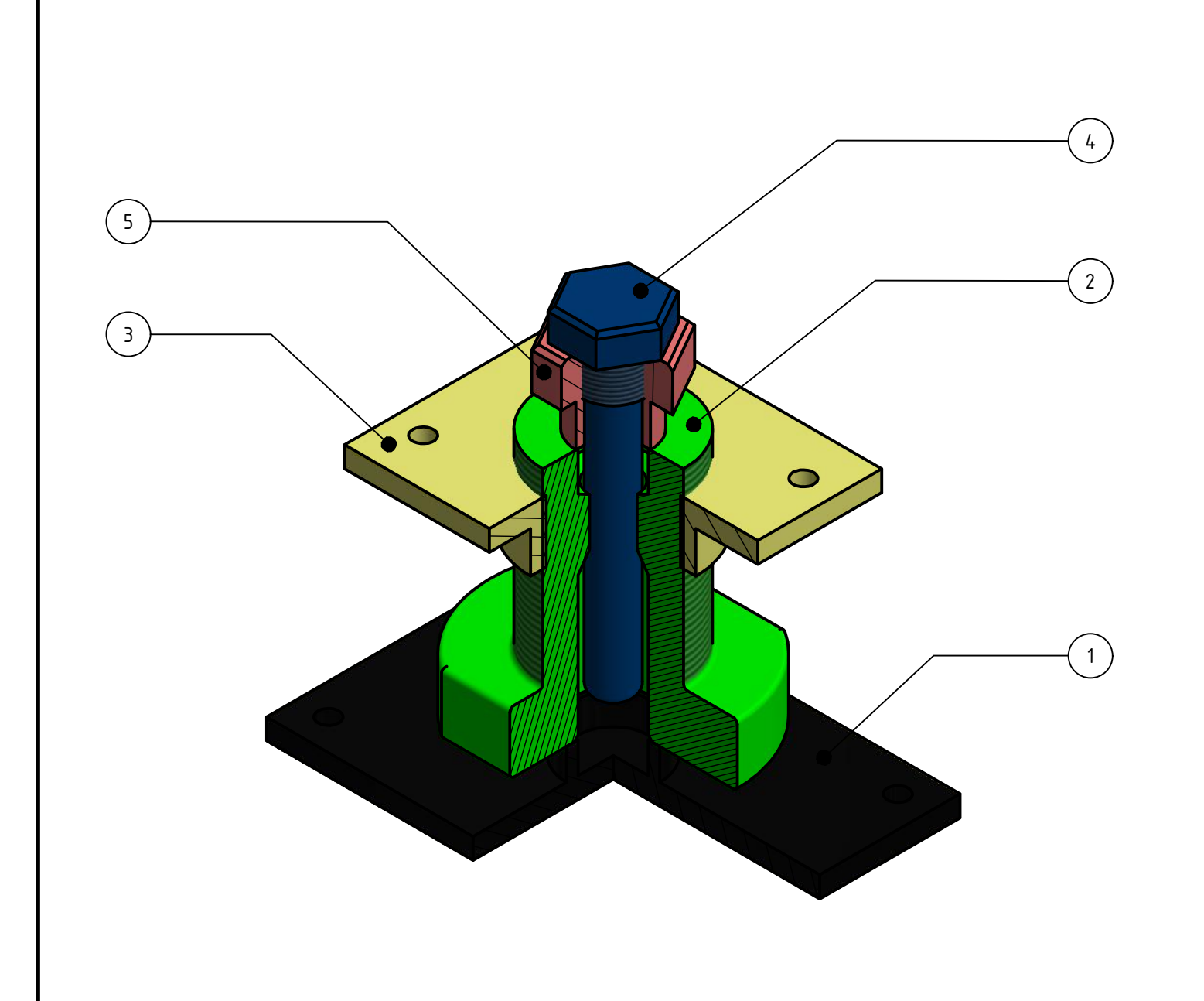
3	1) Max.ap	e cautio																																																									
	1) Max.ap		n for E	ull Profile	ineart											R	ioner-R (12)	\neg																																									
																		X			F																																						
3			the value of C+0.0020"-C+0.0031". thing shall be 0.0008"-0.0020".														/`	\	0																																								
4				to thread min			norove in	sert life										/			ļ																																						
		t is recommended.												Γ				_																																									
		/ 4 O T		<i>,</i> = =																																																							
	11	/ 16 I	ype	(Full P	rofile	e)										(D.O.	.C. sho	ws the	value o	f radial	D.O.																																						
		D1 1																																																									
	Thread Type	Pitch	Par	t Number	С	Total D.O.C.	No. of	1	2	3	4	5	6	7 Pass	8	9	10 Pass	11	12	13	14																																						
		mm & TPI				D.O.G.	Passes	Pass	Pass	Pass	Pass	Pass	Pass	Pass	Pass	Pass	Pass	Pass	Pass	Pass	Pa																																						
		1.00mm	16E%	100ISO-TF	0.64	0.72	5	0.23	0.19	0.15	0.10	0.05																																															
		1.25mm		125ISO-TF	0.80	0.88	6	0.26	0.21	0.16	0.12	0.08	0.05																																														
		1.50mm		150ISO-TF	0.95	1.03	6	0.26	0.24	0.21	0.16	0.11	0.05																																														
		1.75mm		175ISO-TF	1.11	1.19	8	0.26	0.22	0.19	0.16	0.13	0.10	0.08	0.05																																												
	Threading	2.00mm		200ISO-TF	1.27	1.35	10	0.26	0.21	0.18	0.16	0.14	0.12	0.10	0.08	0.05	0.05																																										
	lea ea	2.50mm 3.00mm		250ISO-TF 300ISO-TF	1.57	1.65	12	0.26	0.23	0.21	0.18	0.14	0.12	0.12	0.10	0.10	0.08	0.06	0.05	0.05	0.0																																						
	E	0.50mm	16E%	050ISO-1F	0.33	0.38	4	0.14	0.12	0.22	0.20	0.18	0.16	0.14	0.12	0.10	0.10	0.08	0.06	0.05	0.0																																						
	External	0.75mm		075ISO	0.48	0.53	5	0.17	0.12	0.10	0.08	0.04																																															
	l ä	1.00mm		100ISO	0.64	0.72	5	0.17	0.19	0.15	0.10	0.05																																															
		1.25mm		125ISO	0.80	0.88	6	0.26	0.21	0.16	0.12	0.08	0.05																																														
		1,50mm		150ISO	0.95	1.03	6	0.26	0.24	0.21	0.16	0.11	0.05																																														
		2.00mm			200ISO	1.27	1.35	10	0.26	0.21	0.18	0.16	0.14	0.12	0.10	0.08	0.05	0.05																																									
		2.50mm		250ISO	1.57	1.65	12	0.26	0.23	0.21	0.18	0.14	0.12	0.12	0.10	0.10	0.08	0.06	0.05																																								
		1.00mm	111%	100ISO-TF	0.60	0.68	5	0.20	0.18	0.15	0.11	0.04																																															
		1.25mm		125ISO-TF	0.74	0.82	7	0.20	0.18	0.14	0.12	0.08	0.06	0.04																																													
		1.50mm		150ISO-TF	0.88	0.96	8	0.24	0.18	0.14	0.10	0.10	0.08	0.07	0.05																																												
		1.75mm		175ISO-TF	1.02	1.10	9	0.24	0.18	0.16	0.14	0.10	0.10	0.08	0.05	0.05																																											
		0.50mm	111%	050ISO	0.31	0.36	4	0.14	0.10	0.08	0.04																																																
		0.75mm	n n n		075ISO	0.45	0.50	5	0.15	0.14	0.10	0.07	0.04																																														
		1.00mm 1.25mm																																								100ISO 125ISO	0.60	0.88	7	0.20	0.18	0.15	0.11	0.04	0.06	0.04			_				
		1.50mm																																									150ISO	0.74	0.02	8	0.24	0.18	0.14	0.12	0.10	0.08	0.04	0.05		_	_		
		1.75mm																										175ISO	1.02	1,10	9	0.24	0.18	0.14	0.10	0.10	0.10	0.07	0.05	0.05					_														
	Internal Threading	2.00mm			200ISO	1.18	1.26	10	0.24	0.20	0.18	0.14	0.12	0.10	0.10	0.08	0.05	0.05																																									
	8	1.00mm	161%	100ISO-TF	0.60	0.68	5	0.20	0.18	0.15	0.11	0.04																																															
	트	1.25mm		125ISO-TF	0.74	0.82	7	0.20	0.18	0.14	0.12	0.08	0.06	0.04																																													
	E	1.50mm	n n	150ISO-TF	0.88	0.96	8	0.22	0.18	0.14	0.12	0.10	0.08	0.07	0.05																																												
	=	1.75mm		175ISO-TF	1.02	1.10	9	0.22	0.18	0.16	0.14	0.12	0.10	0.08	0.05	0.05																																											
		2.00mm		200ISO-TF	1.18	1.26	10	0.24	0.20	0.18	0.14	0.12	0.10	0.10	0.08	0.05	0.05																																										
		2.50mm		250ISO-TF	1.46	1.54	12	0.26	0.22	0.18	0.16	0.14	0.12	0.10	0.10	0.08	0.08	0.05	0.05																																								
		3.00mm		300ISO-TF	1.76	1.84	14	0.26	0.24	0.21	0.18	0.16	0.15	0.13	0.12	0.10	0.10	0.07	0.05	0.05	0.0																																						
		1.00mm	161%	100ISO	0.60	0.68	5	0.20	0.18	0.15	0.11	0.04	0.00	0.01																																													
		1.25mm		125ISO 150ISO	0.74	0.82	7	0.20	0.18	0.14	0.12	0.08	0.06	0.04	0.05	-					-																																						
		1.50mm 2.00mm		150ISO 200ISO	1,18	1.26	10	0.22	0.18	0.14	0.12	0.10	0.08	0.07	0.05	0.05	0.05				-																																						
		2.50mm		250ISO	1.18	1.54	12	0.24	0.20	0.18	0.14	0.12	0.10	0.10	0.08	0.08	0.08	0.05	0.05		-																																						
		3.00mm		300ISO	1.76	1.84	14	0.26	0.24	0.10	0.18	0.14	0.12	0.10	0.10	0.10	0.10	0.03	0.05	0.05	0.0																																						

BIOGRAFI PENULIS

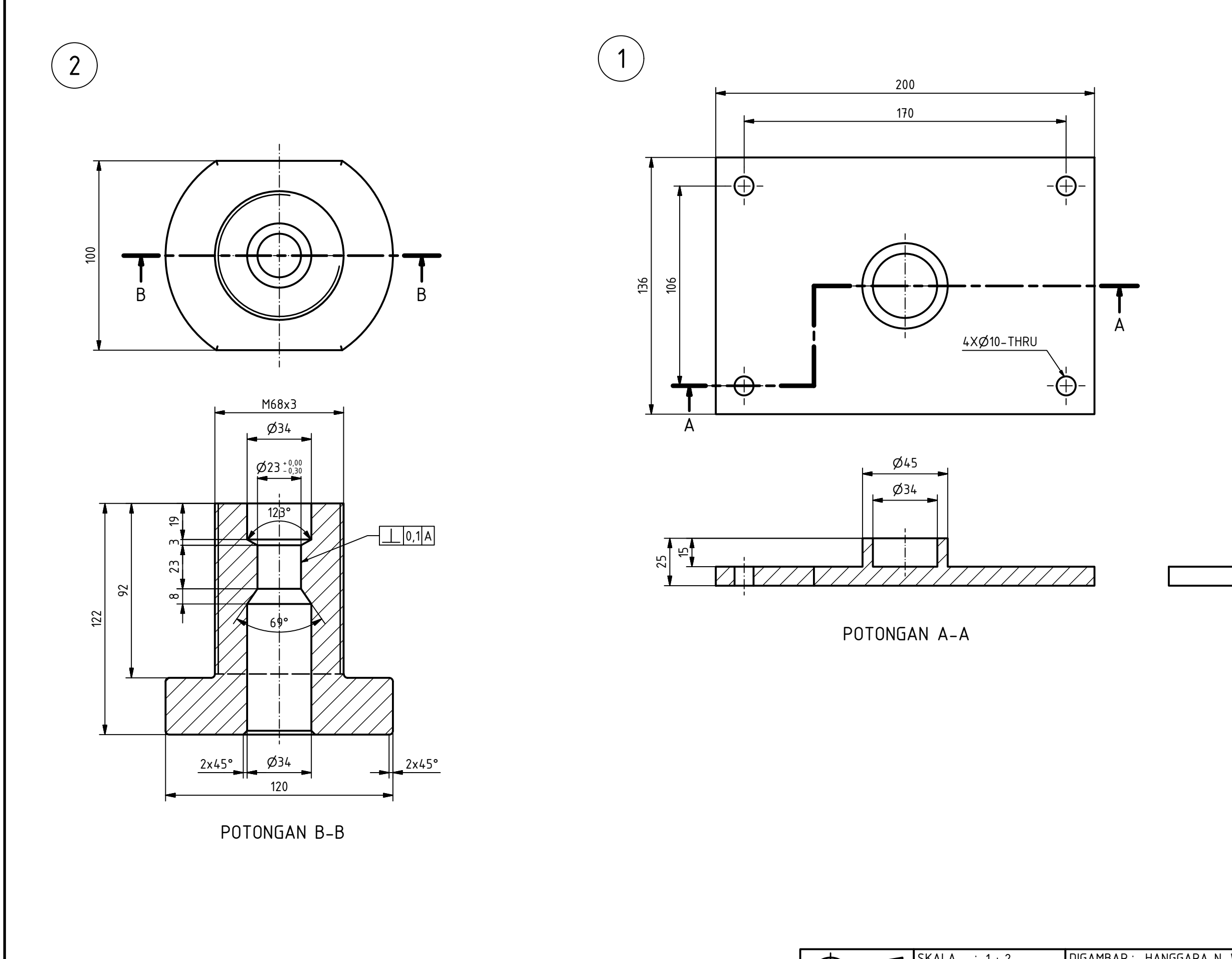


Hanggara Nandiwardhana, lahir pada 08 November 1994 di kota Gresik, merupakan anak kedua dari 2 bersoudara. Penulis telah menempuh pendidikan formal yaitu di TK. Bhakti 6 Gresik, SD Negeri Sidokumpul 2 Gresik, SMP Negeri 1 Gresik, SMA Muhammadiyah 1 Gresik, dan akhirnya penulis masuk menjadi

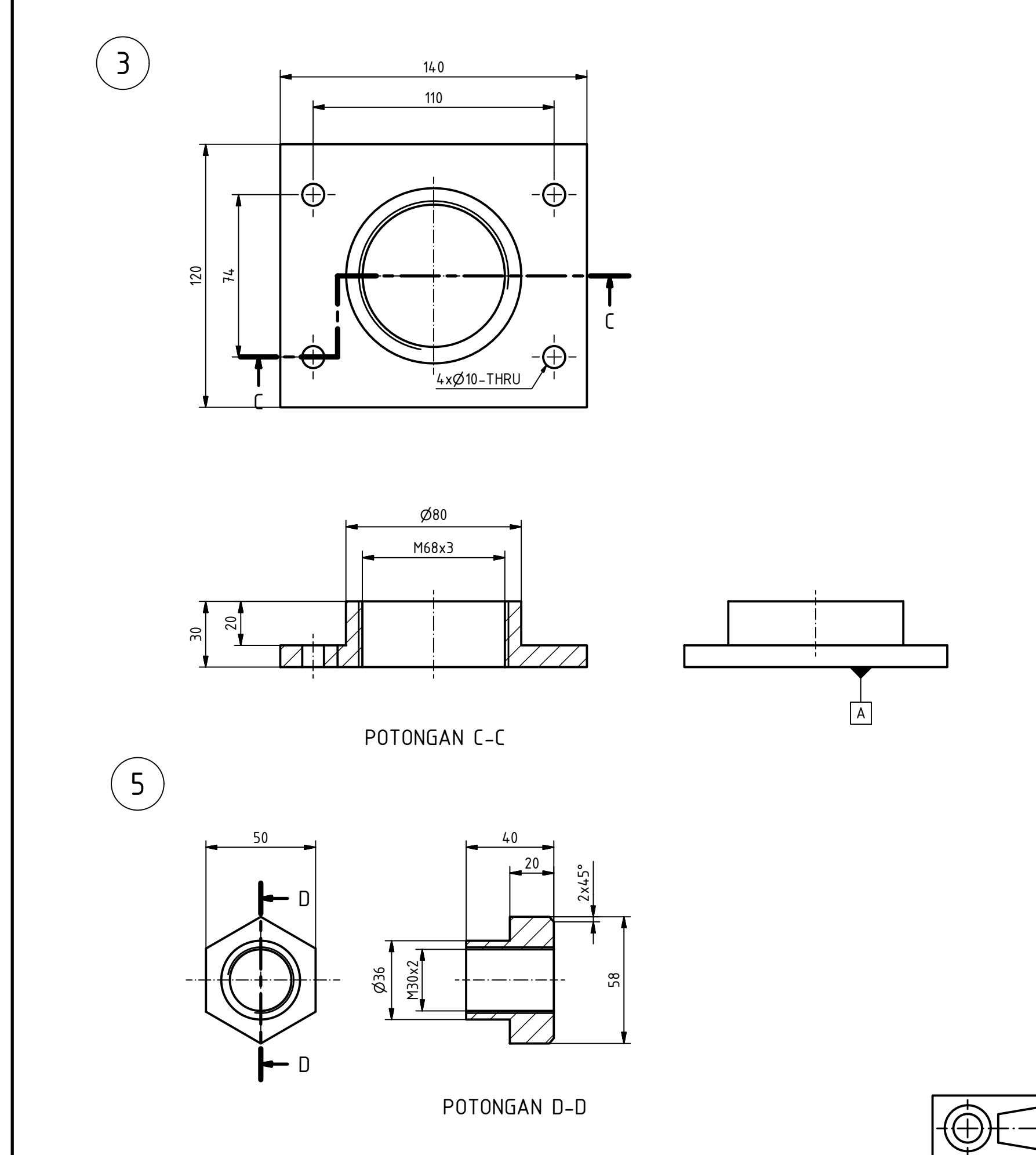
mahasiswa program sarjana Departemen Teknik Mesin, Fakultas Institut Teknologi Sepuluh Nopember Teknologi Industri, dan terdaftar Surabava angkatan 2013. dengan NRP. 02111340000180. Selama menjalani masa perkulihaan, penulis juga aktif terlibat dalam kegiatan kemahasiswaan seperti asisten pada Laboratorium Rekayasa Manufaktur. Penulis juga pernah melakukan kerja praktik di PT. Pupuk Kujang dan PT. BUMDES Pamarican. Penulis pada akhir masa perkulihaan memilih mengerjakan tugas akhir pada Laboratorium Rekayasa Manufaktur.



1	1	PUN	CH .		Generic		STEP AP214			
2	1	DIE 1	Necking		Generic		STEP AP214			
3	1	DIE I	Holder		Generic		STEP AP214			
4	1	Dies	Pilot		Generic		STEP AP214			
5	1	Dies Stop			Generic		STEP AP214			
ITEM	QTY	PART NUMBER			MATERIAL	UKURAN	KETERANGAN			
SKALA : 1:2			: 2	DIGAMBAR: HANGG	ARA N. W.	PERINGATAN:				
+(+)	((+))+····· UKURAN : milimeter		nilimeter	NRP : 0211134	0000180					
TANGGAL:				DILIHAT : I MADE	LONDEN BATAN					
TEKNIK MESIN FTI-ITS				DIES		No.01	А3			
					•	•				



\triangle	SKALA : 1 : 2	DIGAMBAR: HANGGARA N. W.	PERINGATAN:		
-{(+)}+ +	UKURAN : milimeter	NRP : 02111340000180			
)	TANGGAL:	DILIHAT : I MADE LONDEN BATAN			
TEKNIK MESIN	I FTI-ITS	DIES	No. 02	A 3	



	07	
1	1	Ø20±0,100,1 A
165	130	
<u>v</u>	20	M30x2

\triangle	SKALA : 1 : 2	DIGAMBAR: HANGGARA N. W.	PERINGATAN:	
-{(+)}+ ·+	UKURAN : milimeter	NRP : 02111340000180		
)	TANGGAL:	DILIHAT : I MADE LONDEN BATAN		
TEKNIK MESIN	I FTI-ITS	DIES	No. 03	А3